

JEOFİZİK

CILT 11, SAYI 1-2 / MART-EYLÜL 1997 VOL. 11, NO. 1-2 / MARCH-SEPTEMBER 1997

Yarım Wenner Görünür Özdirenç Verilerine
Ters Evrişim Uygulaması

Mustafa AKGÜN, Zafer AKÇİĞ ve Rahmi PINAR

Gravite Yönteminde Yarı Sonsuz Yatay Tabaka Modelinin
Hızlı Yorumu

Mahir İŞIK ve Hakkı ŞENEL

Yeraltı Taban Topografyasının İki Boyutlu
Gravite-manyetik Ters Çözüm Yöntemiyle Saptanması ve
Ankara-Polatlı Bölgesine Uygulanması

*Coşkun SARI, Müjgan ŞALK, Günday ÇIFÇİ
ve Tamer VURAL*

Türkiye Magsat Verileri ve Yorumu

Müjgan ŞALK ve Mustafa ERGÜN

Düzensiz Yüzeylerde Ölçülmüş Potansiyel Saha
Verilerinin Yatay Dilzleme İndirgenmesi

Ibrahim KARA

Doğu Anadolu'da Kütasal Deformasyon Miktarları

Günruh BAĞCI

Bursa İvme-Ölcer Ağında (Busnet) Kaydedilen
Depremlerin Kaynak Parametrelerinin Kestirilmesi

Orhan D. POLAT

Application of Deconvolution to Half Wenner
Apparent Resistivity Data

Mustafa AKGÜN, Zafer AKÇİĞ and Rahmi PINAR

Fast Interpretation of the Semi-Infinite Horizontal Slab
Model in Gravity Method

Mahir İŞIK and Hakkı ŞENEL

Determination of the Subsurface Basement Topography
With Two Dimensional Gravity-Magnetic Inandrsion
Method and Application to the Ankara-Polatlı Region

*Coşkun SARI, Müjgan ŞALK, Günday ÇIFÇİ
and Tamer VURAL*

Magsat Data of Turkey and its Interpretation

Müjgan ŞALK and Mustafa ERGÜN

Reduction of Potential Field Data Measured on Irregular
Surfaces to a Horizontal Plane

Ibrahim KARA

Rates of Crustal Deformation in Eastern Anatolia

Günruh BAĞCI

Estimation of the Source Parameters from the Earthquake
Records of Bursa Acceleration Network (Busnet)

Orhan D. POLAT



TMMOB JEOFİZİK MÜHENDİSLERİ ODASI
THE CHAMBER OF GEOPHYSICAL ENGINEERS OF TÜRKİYE

VE432 a new generation of digital vibrator control.



In the field, where every second counts...Response to everything. Commitment to our customers continues to be the driving force behind the Sercel standard of excellence in technology.

Sercel developed the most innovative solution in digital vibrator control. The VE432 Vibrator Electronic system's new design improves data quality management to make the digital vibrator control solution...even better.

Gaining ground in seismic acquisition.

Vibroseis Solutions

The Sercel logo consists of a stylized blue 'S' shape followed by the word "sercel" in a lowercase, sans-serif font.

Nantes: (33) 2 40 30 11 81 Houston: (1) 281 492 6688



JEOFİZİK

TMMOB JEOFİZİK MÜHENDİSLERİ ODASI SÜRELİ YAYINI
JOURNAL OF THE CHAMBER OF GEOPHYSICAL ENGINEERS OF TÜRKİYE

**TMMOB
JEOFİZİK MÜHENDİSLERİ
ODASI**

Adına Sahibi ve Sorumlu
Yazı İşleri Müdürü
Osman DEMİRAĞ

•
YÖNETİM KURULU
Executive Committee
Osman DEMİRAĞ
İbrahim AYDIN
Mehmet ALTINTAŞ
Ahmet GÜLEK
Musa KAYNAK
T. Fikret AKSU
Kadircan AKTAŞ

•
EDİTÖRLER
Editors
İbrahim AYDIN
Günruh BAĞCI
M. Emin CANDANSAYAR

•
**TMMOB
JEOFİZİK MÜHENDİSLERİ
ODASI**
Mithatpaşa Cad. 45/15 P.K. 255
Kızılay - ANKARA - TÜRKİYE
Tel: (312) 435 13 79
Fax: (312) 432 10 85
e-mail: jeofizik@servis2net.tr

•
**DİZGİ VE BASKI
KOZAN OFSET**
Matbaacılık San. ve Tic. Ltd. Şti.
Tel: (312) 341 14 27
Fax (312) 341 28 60

•
**YILDA İKİ KEZ MART VE EYLÜL
AYLARINDA YAYINLANIR**
Published Twice a Year
in March and September

ISSN 0259-1472

**CILT 11, SAYI 1-2 / MART - EYLÜL 1997
VOL. 11, NO. 1-2 / MARCH - SEPTEMBER 1997**

İÇİNDEKİLER / CONTENTS

YARIM WENNER GÖRÜNÜR ÖZDİRENÇ VERİLERİNE TERS EVİRİŞİM UYGULAMASI	3
Application of Deconvolution to Half Wenner Apparent Resistivity Data Mustafa AKGÜN, Zafer AKÇİĞ ve Rahmi PINAR	
GRAVİTE YÖNTEMİNDE YARI SONSUZ YATAY TABAKA MODELİNİN HIZLI YORUMU	13
Fast Interpretation of the Semi-Infinite Horizontal Slab Model in Gravity Method Mahir İŞIK ve Hakkı ŞENEL	
YERALTI TABAN TOPOGRAFYASININ İKİ BOYUTLU GRAVİTE-MANYETİK TERS ÇÖZÜM YÖNTEMİYLE SAPTANMASI VE ANKARA-POLATLI BÖLGESİNE UYGULANMASI	21
Determination of the Subsurface Basement Topography With Two Dimensional Gravity-Magnetic Inversion Method and Application to the Ankara-Polatlı Region Coşkun SARI, Müjgan ŞALK, Günay ÇIFÇİ ve Tamer VURAL	
TÜRKİYE MAGSAT VERİLERİ VE YORUMU	35
Magsat Data of Turkey and its Interpretation Mujgan ŞALK ve Mustafa ERGÜN	
REDUCTION OF POTENTIAL FIELD DATA MEASURED ON IRREGULAR SURFACES TO A HORIZONTAL PLANE.....	45
Düzensiz Yüzeylerde Ölçülmüş Potansiyel Saha Verilerinin Yatay Düzleme İndirgenmesi İbrahim KARA	
RATES OF CRUSTAL DEFORMATION IN EASTERN ANATOLIA	53
Doğu Anadolu'da Kıtasa Deformasyon Miktarları Günruh BAĞCI	
BURSA İVME-ÖLÇER AĞINDA (BUSNET) KAYDEDİLEN DEPREMLERİN KAYNAK PARAMETRELERİNİN KESTİRİLMESİ	65
Estimation of the Source Parameters from the Earthquake Records of Bursa Acceleration Network (Busnet) Orhan D. POLAT	
YAZI VERENLER	80
TEZ ÖZETLERİ	81
ODA ÜYELERİ	83

YARIM WENNER GÖRÜNÜR ÖZDİRENÇ VERİLERİNE TERS EVRİŞİM UYGULAMASI

Application of Deconvolution to Half Wenner Apparent Resistivity Data

Mustafa AKGÜN*, Zafer AKÇIĞ* ve Rahmi PINAR*

ÖZET

Çalışmanın amacı, ters evrişim (dekonvolüsyon) işleminin jeofiziğin diğer bir dalı olan elektrik prospektiyonda, yanal kaydırma ölçümlerine uygulanabilirliğini araştırmaktır.

Bu amaç çerçevesinde ilk aşamada yarım Wenner kaydırma sisteminde oluşturulan teorik dayk anomalisine değişik genlikli gürültü eklendi, daha sonra ise bu gürültülü dayk anomalisine dalga biçimleri ters evrişim uygulanmıştır. İkinci aşamada ise aynı modeller üzerinde ön kestirimli ters evrişim uygulaması gerçekleştirilmiştir.

Uygulamalar sonucunda, gürültünün genliği azaldıkça ve süzgeç boyu arttıkça, aranan sinyalin belirlenmesinde dalga biçimleri ters evrişimin başarılı sonuçlar verdiği görülmüştür. Ön kestirimli ters evrişim uygulamalarında ise sinyalin özilişki grafiğinden periyodik bileşenler seçilmediğinden sonuç alınamamıştır.

GİRİŞ

Bilindiği gibi ters evrişim, sismikte önemli bir sinyal belirginleştirme işlemidir. Ters evrişim işlemi ile ilgili yöntemlerin geliştirilmesinde ve sismik prospektiyonda uygulanmasında Levinson (1949), Robinson ve Treitel (1967), Peacock ve Treitel (1969), Treitel ve Lines (1982) gibi araştırmacıların yaptığı çalışmalar büyük önem taşır. Ters evrişim yöntemi günümüzde, sadece sismik veri işlem yön-

ABSTRACT

The possible applications of the deconvolution process to direct current profiling measurements have been investigated.

Some modulated noise has been added to the theoretical dike data for the Half Wenner profiling measurements to examine the output of the wave-shaping deconvolution filter. Predictive deconvolution has been tested by using the same data set.

Evidence suggest that analyzing the wave-shaping deconvolution is suitable in the case of decreasing of the amplitudes of noise and increase in the length of filter. However, predictive deconvolution are not successful because of the fact of the difficulty in distinguishing the periodic components from the auto-correlation function of the signal.

temi olmaktan çıkararak jeofiziğin diğer dallarına da uygulanmaya başlanmıştır (Çelik 1982, Say 1990, Tsokas ve Papazachos 1991).

Bu çalışmada ters evrişim, elektrik yönteminde yarım-Wenner dizilişi ile elde edilmiş özdirenç kaydırma ölçümlerine uygulanmıştır. Bu amaçla Yarım - Wenner dizilişi için hesaplanan teorik dayk anomalisine, değişik genlikte sinüs gürültüsü eklenererek oluşturulan veriye önce

* DEÜ Müh. Fak. jeofizik Müh. Böl. Bornova-İZMİR

dalga biçimini ters evrişim ve daha sonra öne kestirimli ters evrişim işlemi uygulanarak ulaşılan sonuçlar tartışılmıştır. Ayrıca, yanyana iki dayak modeli için elde edilen toplam anomalilere de benzer işlemler uygulanmış ve elde edilen sonuçlar irdelenmiştir.

TERS EVRİŞİM (DEKONVOLÜSYON)

Ters evrişim, sinyale önceden uygulanmış olan evrişim etkilerini ortadan kaldırmak için uygulanan bir veri işlem yöntemidir. Jeofizikte kayıt edilen tüm sinyaller orjinal sinyal olmayıp evrişim sonucu değişimde uğramış sinyallerdir. Örneğin sismik prospeksiyonda patlatma sonucu oluşan dalgacık yerin ve kayıt aletlerinin etkisi nedeniyle aynı biçimde kaydedilmez (Şekil 1) ve bu olay aşağıdaki gibi bağlantı ile tanımlanır.

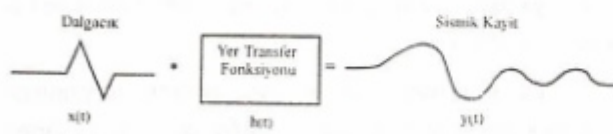
$$y_t = x_t * h_t \quad (1)$$

Bu bağlantıda x_t giriş sinyali, y_t çıkış sinyali, h_t yer etkisi olarak tanımlanır. (1) bağıntısından görüldüğü gibi giriş ve çıkış sinyali arasında yer etkisi nedeni ile bir değişim olmaktadır. Bu değişim evrişim işleminden kaynaklanmaktadır. Ters evrişim işlemi de bu evrişim etkisini gidermek için kullanılır. Kısaca ters evrişim işlemi çıkış sinyalinden yola çıkararak giriş dalgacığını bulma işlemi olarak tanımlanabilir.

Dalga Biçimi Ters Evrişim

Bu tür ters süzgeç düzenlenenirken ulaşılması gereken nokta istenen çıkış (g_t) ile gerçek çıkış (y_t) arasındaki farkın en küçük olmasıdır. Diğer bir deyişle süzgeç katsayıları (h_t) öyle seçilmelidir ki hata enerjisi (ϵ) en küçük olsun (Şekil 2). Bu işlem de

$$\epsilon^2 = \sum_{t=0}^{m+n} [g_t - y_t]^2 \Rightarrow \text{en küçük} \quad (2)$$



Şekil 1. Sinyal giriş-çıkışı.

Fig. 1. Signal input-output.

yaklaşımı ile sağlanır. Bu bağıntıda,

$$y_t = x_t * h_t = \sum_{s=0}^m h_s x_{t-s} \quad (3)$$

eşitliği yerine konursa

$$\epsilon^2 = \sum_{t=0}^{m+n} (g_t - \sum_{s=0}^m h_s x_{t-s})^2 \quad (4)$$

elde edilir. (4) bağıntısının süzgeç katsayılarına ($h_0, h_1, h_2, h_3, \dots, h_m$) göre kısmi türevleri alınıp sıfır eştirilirse ϵ en küçük olur ve bu durum

$$\frac{\partial \epsilon}{\partial h_j} = \sum_{t=0}^{m+n} 2(g_t - \sum_{s=0}^m h_s x_{t-s})^2 (-x_{t-s}) = 0$$

ile ifade edilir. Buradan

$$-\sum_{t=0}^{m+n} g_t x_{t-j} + \sum_{t=0}^{m+n} \left(\sum_{s=0}^m h_s x_{t-s} \right) x_{t-j} = 0$$

veya

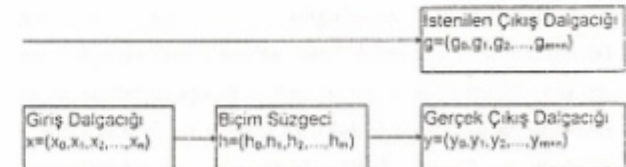
$$\sum_{s=0}^m h_s \sum_{t=0}^{m+n} x_{t-s} x_{t-j} = \sum_{t=0}^{m+n} g_t x_{t-j} \quad j = 0, 1, 2, 3, \dots, m \quad (5)$$

elde edilir. (5) bağıntısındaki,

$$\sum_{t=0}^{m+n} x_{t-s} x_{t-j} = a_{j-s} \quad (6)$$

dır ki bu da giriş verisi x_t nin ($j-s$) kayması için öziliği fonksiyonudur. İstenen çıkış ile girişin çapraz ilişkisi ise

$$\sum_{t=0}^{m+n} g_t x_{t-j} = c_j \quad j = 0, 1, 2, 3, \dots, m \quad (7)$$



Şekil 2. Dalga biçimini ters evrişim.

Fig. 2. Wave shaping deconvolution.

ile tanımlanır. (6) ve (7), (5) te yerine konursa,

$$\sum_{s=0}^m h_s a_{j-s} = c_j \quad (8)$$

elde edilir. Bu bağıntı ayrık veriler için Wiener-Hopf bağıntısı olarak isimlendirilir (Levinson 1949, Robinson 1967 a). Burada $A_{j,s}$ ve c_j bilindiğinden aranan sadece h_s süzgeç katsayılarıdır. (8) açık olarak

$$\begin{aligned} h_0 a_0 + h_1 a_{-1} + h_2 a_{-2} + \dots + h_m a_{-m} &= c_0 \\ h_0 a_1 + h_1 a_0 + h_2 a_{-1} + \dots + h_m a_{1-m} &= c_1 \\ \dots & \end{aligned} \quad (9)$$

$$h_0 a_m + h_1 a_{m-1} + h_2 a_{m-2} + \dots + h_m a_0 = c_m$$

şeklinde yazılabilir. (9) normal (dik) denklemler olarak adlandırılır. Özilişki fonksiyonunun çift olma özelliği,

$$a_i = a_{-i} \quad (10)$$

gözönünde bulundurularak (9) dizey normunda yazılsa,

$$\left| \begin{array}{cccccc} a_0 & a_1 & a_2 & \dots & a_m \\ a_1 & a_0 & a_1 & \dots & a_{m-1} \\ a_2 & a_1 & a_0 & \dots & a_{m-2} \\ \dots & \dots & \dots & \dots & \dots \\ a_m & a_{m-1} & a_{m-2} & \dots & a_0 \end{array} \right| \left| \begin{array}{c} h_0 \\ h_1 \\ h_2 \\ \dots \\ h_m \end{array} \right| = \left| \begin{array}{c} c_0 \\ c_1 \\ c_2 \\ \dots \\ c_m \end{array} \right| \quad (11)$$

elde edilir. Normal denklem sistemlerinin çözümü ise bizi aranan süzgeç katsayılarına ultiştir. (11) eşitliğinin sol tarafındaki bakışık kare dizey Toeplitz dizeyi olarak adlandırılır. Bu dizeyin çözümüne ilişkin ayrıntılar Levinson (1949), Wiggins ve Robinson (1965) de bilgisayar çözümüne yönelik programlar ise Robinson (1967 b) de verilmiştir.

Elde edilen süzgeç katsayıları ile veri evriştirildiğinde ise istenen çıktıyla uyum sağlayan gerçek sinyal (y_t) elde edilir. Bu işlem dalga biçimini ters evrişim olarak isimlendirilir (Şekil 2).

Kuramdan da bilindiği üzere ters evrişim uygulamasında, giriş verisine $[x(t)]$ bağlı olarak çıkış geciktirilerek daha başarılı sonuçlar elde edilebilir. Bunun fiziksel anlamı

ise süzgeçin giriş verisini daha iyi görmesini sağlamaktır. Girişin karışık veya en büyük gecikmeli olması durumunda ise çıkış ta buna uygun olarak geciktirilir (Şekil 3). Uygulamada en uygun gecikme değeri ve buna bağlı olarak en uygun süzgeç saplayabilmek için "sıfırdan süzgeç boyu $m+1$ gecikmelerinde hatalar (I_{min}) bulunur. En küçük hatayı veren gecikme ise en iyi gecikme değeri olarak seçilir (Özdemir 1980).

Bu açıklamalar ise bizi optimum süzgeçin seçiminde temel dayanak olan süzgeç verimi (performans) kavramına ultiştir. Uygulamada P ile gösterilen verim

$$0 \leq P \leq I \quad (12)$$

şartını sağlar. $P=0$ durumunda istenen çıkış g_t ile gerçek çıkış y_t arasında bir uyum yoktur. Eğer $P=1$ ise istenen çıkış ile gerçek çıkış arasında tam bir uyum vardır. Süzgeç performansına ilişkin ayrıntılı bilgi için Robinson ve Treitel (1967) den yararlanabilir.

Uygulamada süzgeç boyu seçiminde; gecikmeye bağlı olarak süzgeç verimi veya deneme-sınama yönetimi kullanılabilir. Bu çalışmada ise deneme-sınama yönetimi kullanılmıştır.

Önkestirimli Ters Evrişim

Önkestirimli ters evrişim bir zaman veya uzay dizisinin geçmişteki değerlerinden yararlanarak aynı dizinin gelecekteki değerlerinin kestirilmesi işlemidir. Bu aynı zamanda bir ekstrapolasyon işlemidir. Önkestirmeli ters evrişim işlemi veride önemli bir olayın sürekli olarak yer almazı durumunda kullanılır.

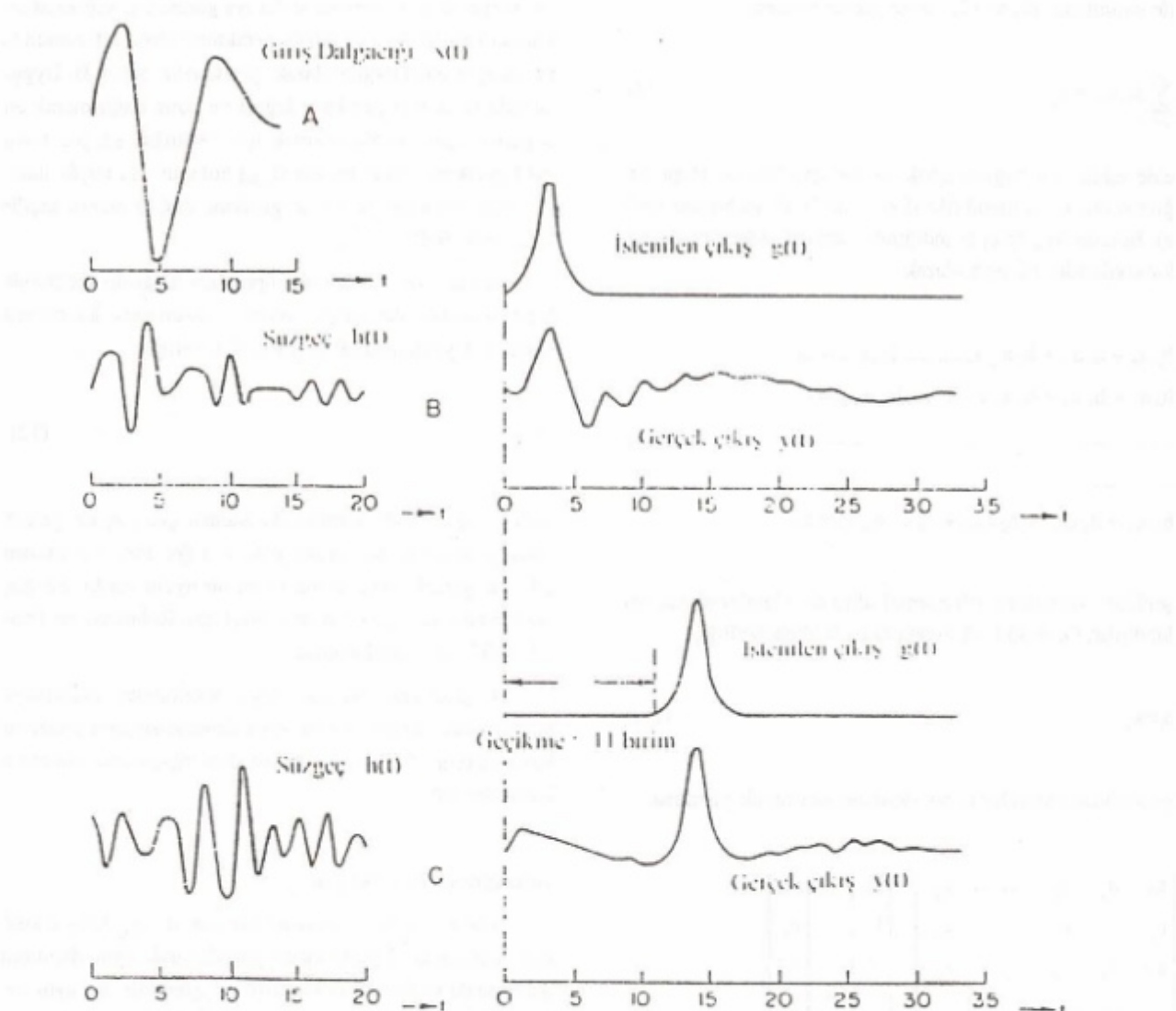
Bu ters evrişim işlemi, dalga biçimini ters evrişime benzer şekilde uygulanır. İki arasındaki tek fark ise süzgeç katsayılarının elde edilmesinde kullanılır. (8) ve (11) bağıntılarının, sağ tarafında çapraz ilişki yerine özilişki fonksiyonunun kullanılmasıdır (Şekil 2).

Özilişki fonksiyonunun kullanılabilmesi için ise aşağıdaki koşulların sağlanması gereklidir.

1- Sinyalin özilişki fonksiyonunun, dalgacının özilişki fonksiyonuna eşit olması.

2- $\tau=0$ (sıfır kaymada) civarında sinyalin özilişki fonksiyonu dalgacının özilişki fonksiyonunu temsil etmelidir.

\tilde{x}_{t+L} önceden kestirilmiş iz olmak üzere,



Şekil 3. (A) Giriş dalgacığı, (B) Sıfır gecikmeli istenen ve gerçek çıkış, (c) 11 birim gecikmeli istenen ve gerçek çıkış.

Fig. 3. (A) Impulse waveform, (B) Desired and actual output with zero delay, (c) Desired and actual output delayed by 11 time units.

$$\bar{x}_{i+L} = \sum_{k=0}^N h_k x_{i-k}$$

(13)

$$\sum_{t=t_1}^{t_2} (x_{i+L} - \bar{x}_{i+L})^2 = \varepsilon^2 = \text{en küçük}$$

(15)

yazılabilir. Burada öyle bir h_k süzgeci tanımlanmalı ki bu süzgeç ile x_i sinyailinin evrişimi bizi kestirilmiş sinyal \bar{x}_{i+L} ye ulaşır. Böylesine bir işlece ise,

$$\sum_{t=t_1}^{t_2} (x_{i+L} - \bar{x}_{i+L})^2 = \varepsilon^2 = \text{en küçük}$$

(14)

bağıntıları yardımıyla ulaşılır. (15) bağıntısının h_k ya göre türevi alınıp sıfır eşitlenirse en küçük olur ve

$$\frac{\partial \varepsilon}{\partial h_m} = \sum_{t=t_1}^{t_2} 2 (x_{i+L} - \bar{x}_{i+L}) (-x_{i-m}) = 0$$

bağıntısı elde edilir. (16) bağıntısından hareketle

$$-\sum_{t=t_1}^{t_2} x_{t+L} x_{t-m} + \sum_{t=t_1}^{t_2} \left(\sum_{k=0}^N h_k x_{t-k} \right) x_{t-m} = 0 \quad (17)$$

$$\sum_{k=0}^N h_k \sum_{t=t_1}^{t_2} x_{t-k} x_{t-m} = \sum_{t=t_1}^{t_2} x_{t+L} x_{t-m}$$

İfadeleri bulunur. (17) bağıntısı incelendiğinde

$$\sum_{t=t_1}^{t_2} x_{t-k} x_{t-m} = a_{k-m} \quad (18)$$

$$\sum_{t=t_1}^{t_2} x_{t+L} x_{t-m} = a_{L+m} \quad (19)$$

bağıntıları elde edilir. (18) ve (19) bağıntılarının herikiside özilişki fonksiyonu olup (17) bağıntısında kullanıldığında

$$a_{L+m} - \sum_{k=0}^N h_k a_{k-m} = 0 \quad m = 0, 1, 2, \dots, N \quad (20)$$

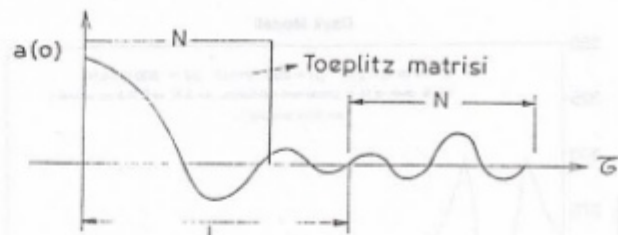
bulunur. (20) dizey normunda,

$$\begin{vmatrix} a_0 & a_1 & a_2 & \dots & a_N \\ a_1 & a_0 & a_1 & \dots & a_{N-1} \\ a_2 & a_1 & a_0 & \dots & a_{N-2} \\ \vdots & \vdots & \vdots & \ddots & \vdots \\ a_N & a_{N-1} & a_{N-2} & \dots & a_0 \end{vmatrix} \begin{vmatrix} h_0 \\ h_1 \\ h_2 \\ \vdots \\ h_N \end{vmatrix} = \begin{vmatrix} a_1 \\ a_{L+1} \\ c_{L+2} \\ \vdots \\ a_{L+N} \end{vmatrix} \quad (21)$$

bağıntısı ile verilir. (21) ile verilen dizey denklemlerinin çözümü ise bizi aranan düzgeç katsayılarına ulaştırır.

Uygulamada önkestirimli ters evrişim aşağıdaki izlenme uyaranicı yapılır.

1. Öngörülen sinyalin önce özilişki fonksiyonu bulunur.
2. Özilişki fonksiyonun boyu bir pencere fonksiyonu (N boyunda) ile sınırlanır (Şekil 4).
3. Bu fonksiyondan yararlanarak (21) in sol tarafında yer alan Toeplitz dizeyi oluştururlar.



Şekil 4. N ve L nin konumları.

Fig. 4. Positions N and L.

4. Özilişki fonksiyonunda L mesafesi saptanarak $L+N$ boyundaki özilişki değerleri elde edilir (Şekil 4).

5. Elde edilen bu değerlerle (21) eşitliğinin sağ tarafındaki yöney oluşturulur.

6. Levinson algoritması ile (21) çözümlenerek aranan h_k lar bulunur.

Bu çözümleme sonucu sinyal içinde aranan tekrarlı olaylar bulunmuş olur. Tekrarlı olaylar giriş sinyalinden çıkarıldığından istenen sinyal elde edilir. Bu yolla elde edilen iz, önkestirme hata izi (prediction error) olarak isimlendirilir. Bu iz aslında ters evrişim uygulanmış izdir. Eğer (21) den saptanın h_k lar ters evrişim düzgeç işlemci olarak kullanılmak istenirse; saptanmış katsayılar eksi ile çarpılıp giriş sinyali ile evriştirilmelidir.

UYGULAMALAR

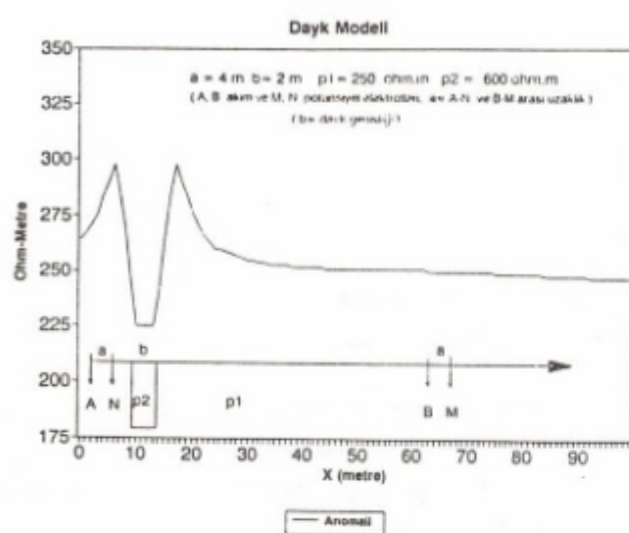
Dalga Biçimi Ters Evrişimi Uygulamaları

Çalışmamızda konu edilen dalga biçimi ters evrişim uygulamaları aşağıdaki izlence ile gerçekleştirilmiştir.

A- Yarım Wenner kaydırma isteminde kuramsal dayk anomalisi Telford ve diğ. (1980) yararlanılarak oluşturulmuştur (Şekil 5).

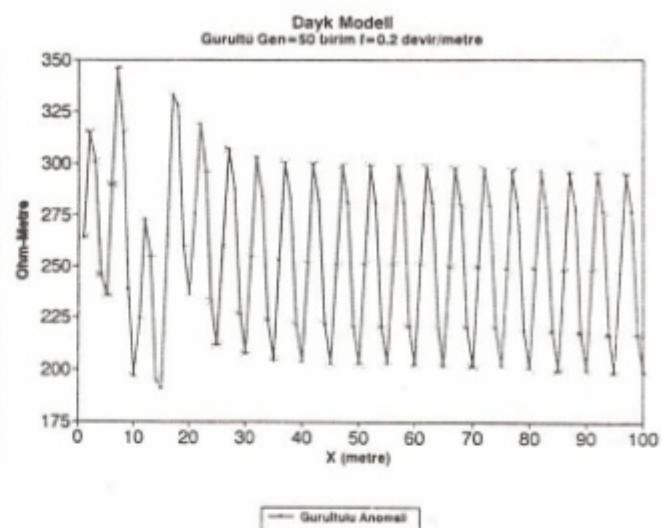
B- Oluşturulan bu anomaliye, A. $\sin(2\pi f_0 t)$ bağıntısı ile tanımlanan sintis gürültüsü eklenmiştir ($A=50$ ve $f_0=0.2$). Şekil 6'da verilen gürültülü anomaliye de farklı düzgeç boyları kullanılarak dalga biçimini ters evrişim işlemi uygulanmıştır.

Şekiller incelendiğinde; düzgeç boyu 3 ten 9 a ulaştığında aranan dayk anomalisinin belirginleşmeye başladığı (Şekil 7) ve düzgeç boyu arttıkça da (örneğin 15 ve 25 boy) istenen çıktı ile gerçek çıktı arasındaki hata enerjisini en küçükçe yaklaştığı gözlenmiştir (Şekil 8). Bu durumda düzgeç boyunun belirlenmesinde; veri adedine bağlı olarak bilgisayar işlem ve kapasitesi ile evrişimden kaynaklanacak sorunlar göz önünde bulundurulmalıdır.



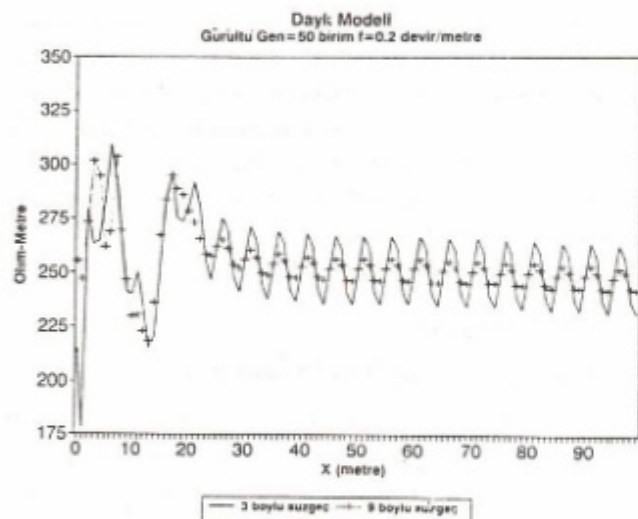
Şekil 5. Yarım-Wenner açılımı dayk anomalisi

Fig. 5. Dike anomaly for Half-Wenner configuration.



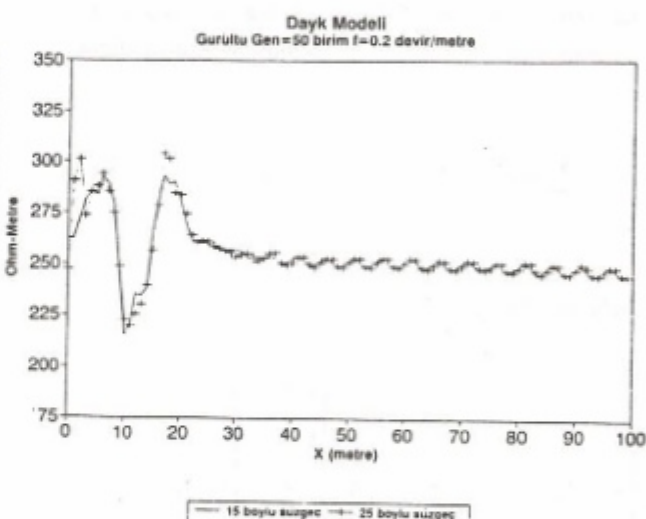
Şekil 6. Gürültülü dayk serisi.

Fig. 6. Noise added data.



Şekil 7. Dalga biçimini ters evrişim uygulanmış dayk verisi (süzgeç boyu=3 ve 9).

Fig. 7. Wave shaping deconvolution applied to the dike data (filter length=3 and 9).



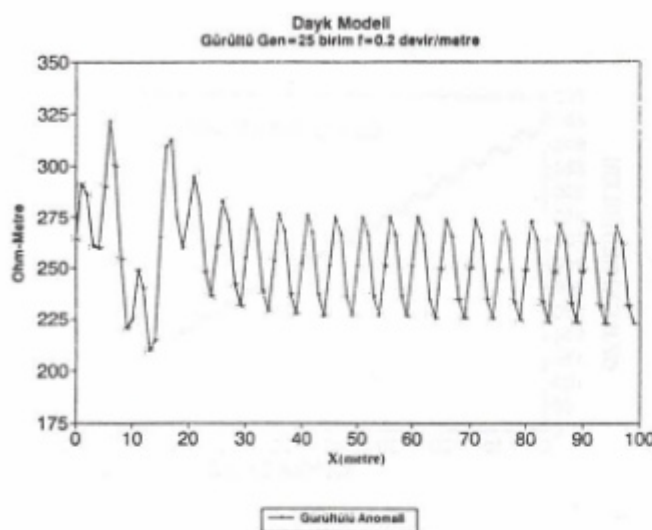
Şekil 8. Dalga biçimini ters evrişim uygulanmış dayk verisi (süzgeç boyu=15 ve 25).

Fig. 8. Wave shaping deconvolution applied to the dike data (filter length=15 and 25).

C- Bu aşamada gürültü genliğindeki değişimin, dalga biçimini ters evrişimdeki etkisini görebilmek için gürültünün genliği 25 birim alınmıştır. Bu şekilde oluşturulan gürültülü dayk anomalisi Şekil 9 da görülmektedir. Bu adımda B deki süzgeç boyu ile ilgili yaklaşımlar kullanılarak dalga biçimini ters evrişim uygulandığında dayk anomalisinin 3

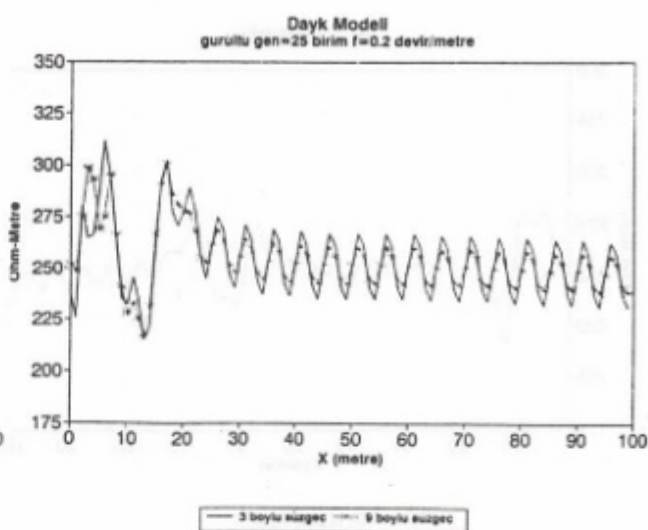
boyutlu süzgeçten itibaren belirginleşmeye başladığı gözlenmiştir (Şekil 10). Böylece gürültü genliği azaldıkça ayrımlılığın daha kısa süzgeç boyalarından itibaren başladığı saptanmıştır.

D- ikinci adımda Şekil 5 de verilen daykın yeri kaydırılarak elde edilen kuramsal veri üzerine yine 50 birim



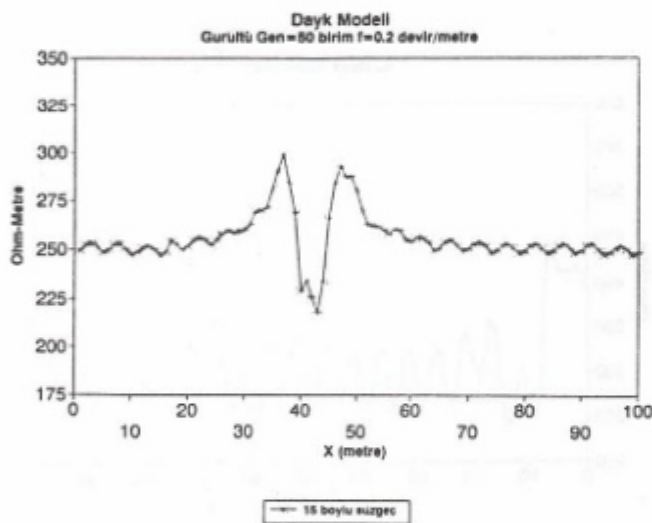
Şekil 9. Gürültülü yarım Wenner dayk verisi.

Fig. 9. Noise added Half-Wenner profiling data.



Şekil 10. Dalga biçimini ters evrileşim uygulanan dayk verisi (süzgeç boyu=3 ve 9).

Fig. 10. Wave shaping deconvolution applied to the dike data (filter length=3 and 9).

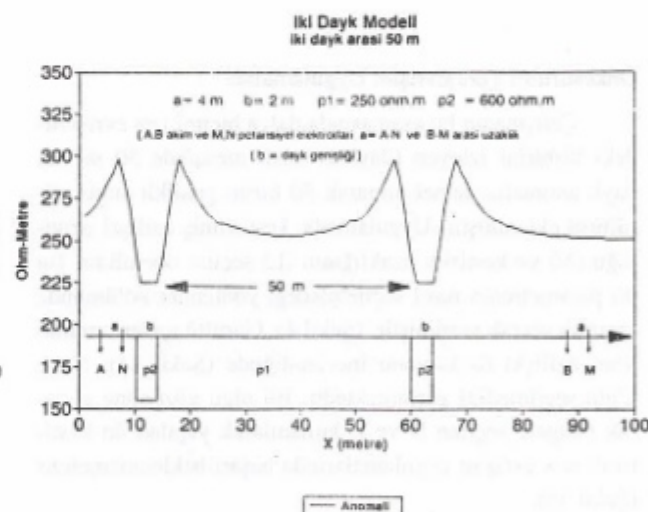


Şekil 11. Dalga biçimini ters evrileşim uygulanan dayk verisi (süzgeç boyu=15).

Fig. 11. Wave shaping deconvolution applied to the dike data (filter length=15).

genlikli sinüs gürültüsü eklenerek elde edilen gürültülü veri üzerine ters evrileşim uygulandığında, dayk anomalisinin ayrımlılığı sağlanmıştır (Şekil 11).

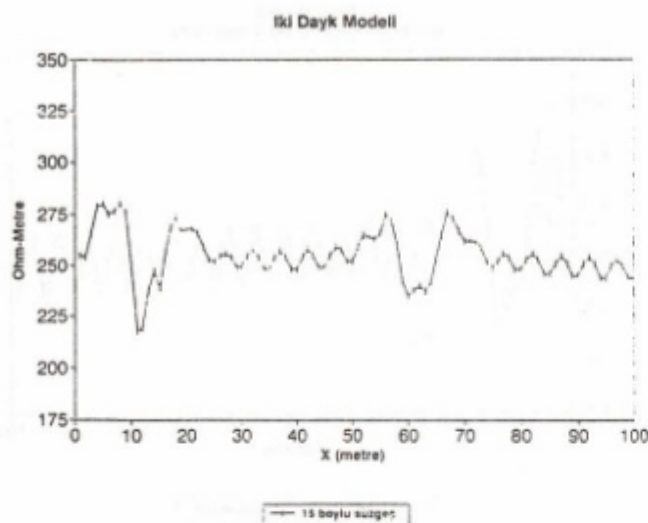
E- Dalga biçimini ters evrileşimin son uygulamasında birbirini takip eden iki dayın oluşturduğu anomali (dayklar arası mesafe 50 m alınarak) hesaplanmıştır. Bu anomaliye 50 birim genlikli sinüs gürültüsü eklenerek dalga biçimini



Şekil 12. Gürültülü iki dayk verisi.

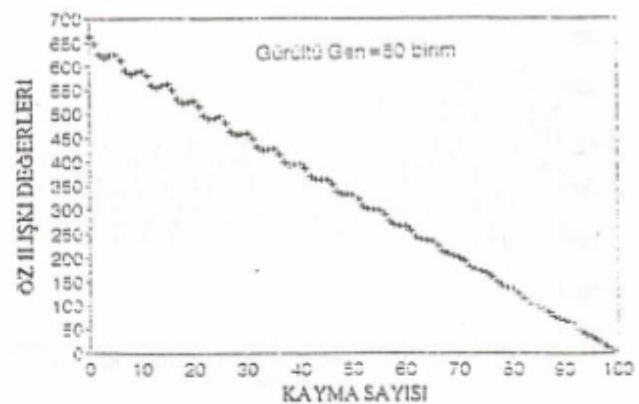
Fig. 12. Noise added two dikes data.

ters evrileşim uygulandığında (Şekil 12 ve 13), yine dayk anomalilerinin ayrımlılığı sağlanmıştır. Ancak çoklu yapılarla yapılan uygulamalarda dikkat edilmesi gereken nokta yapılar arası uzaklıktır. Yapıların birbirine çok yakın olması durumunda ölçü sisteme ve kaydırma aralığına bağlı olarak anomaliler birbirine karışacaktır. Bu koşullarda dalga biçimini ters evrileşim sonuç vermemektedir.



Şekil 13. Dalga biçimini ters evrişim uygulanmış iki dayk verisi (süzgeç boyu=15).

Fig. 13. Wave shaping deconvolution applied to two dike data (filter length=15).



Şekil 14. Gürültülü iki daykın özilişkisi.

Fig. 14. Autocorrelation of two dikes which contaminated by noise.

Önkestirimli Ters Evrişim Uygulamaları

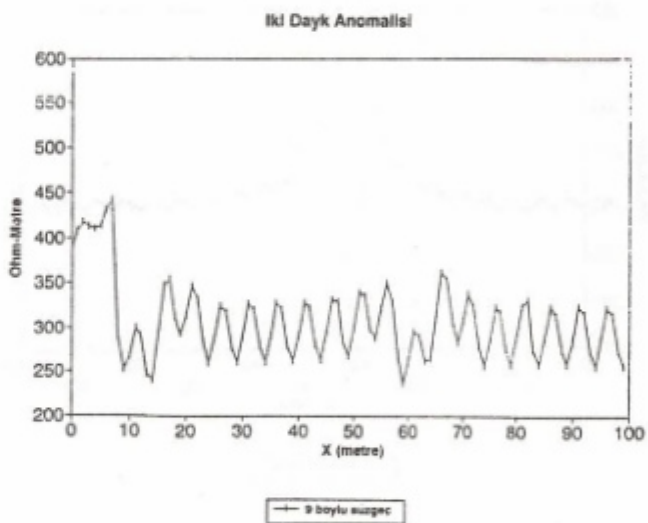
Çalışmanın bu aşamasında dalga biçimini ters evrişimi-deki birbirini izleyen (dayklar arası mesafede 50 m) iki dayk anomalisi temel alınarak 50 birim genlikli sinüs gürültüsü eklenmiştir. Uygulamada, kestirilmiş özilişki uzunluğu (N) ve kestirim uzaklığının (L) seçimi önemlidir. Bu iki parametrenin nasıl seçilebileceği yöntemler bölümünde ayrıntılı olarak verilmiştir. (Şekil 4). Gürültü içeren anomalinin özilişki fonksiyonu incelendiğinde (Şekil 14); N ve L 'nin seçilmediği görülmektedir. Bu olgu gözönüne alınarak rastgele seçilen N ve L kullanılarak yapılan ön kestirimli ters evrişim uygulamalarında başarı beklenmemelidir (Şekil 15).

SONUÇLAR

Bu çalışmada ters evrişim (dekonvolusyon) işleminin elektrik prospeksiyon yönteminde kaydırma ölçümlerine uygulanabilirliği denenerek aşağıdaki sonuçlara ulaşılmıştır.

1- Süzgeç boyu artıkça beklenen çıktı ile istenen çıktı arasındaki hata enerjisi en küçükçe yaklaşmaktadır.

2- Anolanının içerdığı gürültü seviyesi azaldıkça, ayrımlığın başarısı daha kısa boylu süzgeçlerde görülmektedir. Bu ayrımlık süzgeç boyu ilce doğru orantılı olarak artmaktadır. Gürültü seviyesi artıkça söz konusu ayrımlığa daha uzun süzgeç boylarında ulaşmaktadır.



Şekil 15. Özkestirmeli ters evrişim uygulanmış iki dayk verisi (süzgeç boyu=9)

Fig. 15. Predictive deconvolution applied to two dike data (filter length=9).

3- Ideal koşullarda en küçük hata enerjisi ve en iyi ayrımlılık veri boyuna eşit süzgeç kullanılarak sağlanır. Ancak süzgeç boyunun seçiminde; veri adedine bağlı olarak bilgisayar işlem zamanı ve kapasitesi ile evrişimden kaynaklanacak sorunlar göz önünde bulundurulmalıdır.,

4- Önkestirimli ters evrişimde ise gürültülü sinyalin (gürültülü dayk anomalisi) özilişki fonksiyonundan periodik bileşenlerin ayırt edilmemesi, bu yöntemi bu tür verilerde başarısız kılmaktadır.

KAYNAKLAR

- Çelik, İ., 1982, Wiener enküçük Kareler Süzgeci ile Gravite ve Manyetik Verilerin Sıkıştırılması, Bitirme Tezi, İ.T.Ü. Maden Fakültesi, Jeofizik Müh. Bölümü, İstanbul. I
- Dimri, V., 1992, Deconvolution and Inverse Theory, Application to Geophysical Problems, Elsevier Co.
- Levinson, M., 1949, The Wiener RMS (Root Mean Square) error criterion in filter desing and prediction, Geophysical Prospecting, 15, 261-278
- Özdemir, H., 1980, Veri işlem II Ders Notları, İTÜ. Yayınları İstanbul.
- Peacock, K.L. and Tricet, S., 1969, Predictivite deconvolution theory and practice, Geophysics, 34, 155-169
- Robinson, E.A. and Treitel, S., 1967, Principles of digital Wiener filtering, Geophysical Prospecting 15, 311-333.
- Robinson, E.A., 1967 a, Statistical Communication and Detection with Special Reference to Digital Data Processing of Radar and Seismic Signals. Charles Griffin, London.
- Robinson, E.A., 1967 b, Multichannel Time Series Analysis with Digital Computer Programs, Holden-Day.
- Say, N., 1990, Yapay Gravite Verilerine Wiener En Küçük Kareler Biçim Süzgecinin Uygulanması, Lisans Tezi, D.E.Ü. Müh. Fak., Jeofizik Müh. Bölümü, İzmir.
- Telford, W.M., Geldart, L.P., Sheriff, R.E., Keys, D.A., 1987, Applied Geophysics, Cambridge University Press.
- Tricet, S., and Lines, L.R., 1982, Linear inverse theory and deconvolution, Geophysics, 47, 1153-1165.*
- Tsokas, N. and Papazachos, B.C., 1991, Two-Dimensional inversion filters in magnetic prospecting, Geophysics, 56, 1004-1013
- Wiggins, R.A., and Robinson, E.A., 1965, Recurse Solutions to the Multichannel Filtering Problem, Jour. Of Geoph. Research, 70, 1885-1891.

GRAVİTE YÖNTEMİNDE YARI SONSUZ YATAY TABAKA MODELİNİN HIZLI YORUMU

Fast Interpretation of the Semi-Infinite Horizontal Slab Model in Gravity Method

Mahir IŞIK* ve Hakkı ŞENEL*

ÖZET

Kalın prizmatik bir kütlenin gravite bağıntısı yarıdimıyla, yarı sonsuz yatay tabaka modeli elde edilmiştir. Model Parametreleri, gravite anomalisi ve birinci yatay türev anomalisi kullanılarak saptanmıştır.

Yöntem, yapay modeller ve Tuz Gölü Bouguer gravite haritası üzerine uygulanmış, yoğunluk farkiderinlik ilişkisi incelenmiştir. Arazi modeli, Bezirci -1 sondaj kuyusunun litolojik kesiti ile kıyaslanmıştır.

ABSTRACT

Semi-infinite horizontal slab model has been formed using gravity equation of a thick prismatic mass. The model parameters have been obtained using gravity anomaly and first horizontal derivative anomaly.

The method has been applied to synthetic models and Tuz Lake Bouguer gravity map, density contrast-depth relation has been examined. Field model has been compared with the lithologic section of Bezirci-1 borehole.

GİRİŞ

İki boyutlu yapıların parametreleri, yapının gravite etkisini veren bağıntı ile aynı parametreleri içeren birden fazla denklem elde edilerek, bulunabilir. Sundararajan ve diğ. (1983) ile Pınar ve Akçig (1994) bu denklemlerin eldesinde Hilbert Dönüşüm yöntemlerini kullanarak, yatay yarı sonsuz tabakanın parametrelerini hesaplamışlardır. Şenel (1993), iki boyutlu prizmatik şerit kütlenin parametrelerini, Fourier Dönüşümü yardımıyla bulmuştur. Akgün (1994) de, yine Hilbert Dönüşüm yönetimi kullanarak, bazı iki boyutlu yapıların parametlererini saptamıştır.

Bu çalışmada, yarı sonsuz yatay tabaka modelinin parametreleri, çok basit bir yolla yapının gravite anomalisi ve birinci yatay türev anomalisi kullanılarak bulunmuştur.

YARI SONSUZ YATAY TABAKA PARAMETRELERİNİN ELDESİ

Kalın Prizmatik bir kütlenin gravite etkisi;

$$g = 2k_o \rho \left[x \ln \left(\frac{r_2 r_3}{r_1 r_4} \right) + b \ln \left(\frac{r_4}{r_3} \right) - D(\theta_4 - \theta_2) + d(\theta_3 - \theta_1) \right] \quad (1)$$

bağıntısı ile verilir (Telford ve diğ. 1976). Bağıntıda kullanılan ifadeler,

$$r_1 = \sqrt{d^2 + x^2} \quad r_2 = \sqrt{D^2 + x^2}$$

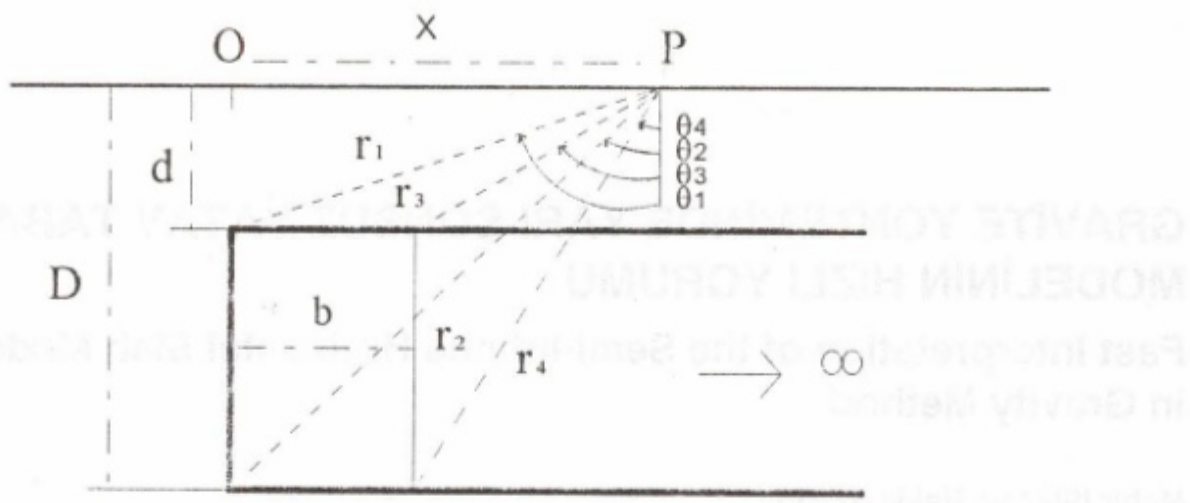
$$r_3 = \sqrt{d^2 + (x-b)^2} \quad r_4 = \sqrt{D^2 + (x-b)^2}$$

$$\tan \theta_1 = x/d \quad \tan \theta_2 = x/D$$

$$\tan \theta_3 = (x-b)/d \quad \tan \theta_4 = (x-b)/D$$

olarak gösterilmiştir (Şekil 1).

* Kocaeli Üniversitesi Mühendislik Fakültesi, Jeofizik Bölümü, Kocaeli.



Şekil 1. Yarı sonsuz yatay tabaka modeli.

Fig. 1. The semi-infinite horizontal slab model.

Eğer böyle bir prizmanın b genişliği, çok büyük seçilecek olursa ($r_3 \approx r_4 \approx \infty$ ve $\theta_3 \approx \theta_4 \approx -\pi/2$);

$$g = 2k_o\rho \left[x \ln \left(\frac{r_2}{r_1} \right) + D \left(\frac{\pi}{2} + \theta_2 \right) - d \left(\frac{\pi}{2} + \theta_2 \right) \right] \quad (2)$$

yarı sonsuz yatay bir tabakanın gravite etkisini veren ifade elde edilir.

(2) nolu bağıntı;

$$\begin{aligned} g = 2k_o\rho & \left\{ \frac{x}{2} \ln \left[\frac{D^2 + x^2}{d^2 + x^2} \right] + D \left[\frac{\pi}{2} + \arctan \left(\frac{x}{D} \right) \right] \right. \\ & \left. - d \left[\frac{\pi}{2} + \arctan \left(\frac{x}{d} \right) \right] \right\} \end{aligned} \quad (3)$$

özgür şekli ile verilebilir. Burada; gravite sabiti (k_o), yoğunluk farkı (r), üst derinlik (d) ve alt derinlik (D) ile gösterilmiştir.

Yarı sonsuz yatay tabakanın gravite etkisini veren (3) nolu bağıntının yatay türevini alırsak;

$$\begin{aligned} g' = \frac{\partial g}{\partial x} &= 2k_o\rho \left\{ \frac{1}{2} \ln \left[\frac{D^2 + x^2}{d^2 + x^2} \right] + x^2 \left[\frac{1}{D^2 + x^2} - \frac{1}{d^2 + x^2} \right] \right. \\ & \left. + \frac{D^2}{D^2 + x^2} - \frac{d^2}{d^2 + x^2} \right\} \end{aligned} \quad (4)$$

bağıntısı elde edilir. (3) ve (4) nolu ifadelerde $x=0$ yazıldığında;

$$\frac{g(x=0)}{k_o\rho\pi} = D - d$$

$$e^{\frac{g'(x=0)}{2k_o\rho}} = D/d$$

denklemleri elde edilir. Yoğunluk farkının bilinmesi ve bu denklemlerin ortak çözümü ile, model parametreleri (d ve D) bulunur. (5) ve (6) nolu bağıntılardaki; $g(x=0)$, gravite anomalisinin dönüm noktasındaki gravite değeri, $g'(x=0)$ ise, türev anomalisindeki max. türev değeridir (Şekil 2).

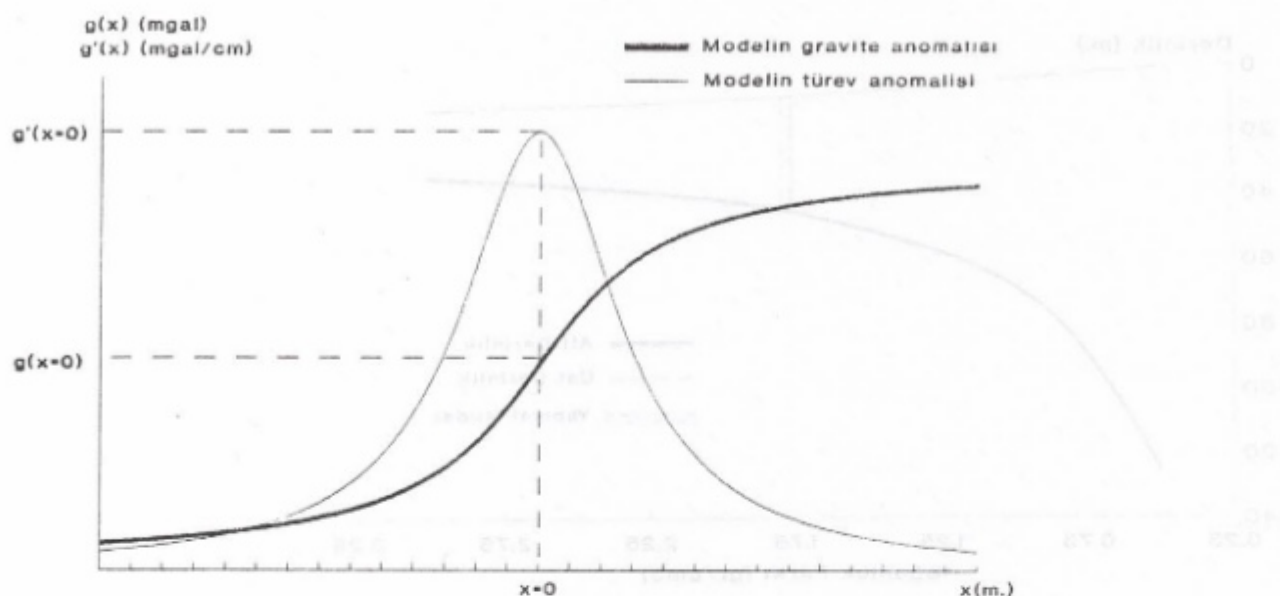
YOĞUNLUK FARKININ İRDELENMESİ

Yarı sonsuz yatay bir tabakanın, üst ve alt derinliklerinin saptanmasında, yoğunluk farkının bilinmesi önem taşımaktadır. Yoğunluk farklarına karşılık gelen parametreler hesaplanmıştır. Böylece, Şekil 3'deki yoğunluk farkı-derinlik grafiği elde edilmiştir.

Yoğunluk farkının azalması ile üst derinliğin azaldığı, alt derinliğin arttığı ve yoğunluk farkının artması ile üst derinliğin arttığı, alt derinliğin ise azalduğu sonucu ortaya çıkmıştır.

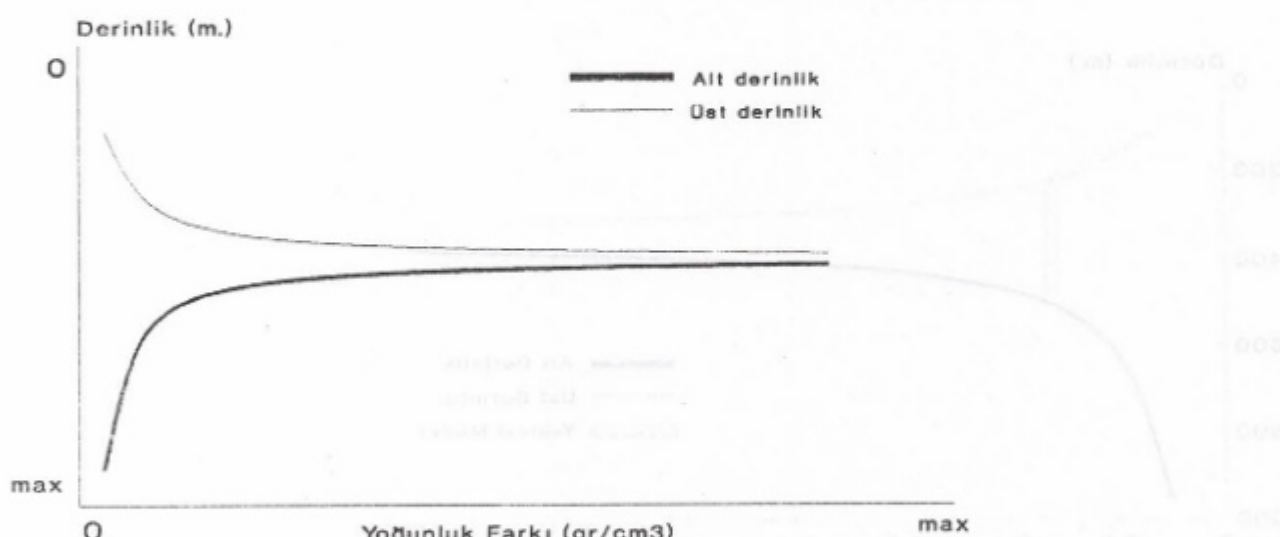
TEORİK UYGULAMA

Yönetim ne derece başarılı olduğu, iki teorik model üzerinde gösterilmiştir. (3) nolu bağıntı yardımıyla gravite anomalisi, (4) nolu bağıntı yardımıyla türev anomalisi elde edilerek, $g(x=0)$ ve $g'(x=0)$ kritik noktaları bulunmuştur. (5) ve (6) nolu bağıntıların ortak çözümü ile d ve D para-



Şekil 2. Yarı sonsuz yatay tabaka modelinin gravite ve 1. yatay türev anomalileri.

Fig. 2. The gravity and first horizontal derivative anomaly of semi-infinite horizontal slab model.



Şekil 3. Yoğunluk farkı-derinlik grafiği.

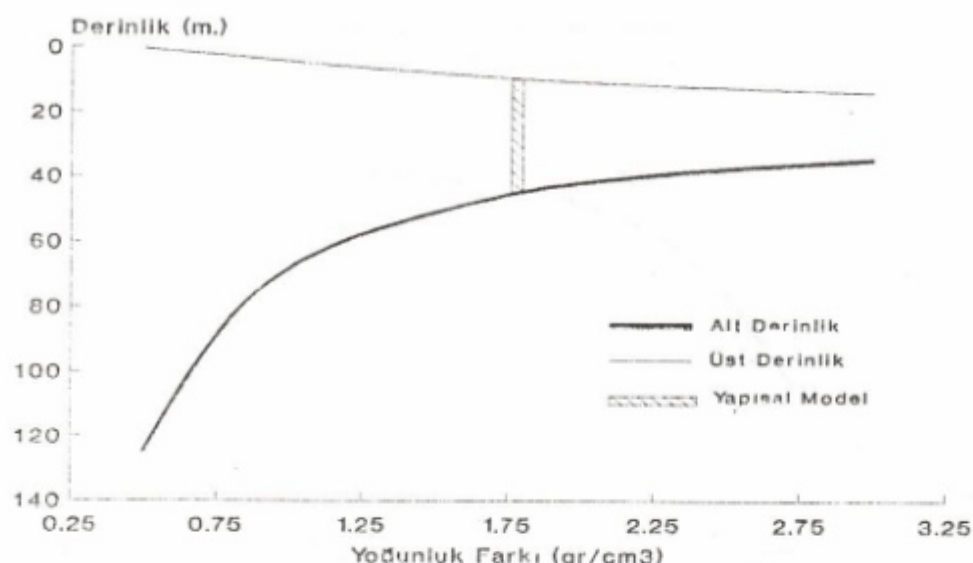
Fig. 3. The density contrast-depth graph of the fist model.

metreleri saptanmıştır. Ayrıca, yoğunluk farkının bu parametreler üzerindeki etkisi de irdelenmiştir.

I. Model çalışmasında; profil boyu = 2.60 km, ölçü aralığı=100 m ve $\rho = 1.78 \text{ gr/cm}^3$ kabul edilmiş, yarı sonsuz yatay tabakanın üst derinliği (d)=10 m, alt derinliği (D)= 45 m seçilmiştir. İlgili bağıntılardan $g(x=0)= 1,3060 \text{ mgal}$ ve $g'(x=0)= 0,3573 \cdot 10^{-3} \text{ mgal/cm}$ kritik değerleri bulunarak, parametreler hesaplanmıştır. Değişik yoğunluk farkı değer-

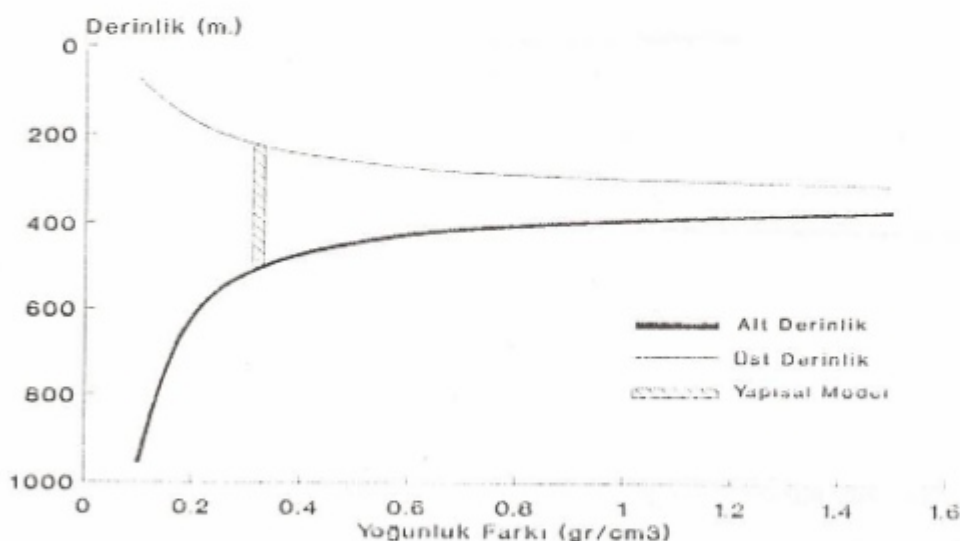
lerinin, bu parametrelere etkisi gösterilmiş (Çizelge 1), yoğunluk farkı-derinlik grafiği hazırlanmıştır (Şekil 4).

II. Model çalışmasında; profil boyu=6.25 km, ölçü aralığı=125 m, $\rho=0.32 \text{ gr/cm}^3$, $d= 225 \text{ m}$, $D=500 \text{ m}$ seçilmiştir. $g(x=0)=1.8448 \text{ mgal}$ ve $g'(x=0)=0,3410 \cdot 10^{-4} \text{ mgal/m}$ kritik değerleri bulunarak, parametreler saptanmıştır. Yoğunluk farkı-derinlik ilişkisi incelenmiş (Çizelge 2) ve bu ilişki grafiğe aktarılmıştır (Şekil 5).



Şekil 4. Birinci model çalışmasına ait, yoğunluk farkı-derinlik grafiği.

Fig. 4. The deensity contrast-depth graph of the fist model.



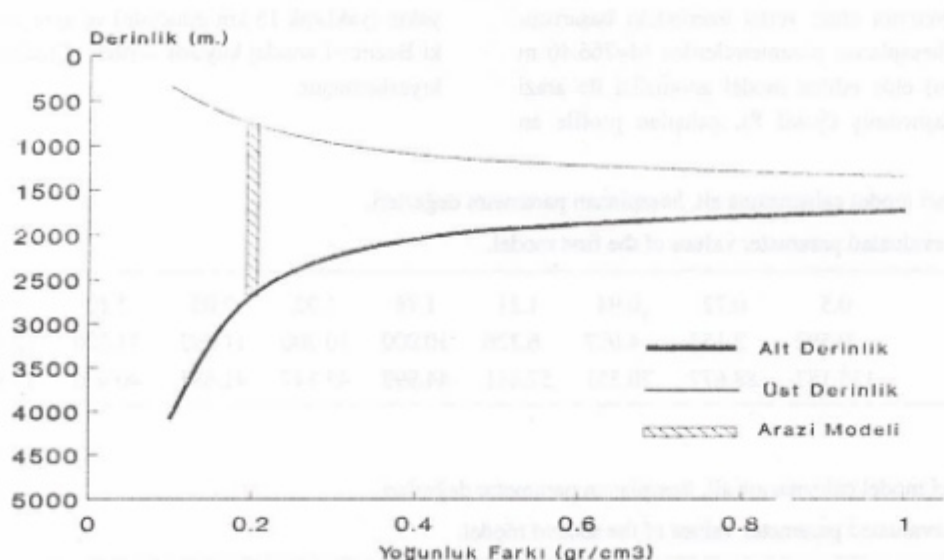
Şekil 5. İkinci model çalışmasına ait, yoğunluk farkı-derinlik grafiği.

Fig. 5. The density contrast-depth graph of the second model.

ARAÇ UYGULAMASI

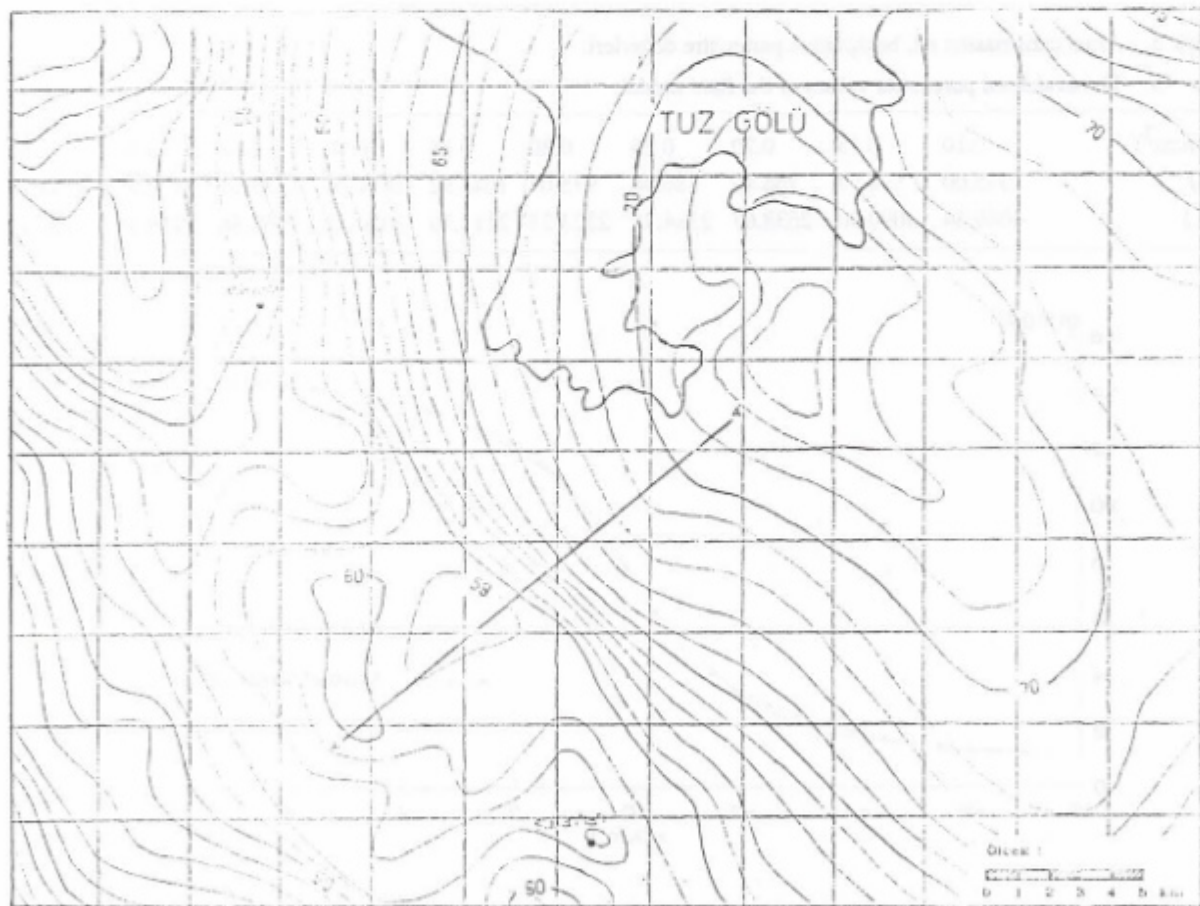
Yöntemin arazi uygulaması için Şekil 6'da görülen Tuz Gölü Bouguer gravite haritası kullanılmıştır. Harita üzerinde A-A' kesiti alınarak, profil boyu=14 km, ölçü aralığı=500 m seçilip, gravite anomalisi ve bu anomaliden yatay türev eğrisi elde edilmiştir. Bu anomalilerden; g

$(x=0)=7,85 \text{ mgal}$ ve $g'(x=0)=3,3 \cdot 10^{-5} \text{ mgal/cm}$ kritik değerleri saptanmıştır. $\rho=0.2 \text{ gr/cm}^3$ alınarak (Uğurtaş, 1975), (5) ve (6) nolu bağıntılar yardımıyla üst ve alt derinlik hesaplanmıştır (Çizelge 3). Model çalışmalarında olduğu gibi, yine yoğunluk farkının derinlik üzerindeki etkisi grafiğe aktarılmıştır (Şekil 7).



Şekil 6. Tuz Gölü Bouguer gravite haritası.

Fig. 6. Tuz Lake Bouguer gravity map.



Şekil 7. Arazi çalışmasına ait, yoğunluk farkı-derinlik grafiği.

Fig. 7. The density contrast-depth graph of the field model.

Ayrıca, yöntemin arazi verisi üzerindeki başarısını göstermek için; hesaplanan parametrelerden ($d=766.40$ m ve $D=2638.67$ m) elde edilen model anomalisi ile arazi anomalisi karşılaştırılmış (Şekil 8), çalışılan profile en

yakın (yaklaşık 15 km güneyde) ve aynı anomali üzerindeki Bezirci-1 sondaj kuyusu verileri (Çizelge 4) ile sonuçlar kıyaslanmıştır.

Çizelge 1. Birinci model çalışmasına ait, hesaplanan parametre değerleri.

Table 1. The evaluated parameter values of the first model.

ρ (gr/cm ³)	0.5	0.72	0.94	1.21	1.78	1.92	2.05	2.12	2.5	3.00
d (m.)	0.592	2.153	4.077	6.326	10.000	10.700	11.292	11.590	12.993	14.411
D (m.)	125.187	88.677	70.351	57.811	44.999	43.147	41.681	40.976	37.912	35.177

Çizelge 2. İkinci model çalışmasına ait, hesaplanan parametre değerleri.

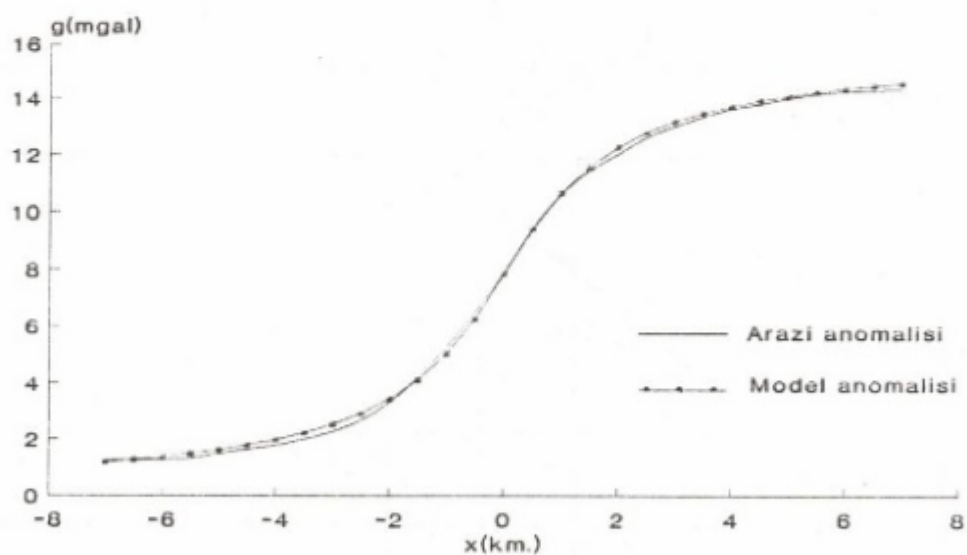
Table 2. The evaluated parameter values of the second model.

ρ (gr/cm ³)	0.1	0.15	0.2	0.25	0.32	0.4	0.58	0.7	1.00	1.50
d (m.)	74.122	130.587	170.028	197.881	225.017	246.042	274.100	285.368	302.282	315.909
D (m.)	954.113	717.248	610.023	549.878	500.015	466.040	425.823	411.081	390.281	374.575

Çizelge 3. Arazi çalışmasına ait, hesaplanan parametre değerleri.

Table 3. The evaluated parameter values of the field model.

ρ (gr/cm ³)	0.10	0.15	0.20	0.25	0.30	0.35	0.40	0.45	0.50	1.00
d (m.)	345.00	594.54	766.40	886.96	975.07	1041.92	1094.24	1136.24	1170.67	1334.87
D (m.)	4089.54	3090.90	2638.67	2384.78	2223.25	2111.79	2030.37	1968.36	1919.58	1709.32



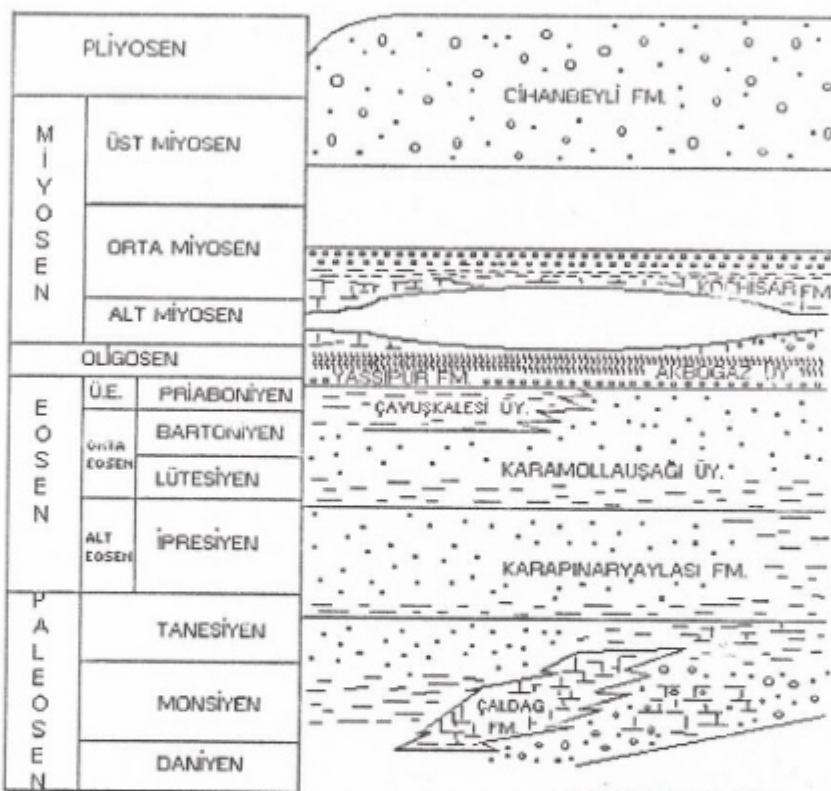
Şekil 8. Model anomalisi ile arazi anomalisinin karşılaştırılması.

Fig. 8. Comparison of model anomaly with field anomaly.

Çizelge 4. Bezirci-1 kuyusuna ait sondaj verileri.

Table 4. The borehole data of Bezirci-1.

Birimler	Derinlik (m.)	Kot (m.)	Kalınlık (m.)	Üst Dokanak	İçerik	Kaynak
Cihanbeyli Fm.	0.00	+ 991	4607.00 P	Yüzey		Kuyu
Koçhisar Fm.	757.00	+ 234	3850.00 P	Diskordans		Saha
Yassıpur Fm.	1315.00	- 325	3292.00 P	Diskordans		Saha
Dedeli Fm.	2824.00	- 1834	1783.00 P	Diskordans		Saha
Yassıpur Fm.	3796.00	- 2806	811.00 P	Faylı		Saha
Son Derinlik	4607.00	- 3617				

Şekil 9. Bezirci-1 sondaj kuyusunun litolojik kesiti.
Fig. 9. The lithologic section of Bezirci-1 borehole.

SONUÇLAR

Yarı sonsuz yatay tabaka modeline ait parametreler, gerek teorik örneklerde gerekse araziörneğinde görüldüğü gibi, kolaylıkla ve çok büyük yaklaşıklikla bulunmuştur. Özellikle araziörneğinde; saptanan parametrelerden elde edilen gravite anomalisinin arazi anomali ile tamamen çakışması, bulunan sonuçların hem Bezirci-1 sondaj verileri (Çizelge 4) hem de litolojik kesit (Şekil 9) ile uyum göstermesi yöntemin başarısını kanıtlamaktadır. Bu uyum,

sondaj verileri ve litolojik kesitte görülen Koçhisar formasının yonunun derinliği ile hesaplanan üst derinlik parametresi arasında görülmektedir.

Bulunan parametrelerin doğruluğu, yoğunluk farklıının çok iyi bilinmesi ile de ilişkilidir. Çünkü; Yoğunluk farklıının azalması ile üst derinliğin azaldığı, alt derinliğin arttığı, ya da tersinin sonucu etkilediğini dikkate almak gerekmektedir.

KAYNAKLAR

- Akgün, M. 1994, Gravite verisinin Hilbert dönüşümü ile bazı yapıların parametrelerinin saptanması, Jeofizik 8, 161-171.
- Pınar, R. ve akçig, Z. 1994, Hilbert dönüşümlerinin gravite yönteminde kullanılması, jeofizik 9-10, 51-56.
- Sundararajan, N., Mohan, N.L. and Seshagiri Rao, S.V. 1983, Graviy interpretation of two dimensional fault structures using Hilbert Transforms, Journal of Geophysics 53, 34-41.
- Şenel H. 1993, İki boyutlu prizmatik şerit kütlenin gravite etkisinin Fourier dönüşümü ve Kentalan antiklinaline uygulanması, Jeofizik 7, 87-93.
- Terford, W.M., Geldard, L.P., Sherif, R.e., Keys. D.A. 1976, Applied Geophysics, Cambridge University Press.
- Uğurtaş, G. 1975, Tuz Gölü havzasının bir bölümünün jeofizik yorumu, M.T.A. Enstitüsü dergisi 85, 38-45.

YERALTI TABAN TOPOĞRAFYASININ İKİ BOYUTLU GRAVİTE-MANYETİK TERS ÇÖZÜM YÖNTEMİYLE SAPTANMASI VE ANKARA-POLATLI BÖLGESİNE UYGULANMASI

Determination of the Subsurface Basement Topography With Two Dimensional Gravity-Magnetic Inversion Method and Application to the Ankara-Polatlı Region

Coşkun SARI*, Müjgan ŞALK*, Günay ÇİFÇİ* ve Tamer VURAL

ÖZET

Jeofizik anomalilerin ters çözümü yapının ürettiği anomalinin gözlenen anomaliye uydurulması ve en uygun model parametrelerinin saptanması işlemidir. Gravite ve manyetik anomalilerinin ters çözümü, yapı parametrelerinin anomalilerle doğrusal ilişkili olmaması nedeniyle doğrusal olmayan bir problemdir. Gravite ve manyetik anomaliye neden olan yapılar çoğu kez kesiti çokgen olan bir model yardımıyla saptanır. Doğrusal olmayan problemler için parametreleri saptanacak yapıyı kuramsal olarak yanyana konmuş prizma serileri veya sonsuza uzanan düşey dayklar olarak tanımlamak bir çokgen ile sınırlamaktan daha uygundur. İki boyutlu, düşey yönde sonsuza uzanan dikdörtgen prizma bloklarının bir referans derinliğine göre yeraltı taban topografyası olarak tanımlanan üst yüzeylerinin derinlikleri, bir yoğunluk veya süzeptibilite farkı için gravite veya manyetik verilerden saptanabilir. Eğer referans derinlik kavramı yanında blokların üst yüzeylerinin alabileceği en büyük ve en küçük derinlik değerleri de tanımlanacak olursa yapı parametreleri daha güvenli saptanabilir. Yöntem, kuramsal modellerle denenmiş ve Ankara-Polatlı bölgesi Bouguer gravite ve havadan

ABSTRACT

Inversion of geophysical anomalies implies fitting the observed anomalies to the anomalies produced by the bodies and determining the parameters of the best-fitting model. Inversion of gravity and magnetic anomalies is a nonlinear problem in the sense that body parameters are not related linearly to the anomalies. Gravity and magnetic anomalies caused by structures are mostly determined by a two-dimensional model which has an n-sided polygonal cross-section. For nonlinear problems, theoretically it is more suitable to determine the parameters of the structure by a series of juxtaposing prisms or vertical dykes extended to infinity rather than limiting with an n-sided polygonal model. The depths of the top surfaces of rectangular prism blocks extending to the infinity in the vertical direction defined as subsurface basement topography according to a reference depth can be determined by gravity or magnetic data for a density or susceptibility contrast. Besides the concept of reference depth, if the maximum and minimum depth values that the top surfaces can take, are defined, the structure parameters can be determined more reliably. The method was tested on the theoretical models and then was applied to the Ankara-Polatlı Bouguer gravity and aeromagnetic data. The

* DEÜ Müh. Fak. Jeofizik Müh. Böl., 35100 Bornova, İzmir.

manyetik verilerine uygulanmıştır. Ankara-Polatlı bölgesinde genel tektonik doğrultular yaklaşık D-B yönlü olup, Polatlı-Haymana arasında Paleosen-Alt Eosen süresince gelişmiş bir graben yapısını içermektedir. Bu graben Üst Kretase-Alt Tersiyer yaşı tortullarla örtülüdür. Ankara-Polatlı Bouguer gravite ve havadan manyetik verilerine uygulanan ters çözüm işlemi sonucunda yeraltı taban topografyasının derinliği 3.5-5 km arasında değiştiği saptanmıştır. Ankara'nın GD'daki Mesozoik ofiyolitlerin derinliği 2.5 km civarında, KB'da yükselim gösteren volkaniklerin derinliği ise 1-1.5 km olarak bulunmuştur. Genel olarak Ankara-Polatlı havzasını dolduran tortulların kalınlığının havzamız GD'sunda, KB'ya kıyasla daha fazla olduğu gözlenmiştir.

general tectonic trends are E-W in the Ankara-Polatlı region where the graben structure was developed during the Paleocene-Lower Eocene. This graben was covered with the sediments of the Upper Creatase-Lower Tertiary. As a result of the application of the inversion procedure to the Ankara-Polatlı Bouguer gravity and aeromagnetic data, the depths of subsurface basement topography were determined in between 3.5 and 5 km. The depths of Mesozoic ophiolites in the region of SE of Ankara were obtained around 2.5 km and, the depths of the Ankara-Polatlı Permian Mesozoic were determined in between 3.5 and 4 km. The depths of the volcanics at the NW of Ankara were determined around 1-1.5 km. It was observed that, the sediments are thicker at the SE of the area in comparison with sediments at the NW.

GİRİŞ

Jeofizik anomalilerinin ters çözümü, modele en iyi uyan parametrelerin saptanması ve yapının ürettiği anomalinin gözlenen anomaliye uydurulması işlemidir. Gravite ve manyetik anomalilerinin ters çözümü, yapı parametrelerinin anomalilerle doğrusal olarak ilişkili olmaması nedeniyle doğrusal olmayan bir problemdir. Bu nedenle, bir başlangıç modelden hareket edilerek model parametrelerinin başlangıç değerlerine olan düzeltmeler, gözlenen ve hesaplanan anomaliler arasındaki farklar ve model parametrelerine olan artımlarla kurulan doğrusal denklemlerle saptanır. Gravite-Manyetik ters çözüm ilkeleri hakkında ayrıntılar Al-Chalabi (1970, 1971, 1972) ve Murthy (1989) tarafından verilmiştir. Fay ve dayk biçimli yapıların çeşitli bilgisayar programları yazılmıştır. (Murthy ve Rao 1973, Murthy ve Krishnamacharyulu 1990a, 1990b). Çoğu kez anomaliye neden olan yapılar bu modellerin herhangi birine eşit olmayıpabilir. Bu durumda problem çokgen kesitli bir model yardımıyla çözülebilir (Talwani ve diğ., 1959). Çokgen bir model için saptanan parametreler çokgenin köşelerinin koordinatlarındır.

Gelişigüzel biçimli iki boyutlu yapıların neden olduğu anomalilerin ters çözümü, yapının emine kesitinin bir çokgen olarak tanımlanmasıyla başlar. Çokgenin koordinatlarına yaklaşık değerlerin atanmasıyla başlayan işlem optimizasyon işlemi ile daha da iyileştirilir (Murthy ve Rao 1993). Bazen parametreleri araştırılan yapıyı kuramsal olarak yanyana konmuş prizma serileri veya sonlu düşey dayklar olarak tanımlamak, bir çokgen ile sınırlamaktan daha uygun olabilir. Bu amaçla, Dyrelius ve Vogel (1972), iki boyutlu dikdörtgen prizma bloklarının üst yüzeylerini $Z=0'$ da sabit tutarak σ yoğunluk farkı için yeraltı topografyasını blokların alt yüzeylerinin derinliklerine bağlı olarak

saptamışlardır. Pedersen (1977) ise, iki boyutlu düşey yönde sonsuza uzanan dikdörtgen prizma bloklarının üst yüzeylerinin derinliklerini Z referans derinliğine göre σ yoğunluk farkı ve K manyetik duyarlılık (susceptibility) farkı için hem gravite hem de manyetik verilerden saptanmıştır.

Murthy ve Rao (1989) ve Murthy (1990) ise dikdörtgen prizma bloklarının üst yüzeylerinin derinliğini saptarken ortalama derinlik kavramı yanında blokların üst yüzeylerinin olabileceği en büyük ve en küçük derinlik değerlerini de tanımlayarak saptanacak parametrelerin daha güvenilir olmasını sağlamışlardır. Yöntem, Bouguer gravite ve havadan manyetik anomalisi profil verilerine uygulanarak Ankara-Polatlı bölgesi yeraltı taban topografyasının saptanması amaçlanmıştır. Günümüze dekin Ankara-Polatlı-Haymana bölgesinde gerek bilimsel, gerekse ekonomik amaçlı kapsamı dar alanları içeren bir çok jeolojik çalışma yapılmıştır. Yapılan saha çalışmaları (Görür 1981, Ünalan ve Yüksel 1978, Ünalan ve diğ. 1976, Schmidt 1960, Rec Kamp ve Özbeý 1960), hava fotoğrafları incelemeleri (Elliot 1975) ve sismik çalışmalar (T.G.O. 1959, M.T.A. 1976) bölgenin Paleosen-Alt Eosen süresince gelişmiş bir graben olduğunu ve Polatlı'dan Haymana'ya doğru gidildikçe kalınlığı yaklaşık 6 km'ye ulaşan tortullarla örtülü olduğunu göstermiştir. Buna karşın bölgede yapılan jeofizik çalışmalar oldukça sınırlı kalmıştır. Bu nedenle de, bölgenin yapısal özelliklerine ilişkin genel bir jeofizik yorum yapılamamıştır.

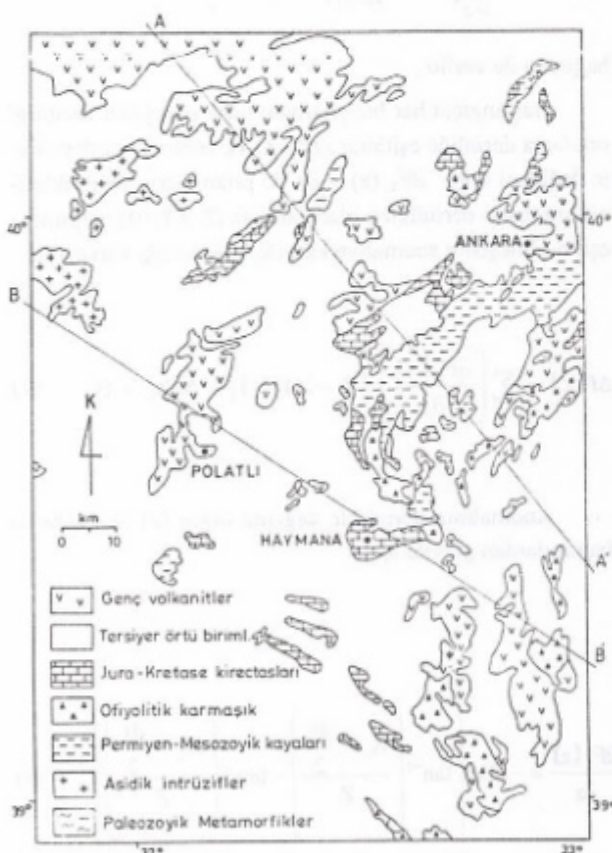
ANKARA-POLATLI BÖLGESİ'NİN JEOLOJİSİ VE TEKTONİĞİ

Haymana-Polatlı havzasının temelini Paleozoik yaşı metamorfikler oluşturmaktır ve bunları granitik türü asidik sokulum kayaları kesmektedir. Bunların üzerine uyumsuz-

lukla Permien-Mesozoik kayaları, ofiyolitik karmaşık, Jura-Kretase kireçtaşları ve Tersiyer örtü birimleri gelmektedir. Tüm bu birimleri genç volkanitler kesmektedir (Erentöz ve Pamir 1975). Haymana'nın GD'su, Polatlı'nın kuzeyinden Ankara'ya dek Elmadağ yöreni ve Ankara'nın K-KB'sı bu volkanik oluşumlarla kaplanmıştır (Şekil 1).

Haymana dolaylarında, çökelme havzasını etkileyen en önemli tektonik etkinlikler ofiyolitik yerleşmeler esnasında izlenmektedir. Havza, Toros ve Pontiller'e paralel bir şekilde D-B yönünde uzanmaktadır. Kretase ve Miocene'deki tektonik hareketlerle havza bugünkü şeklini almıştır (Coşkun ve diğ. 1990).

Ankara'nın GB'da yer alan, KB-GD uzanımlı Polatlı-Haymana havzası kalınlığı yaklaşık 5800 metreye ulaşan Üst Kretase-Alt Tersiyer yaşı tortullarla örtülmüştür. Havzanın iki yanında havzaya doğru derinleşen ve basamaklar oluşturan normal faylar gözlenmektedir. Ünalan ve diğ. (1976), Ünalan ve Yüksel (1978) ve Görür (1981) yaptıkları jeolojik çalışmalar sonucu saptadıkları verilerle Polatlı-



Şekil 1. Ankara-Polatlı Bölgesi Jeoloji Haritası (Erentöz ve Pamir, 1975'den sadeleştirilmiştir).

Fig. 1. Geological map of the Ankara-Polatlı region (Modified from Erentöz and Pamir, 1975)

Haymana havzasının Paleosen-Alt Eosen süresince gelişmiş bir graben olduğunu göstermiştir. Yine Ünalan ve Yüksel (1978)'e göre bu graben Neoje'de aşasal uyumsuzluklar karasal tortullarla örtülmüştür.

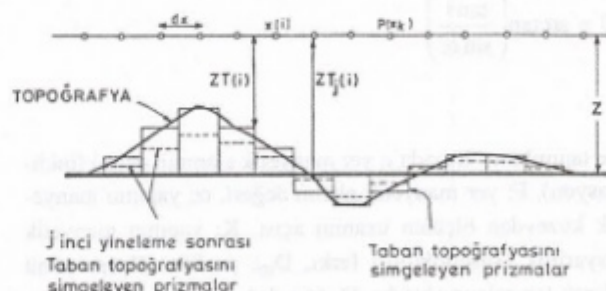
YÖNTEM

Bir profil boyunca eşit aralıklarla örmeklenmiş AT toplam manyetik veya Δg Bouguer gravite anomalilerinin her bir anomali noktası altındaki yapı yüzeyi (gravite de yoğunluk; manyetikte manyetik duyarlılık) düşey yönde sonsuza uzanan, yanyana dizilmiş prizmalarla tanımlanarak üst yüzeylerine olan derinlikler saptanabilir (Şekil 2). Temel yaklaşım olarak, herhangi bir prizmanın oluşturduğu manyetik ya da gravite anomalisinin düşey gradyanının prizmanın derinliği veya prizmanın artım miktarı üzerinde sabit olduğu ve herhangi bir noktadaki anomaliye olan katkısının prizmanın artım miktarı veya kalınlığı ile anomalinin düşey gradyanının basit çarpımı olduğu varsayımlı kullanılmıştır. Anomali profilinein araştırılan yeraltı taban topografyasını tümüyle kapladığı varsayılar. Ayrıca profiline AX+B ile tanımlanan rejyonel trende sahip olduğu kabul edilir.

Prizmalarla tanımlanan yapının (Şekil 2) (yoğunluk (σ) ya da manyetik duyarlılık (K) yüzeyinin) herhangi bir $P(x_k)$ noktasındaki gravite veya manyetik anomalisini veren bağıntı ($\Delta f(k) = \Delta f(X_k)$),

$$\Delta f(k) = \sum_{i=2}^{N-1} [F(z)]_{ZT_i, 0}^x + AX_k + B, \quad (1)$$

olarak yazılabilir (Rao ve Murthy 1978, Murthy 1990). $F_k(z)$ islevi, gravite de;



Şekil 2. Prizmalarla tanımlanan yeraltı taban topografyası (Murthy ve Rao, 1978).

Fig. 2. Subsurface basement topography represented by prism (from Murthy and Rao, 1978).

$$F_k(z) = 2G\sigma \left[Z \left[\tan^{-1} \left(\frac{X_k + \frac{dx}{2}}{Z} \right) - \tan^{-1} \left(\frac{X_k - \frac{dx}{2}}{Z} \right) \right] + 0.5 \left[\left(X_k + \frac{dx}{2} \right) \ln \left(\left(X_k + \frac{dx}{2} \right)^2 + Z^2 \right) - \left(X_k - \frac{dx}{2} \right) \ln \left(\left(X_k - \frac{dx}{2} \right)^2 + Z^2 \right) \right] \right] \quad (2)$$

manyetik de;

$$F_1(z) = -2J \left[\sin(\phi) \tan^{-1} \left(\frac{X_k - X_i + \frac{dx}{2}}{Z} \right) - \tan^{-1} \left(\frac{X_k - X_i - \frac{dx}{2}}{Z} \right) + 0.5 \cos(\phi) \ln \left(\frac{\left(X_k - X_i + \frac{dx}{2} \right)^2 + Z^2}{\left(X_k - X_i - \frac{dx}{2} \right)^2 + Z^2} \right) \right] \quad (3)$$

olarak tanımlanır. Bu bağıntılarda G gravite sabiti, σ yoğunluk farkı, ϕ manyetizasyon açısı, J manyetizasyon şiddeti, dx örneklemme aralığını simgeler. Z, yeraltı taban topografyasının profil boyunca ortalama derinliğini, $ZT(i)$ ise i.inci örnekleme noktası altındaki derinliği göstermektedir. Ayrıca manyetizasyon şiddeti J ve manyetizasyon açısı ϕ

$$J = KF \sqrt{1 - \cos^2 \alpha \cos^2 i} \dots \sqrt{1 - \cos^2 \alpha \cos^2 D_m}$$

$$\emptyset = \arctan \left(\frac{\tan i}{\sin \alpha} \right) \quad (4)$$

ile tanımlanır. Burada i; yer manyetik alanının eğimi (inklinasyon), F; yer manyetik alanın değeri, α ; yapının manyetik kuzeyden ölçülen uzanım açısı, K; yapının manyetik duyarılık (süzeptibilite) farkı, D_m ; profiline ölçüm yönü olarak tanımlanmaktadır. D_m 'nin değeri; yatay bileşen için 0°, düşey bileşen için 90° ve toplam bileşen için yer manyetik alanının eğim açısının değeri olarak tanımlanır.

Anomali profilinin araştırılan yeraltı taban topografyasını tümüyle varsayılm nedeniyle, anomalinin ilk ve son noktaları altında yeraltı taban topografyasının derinliği bi-

linyorsa ortalama derinlik değerine (Z) eşit, aksi halde bu noktaların altındaki derinlik değeri sıfır olarak alınır. Ortalama derinliğin altına ($ZT(i) > Z$) düşey yönde sonsuza uzanan bir prizma, ortalama derinliğin üzerinde ($ZT(i) < Z$) düşey yönde sonsuza uzanan bir prizmanın, oluşturduğu gravite etkisine zıt işaretli bir gravite etkisi oluşturur.

$$[F_k(z)]_{ZT(i)}^Z = -[F_k(z)]_Z^{ZT(i)} \quad (5)$$

Ortama derinliğin altında ve üstünde uzanan prizmaların anomalisi olan katkıları (1) no'lu bağıntıda otomatik olarak birleştirilir. Yeraltı taban topografyasının derinliğinin araştırılması işlemi, başlangıç ve saptanan sonuçların yineleme ile iyileştirilmesi olmak üzere iki evreyi içermektedir. A_j ve B_j reyonel anomalinin katsayıları ve j. yineleme sonunda yüzeye olan derinlikler $ZT_j(i)$, ($i=2,3,\dots,N-1$) ise, böyle bir modelin kuramsal anomalisi,

$$\Delta f_{\text{hos}}(k) = \sum_{i=2}^{N-1} [F_k(z)]_{ZT(i)}^Z + A_j X_k + B_j \quad (6)$$

bağıntısı ile verilir.

Başlangıçta her bir prizmanın üst yüzeyinin derinliği ortalama derinliğe eşitlenir ($ZT=Z$) ve anomalinin derinlikle değişimi oranı $\partial F_k(z) / \partial z$ ile prizmaların derinliklerinin ortalama derinlikten olan farkları ($Z-ZT_1(i)$) çarpımına eşit bir bileşenin anomalisi katkıda bulunacağı varsayılar.

$$\Delta f(k) = \sum \left[\frac{\partial F_k(z)}{\partial z} \right] (Z - ZT_1(i)) + A_1 X_k + B_1 \quad (7)$$

Anomalinin derinlikle değişim oranı (2) ve (3) no'lu bağıntılardan gravite için;

$$\frac{\partial F_k(z)}{\partial z} = -2G\sigma \left[\tan^{-1} \left(\frac{X_k + \frac{dx}{2}}{Z} \right) - \tan^{-1} \left(\frac{X_k - \frac{dx}{2}}{Z} \right) \right] \quad (8)$$

manyetik için

$$\frac{\partial F_k(z)}{\partial z} = -2J \left[\frac{\left(X_k - X_i + \frac{dx}{2} \right) \sin(\phi) + Z \cos(\phi)}{\left(X_k - X_i + \frac{dx}{2} \right)^2 + Z^2} - \frac{\left(X_k - X_i + \frac{dx}{2} \right) \sin(\phi) + Z \cos(\phi)}{\left(X_k - X_i + \frac{dx}{2} \right)^2 + Z^2} \right] \quad (9)$$

yazılabilir. (8) no'lu bağıntı ince bir levha modelinin gravite anomalisini veren bağıntıdan tek farkı sadece negatif işaret içermesidir.

Rejyonel anomalinin katsayıları A_1, B_1 ve prizmaların yüzeye olan derinlikleri $ZT_1(i)$ 'nin başlangıç değerleri (7) no'lu bağıntı kullanılarak hesaplanır. j , yineleme sonunda $P(X_k)$ noktasındaki gözlenen ve hesaplanan anomali arasındaki fark $df(k)$, (1) ve (6) no.lu bağıntılar yardımıyla

$$df(k) = \sum_{i=2}^{N-1} \left[F_k(z) \right]_{ZT_1(i)}^{ZT_1(i)} + dAX_k + dB \quad (10)$$

olarak yazılabilir. Bu bağıntıda dA ve dB rejyonal anomalinin katsayıları A_j ve B_j 'nin artımlarıdır. Eğer hesaplanan derinliklere verilen artımlar,

$dZT(i) = ZT_j(i)$ küçük ise

$$\left[F_k(z) \right]_{ZT_1(i)}^{ZT_1(i)} = \left[\frac{\partial F_k(z)}{\partial z} \right]_{ZT_1(i)} . dZT(i) \quad (11)$$

yazılabilir. Bundan dolayı (11) no'lu bağıntı

$$df(k) = \sum_{i=2}^{N-1} \left[\frac{\partial F_k(z)}{\partial z} \right]_{ZT_1(i)} dZT(i) + dAX_k + dB \quad (12)$$

olur. (12) no'lu bağıntıda X_k bilinen bir parametredir. $\partial F_k(z) / \partial z$ formül ise (8) veya (9) no'lu bağıntıdan hesaplanır. Her anomali noktası için oluşturulan bağıntılar uygun bir optimizasyon yöntemi uygulanarak $\sum df(k)^2$ hata fonksiyonunun en küçük yapılması yoluyla dA , dB ve $dZT(i)$ değerleri için çözülür.

Marquardt (1963) en iyileştirme (optimizasyon) yöntemi kullanıldığından normal bağıntılar,

$$\sum_{k=1}^N \sum_{i=1}^N \frac{\partial Df(k)}{\partial a_i} \frac{\partial Df(k)}{\partial a_j} (1 + \delta \lambda) a_i = \sum_{k=1}^N df(k) \frac{\partial \Delta f(X_k)}{\partial a_j}, (j = 1, 2, \dots, N) \quad (13)$$

olarak yazılır. Bu bağıntıda δ 'nın değeri, $i=j$ olması koşulunda 1'e, aksi koşulda ise $(i \neq j)0$ 'a eşittir.

$$\delta = \begin{cases} 1, & i=j \\ 0, & i \neq j \end{cases}$$

λ ; Marquardt sönm faktörü ,

$$a_i = ZT(i+1), i = 1, 2, \dots, N-2$$

$$a_{N-1} = A$$

$$a_N = B,$$

ilişkili parametreler olmak üzere, anomalinin bu parametreler göre kısmi türevleri;

$$\frac{\partial \Delta f(k)}{\partial a_i} = \left[\frac{\partial F_k(z)}{\partial z} \right]_{ZT(i+1)}, i = 1, 2, \dots, N-2 \quad (14)$$

$$\frac{\partial \Delta f(k)}{\partial a_{N-1}} = X_k \quad (15)$$

$$\frac{\partial \Delta f(k)}{\partial a_N} = 1 \quad (16)$$

olarak tanımlanmaktadır.

Başlangıç olarak, tüm örneklemde noktası altındaki prizmaların üst yüzeylerinin derinlikleri ortalama derinliğe eşitlenir. ($ZT(i) = Z$, $i = 1, 2, \dots, N$). Rejyonel trend katsayıları $A=0$ ve $B=0$ olarak tanımlanarak yinelemeli optimizasyon işlemi kurulur. Böyle bir başlangıç modeli ile hesaplanan anomali değeri sıfırdır. Bu nedenle, hatalar gözlenen anomaliye eklenir. Yineleme işlemi Marquardt sönm faktörü çok büyük olduğunda, hata fonksiyonu kabul edilebilir bir değere düşürüldüğünde veya belirtilen yineleme sayısına ulaşıldığında tamamlanır.

Yineleme düzeni izleyen adımlardan oluşmaktadır.

(1) $i = 1$ den N 'e dek prizmaların üst düzey derinlikleri $ZT(i)$ 'nin tüm değerleri ortalama derinlik değeri Z 'ye, anomali hata miktarı $df(i)$, $\Delta f(i)$ 'ye eşitlenir ve rejyonel trendin olmadığı varsayıılır.

(2) (8) veya (9) no'lu bağıntı kullanılarak $k=1$ 'den N 'e dek her bir değer için $i=2$ 'den $N-1$ 'e kadar $\partial F_k(z) / \partial z$ he-

saplanır. (12) no'lu bağıntı ile de $j=2$ 'den $N-1$ 'e kadar dZT (i) ile dA ve dB artım değerleri saptanır.

(3) Artım miktarları ile ilgili parametre değerlerine eklenir.

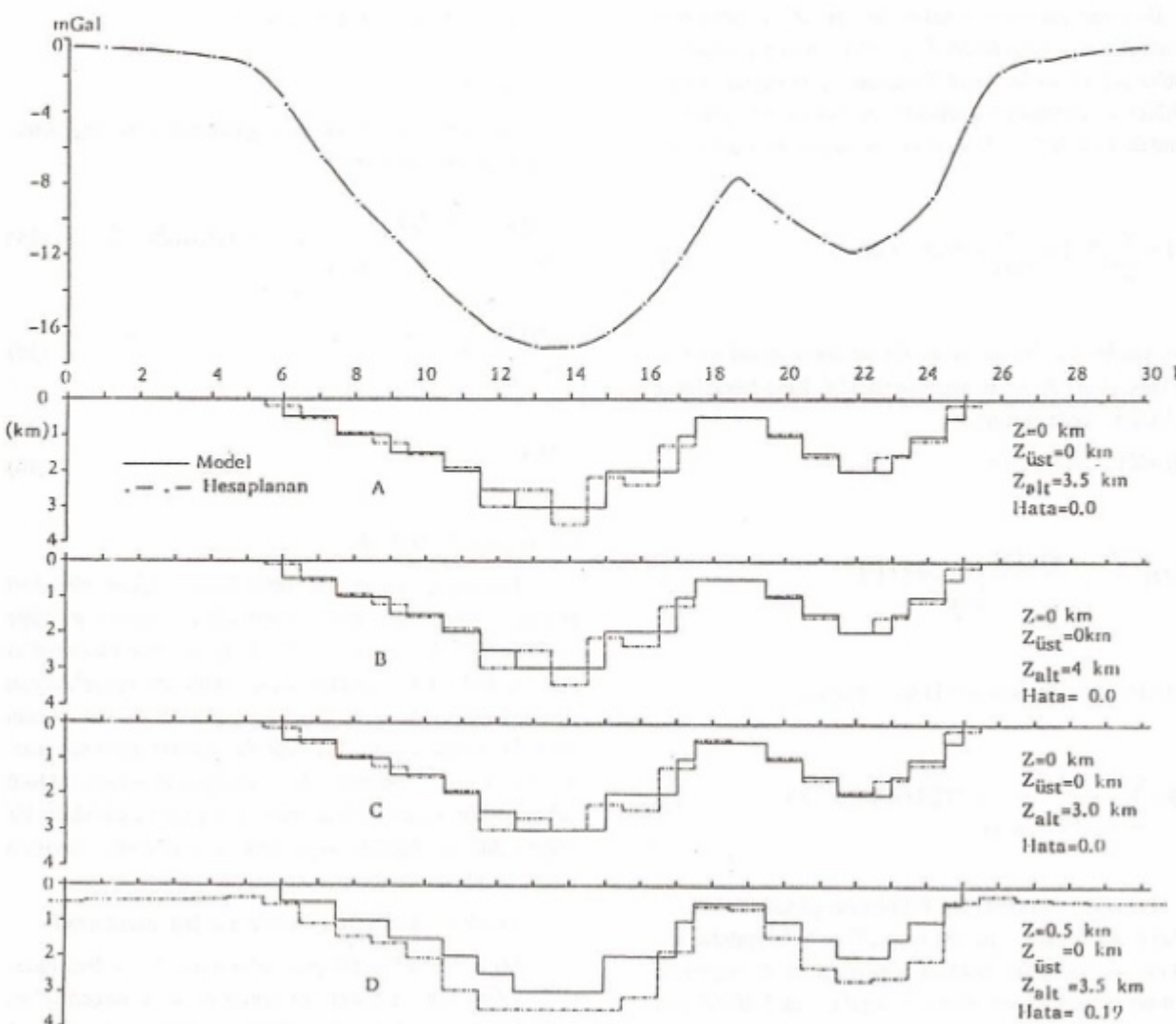
(4) (6) no'lu bağıntıdan Δf_{hes} (k) ve daha sonra $k=1$ den N 'e kadar tüm değerler için $df(k)=\Delta f(k)-\Delta f_{hes}$ (k) hata miktarı hesaplanır.

(5) Yineleme sırasında 2., 3. ve 4. adımlar yinelenir.

UYGULAMALAR

Model olarak oluşturulan yeraltı taban topoğrafyası-

nin kuramsal gravite ve manyetik anomalisi düz çözüm (Talwani modellemesi) ile hesaplanmıştır (Şekil 3 ve 4) $\Delta\sigma=-0.2$ gr/cm³ yoğunluk farkı için hesaplanan gravite anomalisine yeraltı taban topoğrafyasını elde etmek amacıyla iki boyutlu ters çözüm (kuram önceki bölgelerde verilen) yöntemi uygulanmıştır. Taban yapının alabileceği üst ve alt derinlik sınırları $Z_{üst}=0$ km ve $Z_{alt}=3.5$ km olarak seçildiğinde 15. yineleme sonucu saptanın model yapı ile kuramsal model yapı Şekil 3-A'da görülmektedir. $Z_{üst}=0$ km, $Z_{alt}=3$ km koşullarında 15. yineleme sonunda saptanın model yapı ile kuramsal model yapı ise Şekil 3-B ve Şekil 3-C'de görülmektedir. Her üç model yapı için profilin ilk ve son noktaları arasındaki ortalama derinlik değerinin bilinme-



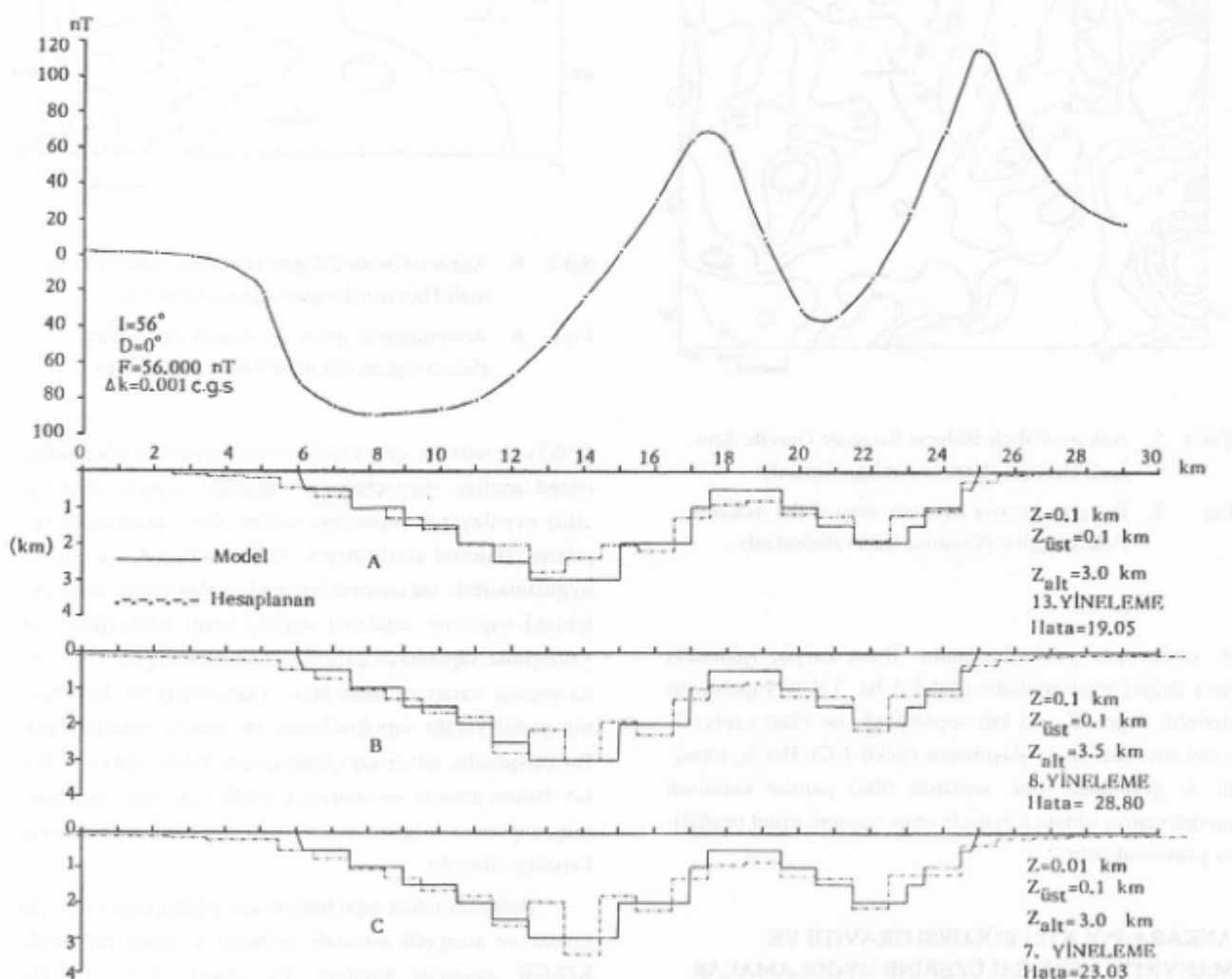
Şekil 3. Yeraltı taban topoğrafyasını simgeleyen yapı modeli ve kuramsal gravite anomalisi.

Fig. 3. Structural model representing subsurface topography and its theoretical gravity anomaly.

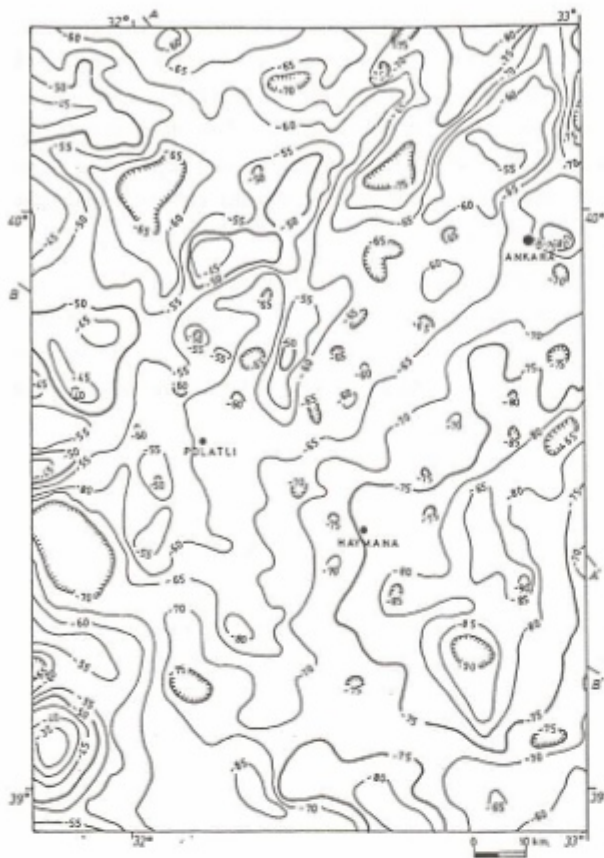
diği varsayılarak $Z=0$ km alınmış olup saptanın model yapıları kuramsal yapıya karakteristik olarak yansımaktadır. $Z_{üst}=0$ km, $Z_{alt}=3.5$ km koşullarında $Z=0.5$ km olarak alındığında ise Şekil 3-D'de görüldüğü gibi saptanın model yapının derinliği kuramsal model yapının derinliğini aşmaktadır ve 15. yinelemede sonuca önceki denemelere kıyasla daha büyük bir hata ile ulaşılmaktadır. Bunun nedeni, potansiyel verilerin çok çözümlülüğü nedeniyle profiline ilk ve son noktaları altındaki derinlik değerlerinin tanımlanan ortalamaya derinlik değerine ($Z=0.5$ km) eşitlenmesi sonucu kuramsal anomaliyi sağlayacak yapının derinliğinin artmasıdır. Model yapıya ilişkin kuramsal manyetik anomali

değerleri manyetik duyarlılık farkı $K=0.001$ c.g.s ve $h=700$ m yükseklik değeri baz alınarak hesaplanmıştır. Kuramsal anomalilerin hesaplanması sırasında yer manyetik alan değeri kuramsal olarak $F=56000$ nT, eğim açısı $i=56^\circ$, sapma açısı $D=0^\circ$ olarak alınmıştır. Gravite örneğinde olduğu gibi, yeraltı taban topoğrafyasının saptanması amacıyla iki boyutlu ters çözüm yöntemi kuramsal manyetik verilere de uygulanmıştır.

Taban yapının üst ve alt derinlik sınırları $Z_{üst}=0.1$ km ve $Z_{alt}=3$ km olarak seçildiğinde 13. yineleme sonucunda saptanın yapı Şekil 4-A'da görülmektedir. Taban yapının alt derinlik değeri $Z_{alt}=3.5$ km alındığında ise olası yapıya



Şekil 4. Yeraltı taban topoğrafyasını simgeleyen yapı modeli ve kuramsal manyetik anomali.
Fig. 4. Structural model representing subsurface topography and its theoretical magnetic anomaly.



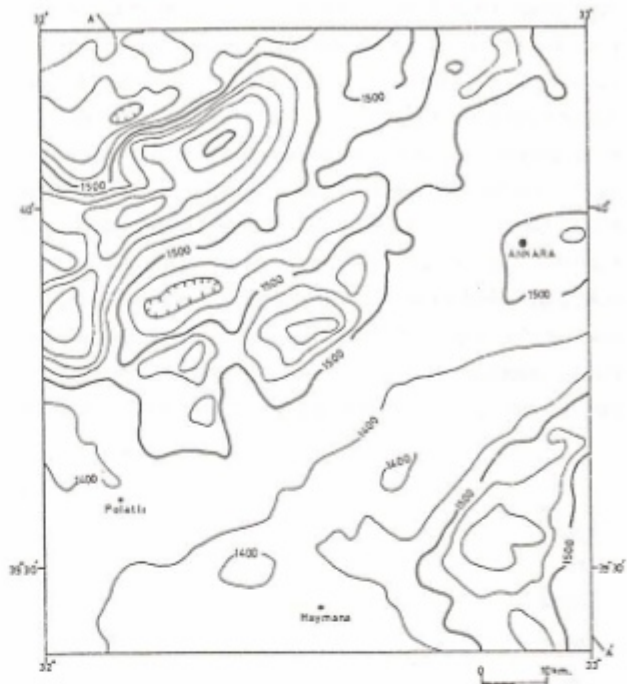
Şekil 5. Ankara-Polatlı Bölgesi Bouguer Gravite Anomali Haritası (Kontur Aralığı=5mGal).

Fig. 5. Bouguer gravity anomaly map of the Ankara-Polatlı region (Contour Interval=5mGal) .

8. yinelemede yaklaşımaktadır. Buna karşın, işlemdeki hata değeri büyümektedir (Şekil 4-B). Taban yapının üst derinlik değeri $Z_{dist}=3$ km seçildiğinde ise olası yapıya 7. yineleme sonucunda ulaşılmıştır (Şekil 4-C). Her üç sonuçta da görüldüğü gibi, saptanan olası yapılar kuramsal model yapıya oldukça uyumlu olup, yapının genel özelliğini yansıtmaktadır.

ANKARA-POLATLI BÖLGESİ GRAVİTE VE MANYETİK VERİLERİ ÜZERİNE UYGULAMALAR

Bölgemin Bouguer gravite anomali haritası (Şekil 5) M.T.A. Genel Müdürlüğü tarafından hazırlanmış 1/500.000 ölçekli Ankara ve Zonguldak paftalarından alınmıştır. Havadan Manyetik anomali haritası (Şekil 6) ise M.T.A. Genel Müdürlüğünce ~700 m uçuş yüksekliği ve 1 km uçuş aralıkları ile hazırlanmıştır. Ergün ve Sarı

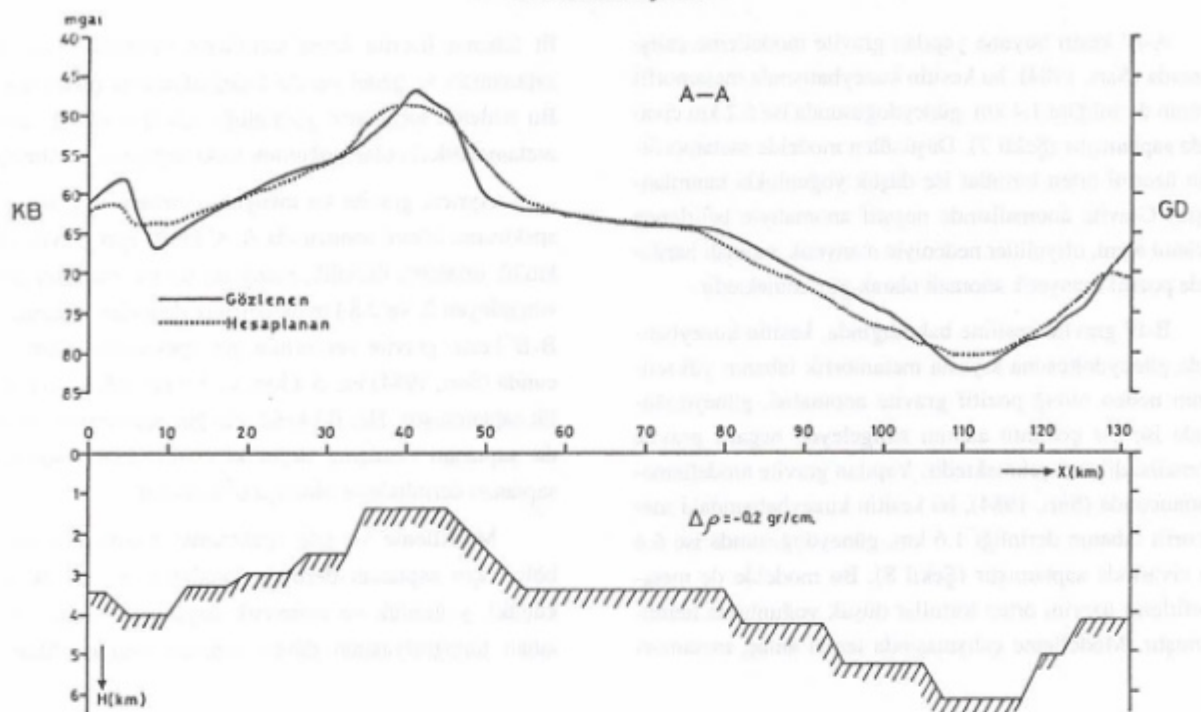


Şekil 6. Ankara-Polatlı Bölgesi Havadan Manyetik Anomali Haritası (Kontur Aralığı=100 nT).

Fig. 6. Aeromagnetic anomaly map of the Ankara-Polatlı region (Contour Interval=100 nT) .

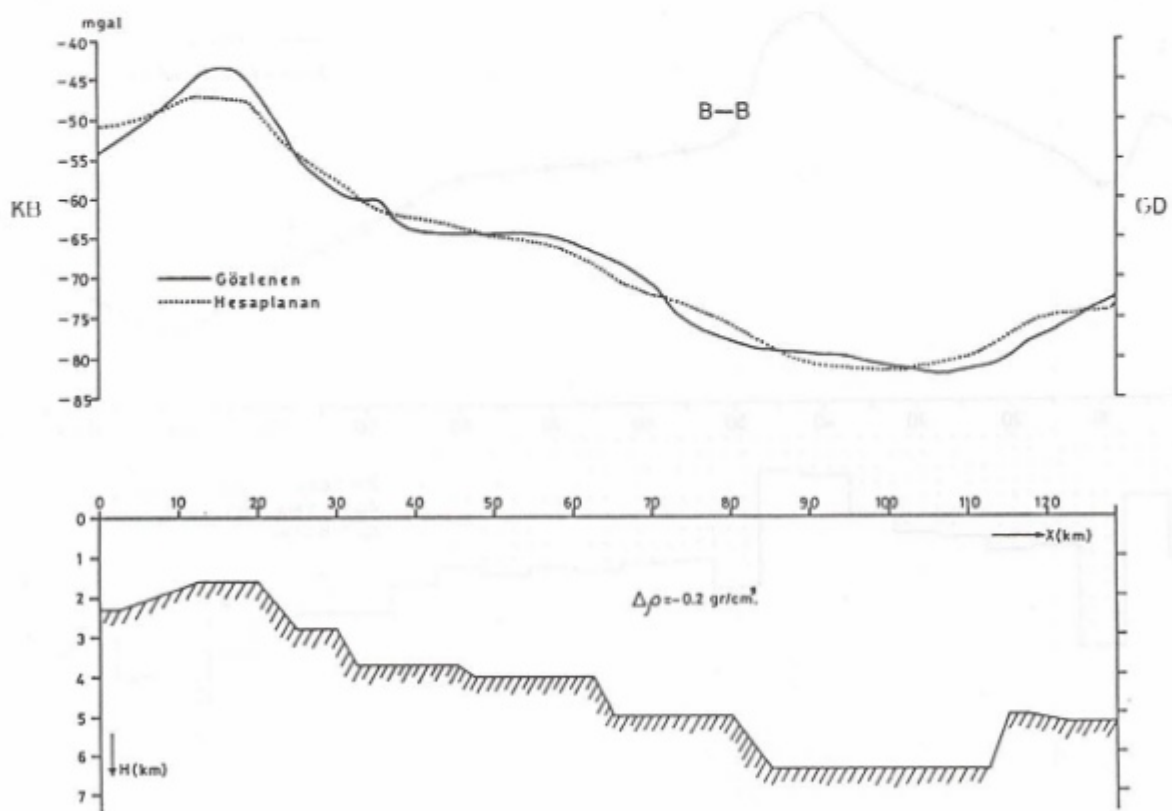
(1982), gravite ve manyetik verilere veri-işlem yöntemleri (trend analizi, süzgeçleme ve analitik uzanım işlemleri gibi) uygulayarak anomalide neden olan yeraltındaki yapıların etkilerini araştırmıştır. Sarı (1984), güç spektrumu uygulamasında ise anomallilere neden olan çeşitli derinliklerdeki yapıların ortalama derinliklerini istatistiksel bir yaklaşımla saptamaya çalışmış, edinin bilgilerin ışığında yaptığı kuramsal modelleme çalışmaları ile de bölgenin genel yeraltı topograflasını saptamayı amaçlamıştır. Bu çalışmada, taban topografyasının belirlenmesine ilişkin kuram gravite ve manyetik profil verilerine uygulanmış, saptanan bilgiler önceki çalışmalarını sonuçlarıyla karşılaştırılmıştır.

Bölgemin taban topografyasının saptanması amacıyla gravite ve manyetik anomali haritaları üzerinde bölgedeki KD-GB uzanımlı yapılara dik olarak A-A', Polatlı-Haymana çöküntüsünün uzanım eksenine koşut olarak da B-B' kesiti alınmıştır. Gravite anomali haritasına bakıldığında A-A' kesitinin güneydoğusunda negatif bir anomali belirgin olarak görülmektedir. Kesitin kuzeybatısında gözlenen nispeten pozitif anomali ise metamorfitlerin yükselimini karşılamaktadır.



Şekil 7. Ankara-Polatlı Bölgesi Bouguer Gravite A-A' Kesiti Modelleme Uygulaması (Sarı, 1984).

Fig. 7. Modelling application to the profile A-A' for the Bouguer gravity of the Ankara-Polatlı region (Sarı, 1984).



Şekil 8. Ankara-Polatlı Bölgesi Bouguer Gravite B-B' Kesiti Modelleme Uygulaması (Sarı, 1984).

Fig. 8. Modelling application to the profile B-B' for the Bouguer gravity of the Ankara-Polatlı region (Sarı, 1984).

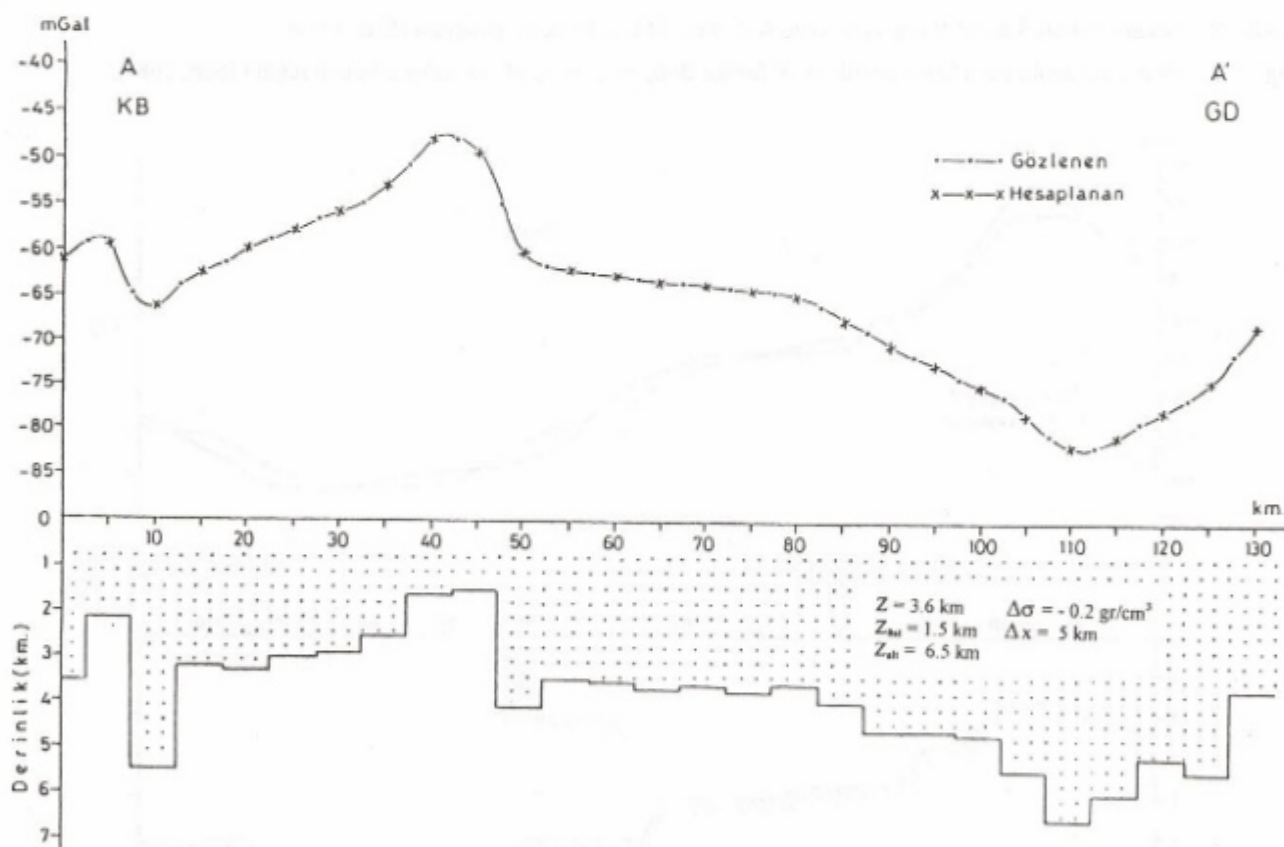
A-A' kesiti boyuna yapılan gravite modelleme çalışmasında (Sarı, 1984), bu kesitin kuzeybatısında metamorfit tabanın derinliğini 1.4 km, güneydoğusunda ise 6.2 km civarında saptamıştır (Şekil 7). Düşünülen modelde metamorfiterin üzerini örten tortullar ise düşük yoğunlukla tanımlanmıştır. Gravite anomalisinde negatif anomaliyle belirlenen çöküntü alanı, ofiyolitler nedeniyle manyetik anomali haritasında pozitif manyetik anomali olarak gözlenmektedir.

B-B' gravite kesetine bakıldığında, kesitin kuzeybatısında güneydoğusuna kıyasla metamorfik tabanın yükselişinin neden olduğu pozitif gravite anomali, güneydoğusunda ise bir çöküntü alanını simgeleyen negatif gravite anomali dikkat çekmektedir. Yapılan gravite modellemesi sonucunda (Sarı, 1984), bu kesitin kuzeybatısındaki metamorfit tabanın derinliği 1.6 km, güneydoğusunda ise 6.4 km civarında saptamıştır (Şekil 8). Bu modelde de metamorfiterin üzerini örten tortullar düşük yoğunlukla tanımlanmıştır. Modelleme çalışmasında temel amaç, metamor-

fit tabanın üzerini örten tortulların ortalama kalınlığının saptanması ve genel yeraltı topografyasının çıkarılmasıdır. Bu nedenle tortulların yoğunluğu tekdüze olarak alınmış, metamorfiterle olan yoğunluk farkı değişmez tutulmuştur.

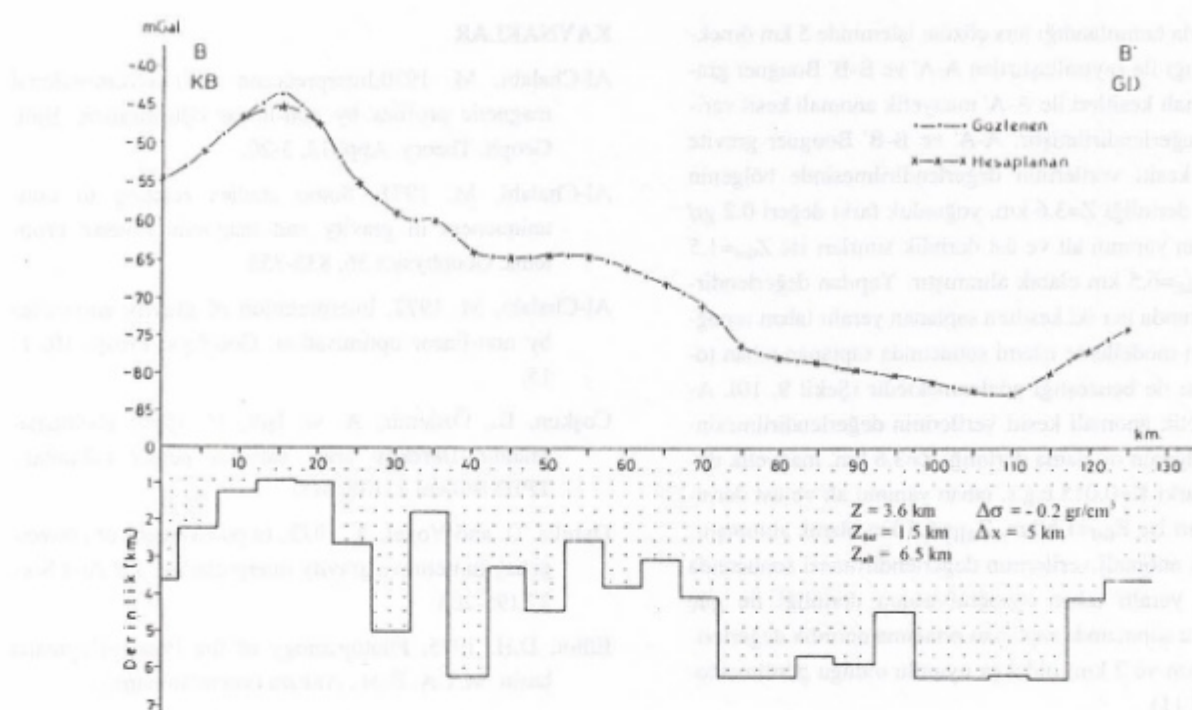
Ayrıca, gravite ve manyetik verilere uygulanan güç spektrumu işlemi sonucunda A-A' kesiti için gravite'de 2.7 km'lik ortalama derinlik, manyetik de ise yüzeysel etkileri simgeleyen 2. ve 2.8 km'lik derinlik değerleri bulunmuştur. B-B' kesiti gravite verilerinin güç spektrumu işlemi sonucunda (Sarı, 1984) ise, 5.4 km. ve 1.9 km. lik iki ayrı derinlik saptanmıştır. Her iki kesit için güç spektrumu sonucunda saptanın ortalama derinlikler modelleme sonucunda saptanın derinliklerle oldukça uyumludur.

Modelleme ve güç spektrumu işlemleri sonucunda bölge için saptanın derinlik (ortalama, en büyük ve en küçük), yoğunluk ve manyetik duyarlılık bilgileri yeraltı taban topografyasının düşey sonsuza uzanan dikdörtgen



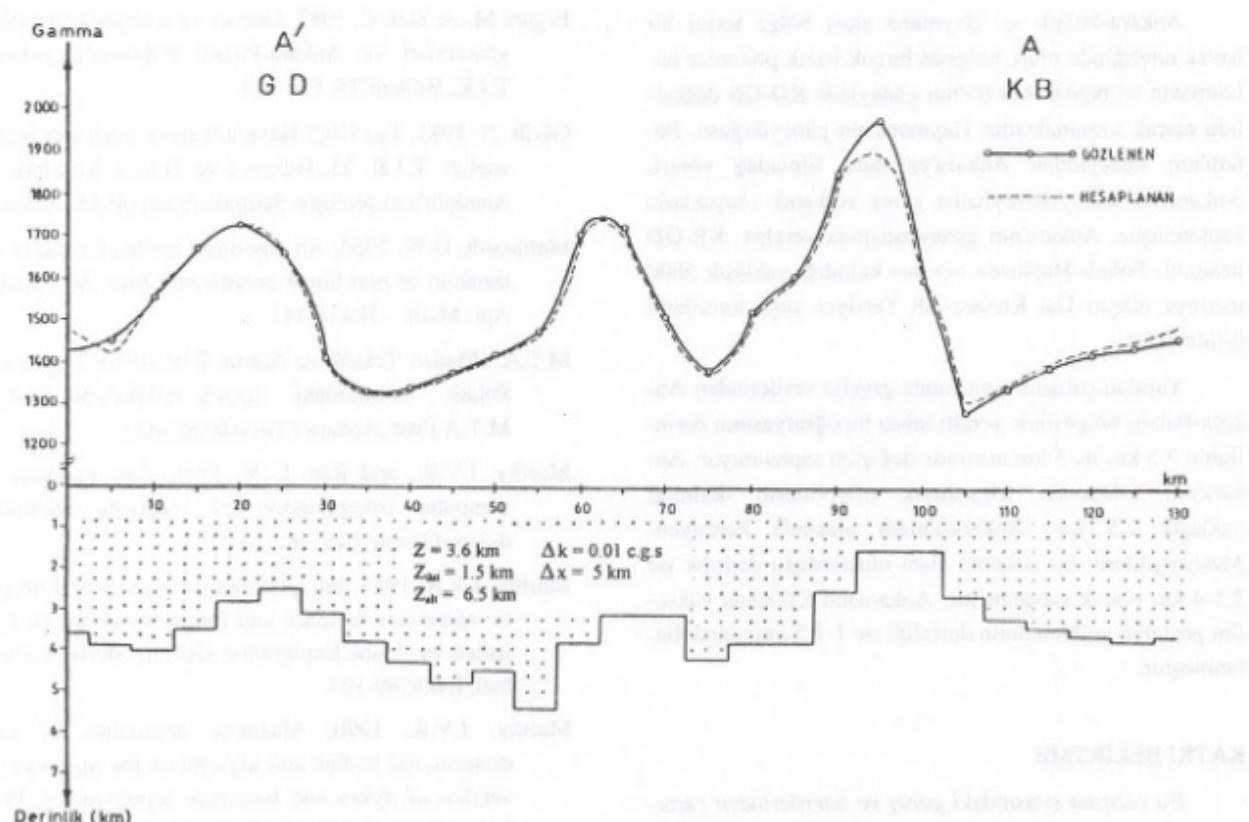
Şekil 9. Ankara-Polatlı Bölgesi A-A' Bouguer Gravite Anomali Kesitinden Saptanan Yeraltı Taban Topografyası.

Fig. 9. Determined subsurface basement topography for the A-A' Bouguer gravity profile of the Ankara-Polatlı region.



Şekil 10. Ankara-Polatlı Bölgesi B-B' Bouguer Gravite Anomali Kesitinden Saptanan Yeraltı Taban Topografyası.

Fig. 10. Determined subsurface basement topography for the B-B' Bouguer gravity profile of the Ankara-Polatlı region.



Şekil 11. Ankara-Polatlı Bölgesi A-A' Havadan Manyetik Anomali Kesitinden Saptanan Yeraltı Taban Topografyası.

Fig. 11. Determined subsurface basement topography for the A-A' aeromagnetic profile of the Ankara-Polatlı region.

prizmalarla tanımladığı ters çözüm işleminde 5 km ömek-leme aralığı ile sayısallaştırılan A-A' ve B-B' Bouguer gravite anomali kesitleri ile A-A' manyetik anomali kesit verileri ile değerlendirilmiştir. A-A' ve B-B' Bouguer gravite anomali kesiti verilerinin değerlendirilmesinde bölgenin ortalama derinliği $Z=3.6$ km, yoğunluk farkı değeri 0.2 gr/cm³, taban yapının alt ve üst derinlik sınırları ise $Z_{\text{alt}}=1.5$ km ve $Z_{\text{üst}}=6.5$ km olarak alınmıştır. Yapılan değerlendirme sonucunda her iki kesitten saptanan yeraltı taban topografyasının modelleme işlemi sonucunda saptanan taban topografyası ile benzeştiği gözlenmektedir (Şekil 9, 10). A-A' manyetik anomali kesiti verilerinin değerlendirilmesinde ise bölgenin ortalama derinliği $Z=3.6$ km, manyetik duyarlılık farkı $K=0.015$ c.g.s, taban yapının alt ve üst derinlik sınırları ise $Z_{\text{alt}}=1.5$ km, $Z_{\text{üst}}=6.5$ km olarak alınmıştır. Manyetik anomali verilerinin değerlendirilmesi sonucunda saptanan yeraltı taban topografyasının derinliği ile güç spektrumu sonucunda saptanan ortalama derinlik değerlerinin (2.8 km ve 2 km) oldukça uyumlu olduğu görülmektedir (Şekil 11).

SONUÇLAR VE TARTIŞMA

Ankara-Polatlı ve Haymana arası bölge tortul bir havza niteliğinde olup, bölgede birçok bazik plütonlar bulunmakta ve bunlar Ankara'nın güneyinde KD-GB doğrultulu olarak uzanmaktadır. Haymana'nın güneydoğusu, Polatlı'nın kuzeyinden Ankara'ya dek, Elmaçık yöresi, Ankara'nın kuzey-kuzeybatısı geniş volkanik oluşuklarla kaplanmıştır. Ankara'nın güneybatısında yer alan, KB-GD uzanımlı Polatlı-Haymana havzası kalınlığı yaklaşık 5800 metreye ulaşan Üst Kretase-Alt Tersiyer yaşı tortullarla örtülüdür.

Yapılan çalışma sonucunda gravite verilerinden Ankara-Polatlı bölgesinde yeraltı taban topografyasının derinliğinin 3.5 km ile 5 km arasında değiştiği saptanmıştır. Ankara'nın GD'sunda Mesozoyik ofiyolitlerin derinliği yaklaşık 2.5 km, Ankara-Polatlı arasında Permyen-Mesozoyiklerin bir çöküntü alanı oluşturduğu derinlik ise 3.5-4 km olarak saptanmıştır. Ankara'nın KB'sında yükselen gösteren volkaniklerin derinliği ise 1-1.5 km olarak bulunmuştur.

KATKI BELİRTME

Bu çalışma sırasındaki görüş ve önerilerinden yararlandığımız Sayın Prof.Dr. Mustafa ERGÜN'e ve bölgenin jeolojik yorumundaki katkıları için Jeoloji Yük.Müh. İbrahim GÜNDÖĞAN'a teşekkür ederiz.

KAYNAKLAR

- Al-Chalabi, M. 1970, Interpretation of two-dimensional magnetic profiles by non-linear optimisation. Bull. Geoph. Theory. Appl 12, 3-20.
- Al-Chalabi, M. 1971, Some studies relating to non-uniqueness in gravity and magnetic inverse problems. Geophysics 36, 835-855
- Al-Chalabi, M. 1972, Interpretation of gravity anomalies by non-linear optimisation. Geophys. Prosp. 10, 1-15.
- Coşkun, B., Özdemir, A. ve İşık, V. 1990, Haymana-Mandıra-Dereköy arası sahanın petrol imkanları. TPJD Bülteni 2, 135-143.
- Dyrelis, D. and Vogel, A. 1972, Improvement of convergence in iterative gravity interpretation. J.R.Astr.Soc. 27, 195-205.
- Elliot, D.H. 1975, Photogeology of the Polatlı-Haymana basin. M.T.A. Enst., Ankara (yayınlanmamış).
- Erentöz, C. ve Pamir, H.N. 1975, 1/500.000 ölçekli jeolojik harita ve izahnamesi (Ankara). M.T.A. Enst. Yayınları, Ankara.
- Ergün, M. ve Sarı, C. 1982, Gravite ve manyetik veri işlem yöntemleri ve Ankara-Polatlı bölgesinin yorumu. T.J.K. Bülteni 25, 137-142.
- Görür, N. 1981, Tuz Gölü-Haymana havzasının stratigrafik analizi. T.J.K. 35. Bilimsel ve Teknik Kurultayı, İç Anadolu'nun Jeolojisi Sempozyumu, 60-65, Ankara.
- Marquardt, D.W. 1963, An algorithm for least-squares estimation of non-linear parameters. Jour. Soc. Indust. Apl. Math. II, 431-441
- M.T.A. (Maden Teknik ve Arama Enst.) 1976, Haymana - Polatlı basenindeki sismik refleksiyon etüdleri. M.T.A. Enst., Ankara (Yayınlanmamış).
- Murthy, I.V.R., and Rao, C.W. 1973, Two methods for computer interpretation of magnetic anomalies dykes. Geophysics 38, 710-718
- Murthy, I.V.R. 1989, Interpretation of gravity and magnetic anomalies in space and frequency domains. Published by Assoc.Exploration Geophysicists Hyderabad, India, 89-104
- Murthy, I.V.R. 1990, Magnetic anomalies of two-dimensional bodies and algorithms for magnetic inversion of dykes and basement topographies. Proc. Indian Acad. Sci.(Earth Planet) 99, 4, 549-579.
- Murthy, I.V.R., and Rao, S.J. 1989, A FORTRAN 77 program for inverting the gravity anomalies of two-

- dimensional basement structures. Computers & Geosciences 15, 1149-1159
- Murthy, I.V.R. ,and Krishnamacharyulu, S.K.G. 1990a, Automatic inversion of gravity anomalies of faults. Computers & Geosciences 16, 539-548.
- Murthy, I.V.R., and Krishnamacharyulu,S.K.G.1990b, A FORTRAN 77 program to invert gravity anomalies of sheet-like bodies. Computers&Geosciences 16,991-1001.
- Murthy, I.V.R. and.Rao, P.R.1993, Inversion of gravity and magnetic anomalies of two dimensional polygonal cross section. Computers&Geosciences 19, 1213-1228
- Pedersen, L.B. 1997, Interpretation of potential field data . A generalized inverse approach. Geophys. Prosp. 25,199-230
- Rao, B.S.R. and Murthy, I.V.R. 1978, Gravity and magnetic methods of prospecting. Arnold-Heinemann (India) Pvt .Ltd., AB/9 Safdar jang Enclave, New Delhi, 390 p
- Reckamp, I.U.ve Özbeý, S.1960, Petroleum geology of Temelli and Kuuştepe structures, Polatlı area, Petrol İşleri Gen.Müd., Ankara(Yayınlanmamış).
- Sarı, C. 1984,Ankara-Polatlı bölgesi potansiyel alan verilerinin veri-islem yöntemleriyle yorumu. D.E.Ü. Fen Bilimleri Enstitüsü Yüksek Lisans Tezi (Yayınlanmamış).
- Schmidt, G.C. 1960, AR/MEM/365-366-367 sahalarının nihai terk raporu. Petrol İşleri Gen.Müd., Ankara(Yayınlanmamış).
- Talwani, M., Worzel, L. and. Landisman, M. 1959, Rapid gravity computation for two dimensional bodies with applications to the Menocino Submarine fracture zone. Jour.of Geophys.Res. 64, 49-59
- T.G.O.(Turkish Gulf Oil Co.) 1959, Seismic survey Polatlı project, Polatlı-Turkey. Petrol İşleri Gen.Müd., Ankara(Yayınlanmamış)
- Ünalan, G. Yüksel, V.,Tekeli, T.,Gönenç O.,Seyirt, Z. ve Hüseyin, S. 1976, Haymana-Polatlı yörensinin (güneybatı Ankara) Üst Kretase-Alt Tersiyer stratigrafisi ve paleocoğrafik evrimi. T.J.K. Bülteni 19, 159-176.
- Ünalan, G, ve Yüksel, V. 1978, Eski bir graben örneği; Haymana-Polatlı havzası. T.J.K.Bülteni 21, 165-169.

Yerel manyetik alanının ölçümü Magsat uydusunun verileri kullanılarak yapılmıştır. Aşağıda Magsat uydusunun verileri kullanılarak hazırlanan manyetik haritaları ve bu haritaların yapıldığı yöntemlerin detayları yer almaktadır.

TÜRKİYE MAGSAT VERİLERİ VE YORUMU

Magsat Data of Turkey and its Interpretation

Müjgan ŞALK* ve Mustafa ERGÜN*

İzmir Teknik Üniversitesi Mühendislik Fakültesi Jeofizik Bölümü, Izmir-Turkey
*Dokuz Eylül Üniversitesi Mühendislik Fakültesi Jeofizik Bölümü, Bornova-Izmir-Turkey

ÖZET

Yerneyetik alanın X (Kuzey), Y (Doğu), Z (Düşey) ve Toplam bileşeni enlem, boylam ve radyal uzaklıklık birlikte Magsat uydusu vasıtıyla ölçülebilir. Magsat haritaları uydudan ölçülen değerlerden çekirdeğin ve dış kaynaklı alanın etkisi çıkarılarak hazırlanmaktadır. Türkiye'nin uydu manyetik haritaları 25°-45° doğu boyamları ve 35°-45° kuzey enlemlerini kapsayan bölge için British Geologic Survey'den elde edilen Uydu Manyetik verileri kullanılarak hazırlanmıştır. İki kıtasal bölge Batı ve Doğu Türkiye de farklı genlikli manyetik anomaliler görülmektedir. Doğu Türkiye'de kabuğun daha kalın olmasına bağlı olarak Batı Türkiye'ye göre daha yüksek genlikli manyetik anomaliler görülmektedir. Türkiye düşey bileşen Uydu manyetik haritası süzgeçlenerek kısa dalga boyu anomaliler giderilmiş ve kuramsal kabuk modelleri kullanılarak Türkiye'nin kabuk yapısı incelenmeye çalışılmıştır.

Ülkemizdeki manyetik alanının ölçümü Magsat uydusunun verileri kullanılarak yapılmaktadır. Bu çalışma Magsat uydusunun verilerini kullanılarak Magsat haritaları hazırlayan ve bu haritaları inceleyen bir çalışma olmaktadır. Bu çalışma Magsat uydusunun verilerini kullanılarak Magsat haritaları hazırlayan ve bu haritaları inceleyen bir çalışma olmaktadır.

Ülkemizdeki manyetik alanının ölçümü Magsat uydusunun verileri kullanılarak yapılmaktadır. Bu çalışma Magsat uydusunun verilerini kullanılarak Magsat haritaları hazırlayan ve bu haritaları inceleyen bir çalışma olmaktadır. Bu çalışma Magsat uydusunun verilerini kullanılarak Magsat haritaları hazırlayan ve bu haritaları inceleyen bir çalışma olmaktadır.

ABSTRACT

Geocentric X(North), Y(East) and Z(Radial inward) component of geomagnetic field and total intensity together with the geocentric latitude, longitude and radial distance are measured from Magsat spacecraft. Magsat maps were prepared by subtracting the external and main field from Magsat data. Magsat maps of Turkey prepared using Magsat data obtained from British Geological Survey covering the area between 25°-45° E longitudes and 35°-45° N latitudes. The two continental regions, in western and eastern Turkey were indicated on the magnetic anomalies having different magnitudes. High positive magnetic values might be related to thick crust in eastern Turkey in comparison with western Turkey. Short wavelength anomalies were eliminated on the vertical component of Magsat data of Turkey through filtering, and the structure of continental crust of Turkey was tried to be investigate using the theoretical crust models.

GİRİŞ

Yerneyetik alanı başlıca dört kaynaktan oluşan alanın toplamıdır: Çekirdek, Curie isotermi üzerindeki kabuk, ionosphere ve magnetosphere (Zeitz ve Andreasen 1970, Langel 1974, Langel ve dig. 1980a). Dünya ölçüğünde manyetik haritaların hazırlanması klasik aeromanyetik ölçümle zordur ve dolayısıyla uydu ölçümünden yararlanmaya çalışılmaktadır. MAGSAT uydusu da bu amaç için hazırlanmış uydulardan biridir. MAGSAT verileri yaklaşık 350-550 km yüksekliğinde ölçülen skaler ve vektörel manyetik verileri içerir. Uydu yüksekliğinde sadece kabuk alanını ortaya çıkarmak zordur. Kabuk manyetik anomali-

çümleri zordur ve dolayısıyla uydu ölçümünden yararlanmaya çalışılmaktadır. MAGSAT uydusu da bu amaç için hazırlanmış uydulardan biridir. MAGSAT verileri yaklaşık 350-550 km yüksekliğinde ölçülen skaler ve vektörel manyetik verileri içerir. Uydu yüksekliğinde sadece kabuk alanını ortaya çıkarmak zordur. Kabuk manyetik anomali-

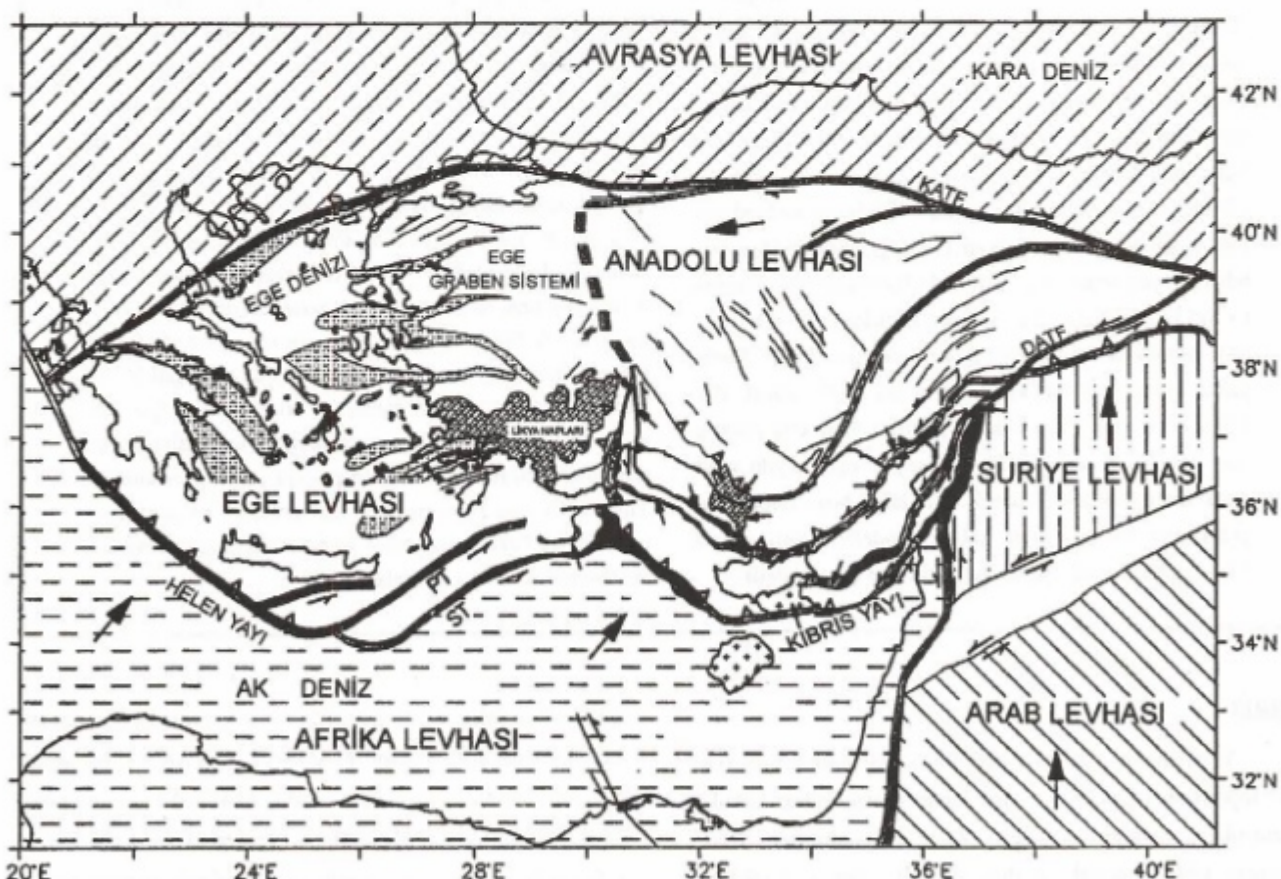
* Dokuz Eylül Üniv., Müh. Fak., Jeofizik Bölümü, Bornova-Izmir.

leri uydudan ölçülen toplam skaler manyetik alandan çekirdek ve dış alanın çıkarılmasıyla elde edilir. Uydu manyetik anomalilerinin yorumu anomalilerin kaynağının Moho ve Curie isotermleri üzerinde meydana geldiği varsayılarak yapılmaktadır (Wasilewski ve diğ. 1979).

Prensip olarak alt kabuk tabakalarının süseptibilite değerleri büyüktür (Hall 1974). Bu nedenle kıtalardaki yüksek değerli manyetik anomaliler ya derin Curie isotermleri kalın bir kabuğu ya da alt kabukta sıradışı yüksek manyetik süseptibiliteyi veya her ikisini birden gösterir. Kıtalardaki düşük değerli manyetik anomaliler ise sıçan Curie isotermleri (yüksek ısı akışı) göreceli ince bir kabuğu ve alt kabuktaki düşük süseptibiliteyi gösterir. Okyanus manyetik anomalileri regional kabuk kalınlığını ve süseptibilite farklılıklarını gösterir. Uydu manyetik anomalileri jeolojik ve tektonik yapılarla ilişkilidir. Kıtalarda elde edilen manyetik anomaliler okyanuslardakine göre daha pozitif ve değişkendir. Okyanus havzaları ve Abisal düzler negatif anomali, deniz altı platoları, dalma-batma zonları, okyanus

ortası sırtlar pozitif manyetik anomaliler göstermektedir.

Genel olarak Türkiye, Alp-Akdeniz orojenik kuşağı içinde yer almaktadır. Türkiye'nin güncel tektoniği Afrika, Arap ve Avrasya levhaları arasındaki dalma-batma, çarışma ve levha sınırlarına uygulanan, kuvvetler ve bunlara bağlı olarak gelişen levha içi deformasyonlarla kontrol edilmektedir. Doğu Türkiye'de Arap plakasının Anadolu plakası ile çarşımı sonucu ortaya çıkan sıkışma tektoniği ve bu hareketin sonucu olarak Bitlis-Zagros zonundan itibaren Anadolu levhasının batı'ya hareketi, Batı'da Hellen hendeği boyunca Afrika levhasının KB yönünde dalması ve bu hareketlerin sonucu olarak ortaya çıkan gerilme tektoniği görülmektedir (Şekil 1). Türkiye'deki sıkışma, genişleme ve doğrultu atımlı hareketlerin neden olduğu bu aktif deformasyon kabuk kalınlığının değişimine, sıçan odaklı ve orta şiddetli depremlere, volkanik aktiviteye ve yüksek ısı akısına neden olmaktadır (Canitez 1969, Papazachos ve Comninakis 1977). Türkiye'deki Magsat anomalileri de jeolojik ve teknotik yapılarla ilişkilidir.



Şekil 1. Türkiye ve Doğu Akdeniz'in genel teknotik haritası (Aksu ve diğ. 1992'den derlenmiştir).

Fig. 1. General tectonic map of Turkey and the Eastern Mediterranean.

Türkiye Magsat anomalileri de Türkiye'nin genel jeolojisini ve tektoniğini yansımaktadır. Batı Türkiye'de açılma tektoniği nedeniyle gelişen aktif faylanma ve volkanizmaya bağlı olabilecek pozitif manyetik anomaliler, doğu Türkiye'de sıkışma tektoniği nedeniyle kabuk kalınlaşmasına ve volkanizmaya bağlı olabilecek pozitif manyetik anomaliler, Toros kuşağında sediment birikimine bağlı olabilecek negatif anomaliler, Doğu Karadeniz'de kabuğun yarı okyanusal olması nedeniyle negatif manyetik anomaliler görülmektedir.

MAGSAT VERİLERİNİN ELDE EDİLMESİ

Magsat uydusunun başlıca görevi yerin çekirdeği içerisinde oluşan manyetik alanın zamanla değişiminin modelini geliştirmek, kabuğun manyetizasyonunun vektör karakteristiğini ve manyetik alan şiddetindeki değişimleri haritalamaktır. Uydu manyetometre gözlemleri klasik aeromanyetik çalışmalarдан elde edilemeyen yüzlerce veya binlere kilometrelük litosferik bölgelerin manyetik özelliklerini tanıtmaya izin verir. Bu bölgeler global olarak tanımlanan ve belirlenen geçmiş ve güncel jeodinamik dahil yerin tarihini yorumlamaya yararlı bilgiler sağlar. Magsat uzay aracı 1967-1979 yılları arasında John Hopkins uygulamalı fizik labaratuvarı tarafından tasarlanıp geliştirilmiştir. Magsat uzay aracı 30 Ekim 1979 tarihinde, iniklinasyon açısı 96.76° , yörüngenin dünyaya en yakın noktasına (perigee) 352 km, yörügenin dünyaya en uzak noktasına (apogee) 561 km olan yörüngeye yerleştirildi. Uzay aracı alet modülü ve ana modül olmak üzere bağımsız iki modül içermektedir. Alet modülü uzay aracının dünya ve ufka göre meyilini saptama sistemini, vektör manyetometresi eksen saptırma sistemini ve manyetometre bölümünün sonuna yerleştirilen alet platformunu içerir. Ana modülü manyetik veriyi sürekli kaydedebilecek teyp kayıtçalarını, telemetri/transponder iletişim sistemini ve güç sistemlerini içermektedir (Langel ve Estes 1982).

Cesium Vapor tipindeki skaler manyetometre, Ball Brothers ve Varian Associates (Kanada) tarafından tasarlanmıştır (Lancaster ve diğ. 1980). Fluxgate tipindeki vektör manyetometresi ise Goddard uzay uçuş merkezi tarafından tasarlanmıştır (Acuna ve diğ. 1978). Magsat uzay aracından manyetik alanın X(Kuzey), Y(Doğu), Z (Düşey) ve F (Toplam) bileşenleri ölçülmüştür. Dünya skaler anomali haritaları Langel ve diğ. (1982b) ve Coles ve diğ. (1982) tarafından hazırlanarak yayınlanmıştır.

TÜRKİYE MAGSAT VERİLERİNİN İRDELENMESİ

Türkiye uydu manyetik verileri 25° - 45° doğu boyamları 35° - 45° kuzey enlemlerini kapsar. Veriler 30' örnekleme aralığı kullanılarak X (Kuzey), Y(Doğu), Z (Düşey) ve F (Toplam) bileşenleri olmak üzere haritalanmıştır (Şekil 2,3,4,5).

Uydu manyetik verilerinin düşey bileşeni yüzey jeolojisine bağlı olarak değişen çok kısa dalgı boylu hızlı değişen anomalileri yok etmek için 30' örnekleme aralığı ve 0.1, 0.2, 0.3 (devir/veri aralığı) kesme frekansına sahip alçak geçişli süzgeçlerden geçirilmiştir (Şekil 6,7,8).

Türkiye üzerindeki manyetik anomalilerin dağılımının düzensiz olduğu görülmektedir (Şalk 1994). Uydu yönlüğünün etkisi de gözönünde bulundurularak genel trendin G-K yönünde olduğu söyleyenbilir (Şekil 2,3,4,5). Pozitif manyetik anomaliler Ege denizinde, Kuzey Ege'de, Batı Türkiye'deki masifler (Menderes, Gediz, Kazdağ, Uludağ) üzerinde görülmektedir. Bu anomaliler buradaki magmatik ve granitik sokullarla ve dalma-batma sırasında gelişen iki fazlı volkanizmanın batı Türkiye'de de devam etmesi sonucu olabilir (Fytikas ve diğ. 1984). Karadeniz üzerinde de kabuğun kalın bir sediman tabakası içermesi ve yarı okyanusal olması ile ilişkili olabilecek negatif anomaliler görülmektedir. Kuzey Anadolu Fayının (KAF) kuzeyinde (Pontid bloğu) granitik sokullar ve kuzey Türkiye'deki KAF ile ilişkili volkanizmaya bağlı olabilecek pozitif manyetik anomaliler görülmektedir.

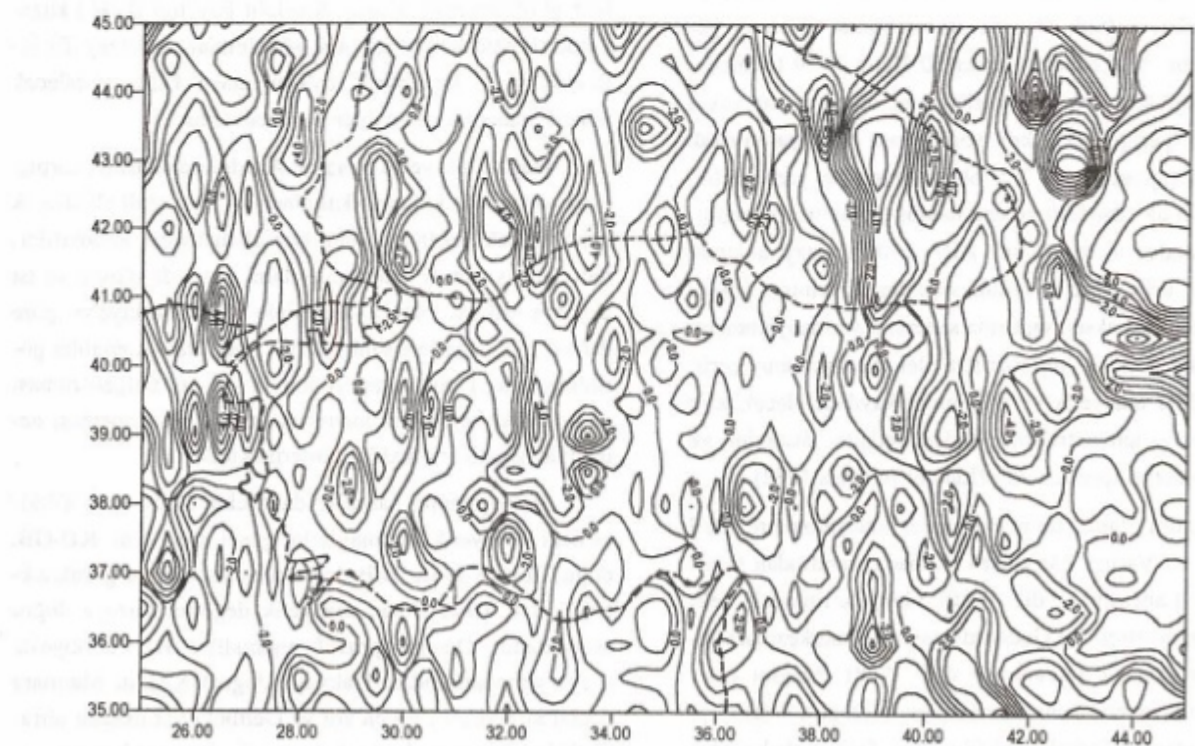
Doğu Türkiye'de Arap ve Anadolu plakasının çarpışması sonucunda kabuğun kalınlaşması ile ilişkili olabilecek daha yüksek değerlere sahip pozitif manyetik anomaliler, batı Türkiye'de de mantonun daha yüzeyde olması ve ısı akışının yüksek olması nedeniyle doğu Türkiye'ye göre daha düşük değerlere sahip pozitif manyetik anomaliler görülmektedir. Toros kuşağı sediment yığışım bölgesi olması ve buradaki kayaçların manyetik özellik göstermemesi nedeniyle negatif anomaliler göremektedir.

Süzgeçlenmiş haritalar da (Şekil 6,7,8) batı Türkiye'deki manyetik anomalilerin genel trendinin KD-GB, doğu Türkiye'de ise D-B doğrultusunda olduğu görülmektedir. Batı Türkiye'deki manyetik değerler kuzeye doğru artmaktadır. Önemli pozitif anomaliler KB Türkiye'de (Biga yarımadasından Trakyaya doğru) KAF'in Marmara denizi kuzeyinden geçen kol ve Gelibolu yarımadası ultramafikleri üzerinde, İzmir-Ankara ofiyolit zonu boyunca ve Doğu Türkiye'de görülmektedir. KB Türkiye'deki bu manyetik anomaliler genişleme tektoniği nedeniyle gelişen



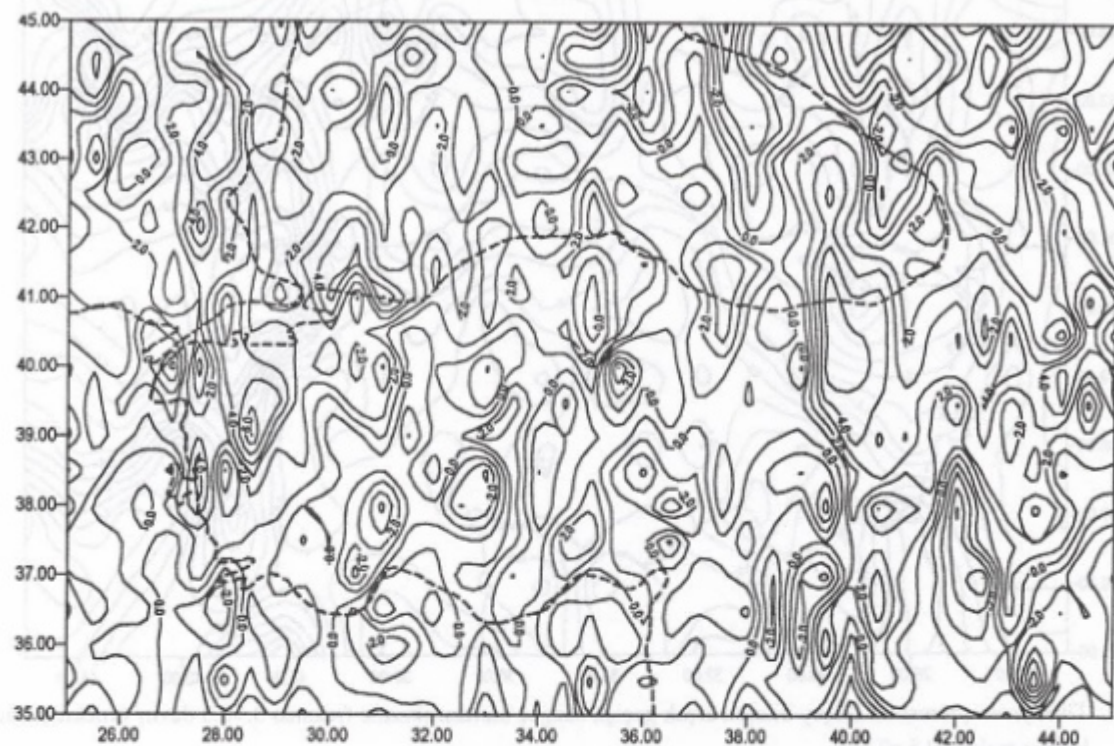
Şekil 2. Türkiye ve çevresinin kuzey (X) bileşen Magsat anomali haritası (Kontur aralığı: 1 nT)

Fig. 2. North (X) component Magsat anomaly map for Turkey and surrounding regions (Contour interval: 1 nT).



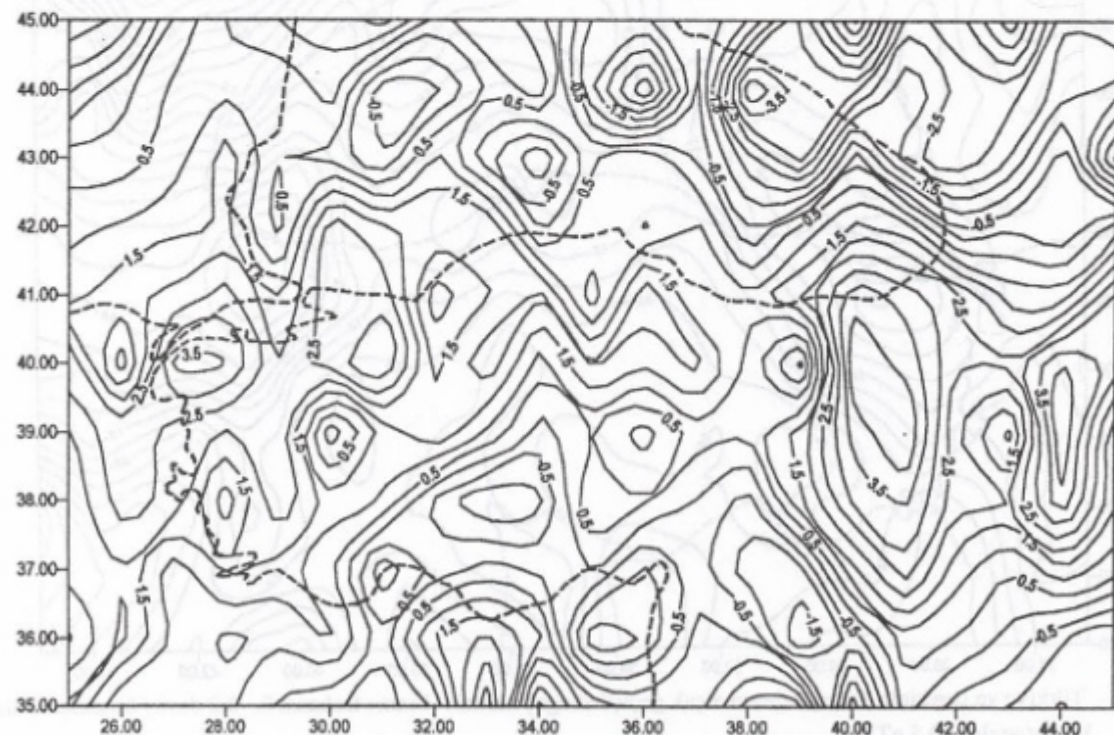
Şekil 3. Türkiye ve çevresinin doğu (Y) bileşen Magsat anomali haritası (Kontur aralığı: 1 nT).

Fig. 3. East (Y) component Magsat anomaly map for Turkey and surrounding regions (Contour interval: 1 nT).



Şekil 4. Türkiye ve çevresinin düşey bileşen Magsat anomali haritası (Kontur aralığı: 1 nT).

Fig. 4. Vertical component Magsat anomaly map for Turkey and surrounding regions (Contour interval : 1 nT).



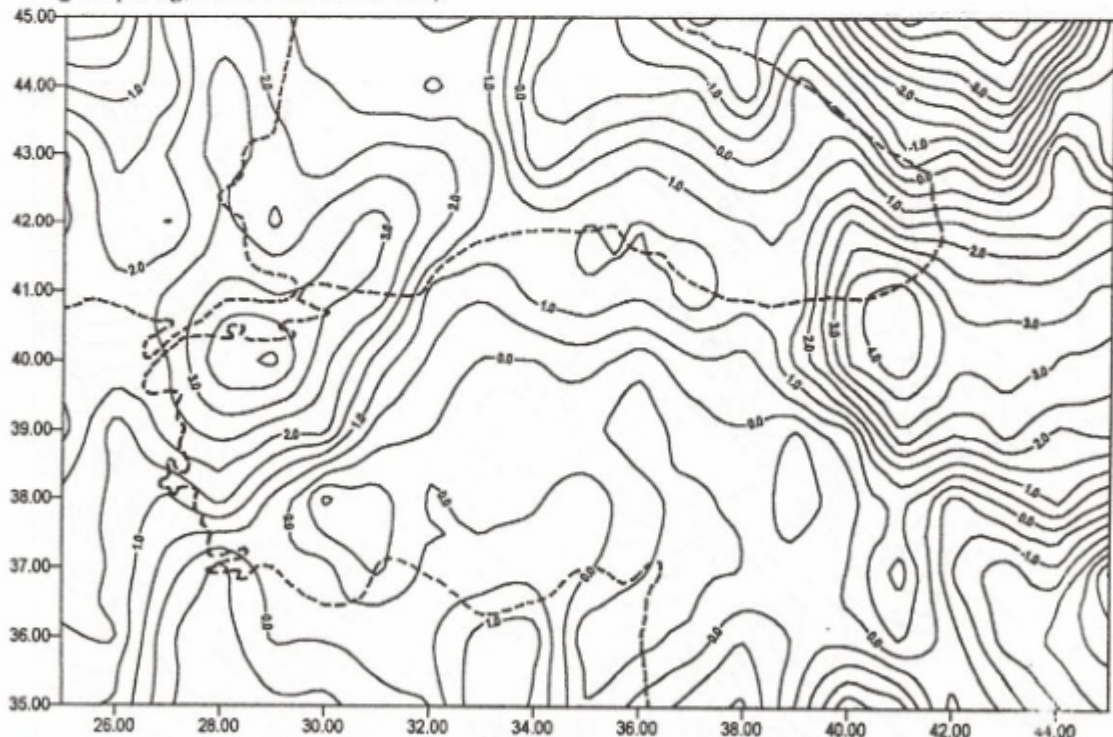
Şekil 5. Türkiye ve çevresinin toplam alan Magsat anomali haritası (Kontur aralığı: 0.5 nT).

Fig. 5. Total component Magsat anomaly map for Turkey and surrounding regions (Contour interval 0.5 nT).



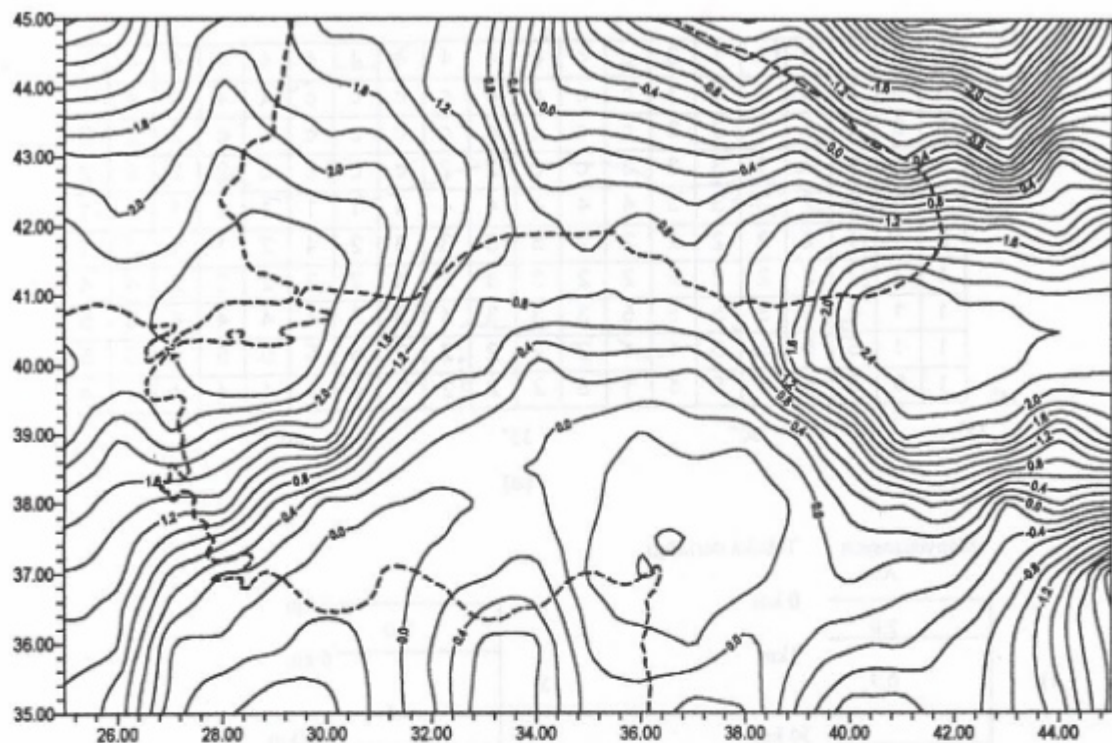
Şekil 6. Türkiye ve çevresinin Düşey bileşen alçak geçişli süzgeç haritası (kesme frekansı 0. -0.3 devir/ örneklemme aralığı, kontur aralığı: 0.5 nT).

Fig. 6. Low pass filtered anomaly map of the vertical component Magsat anomaly map (Cut-off frequency 0. -0.3 cycle/ grid spacing, Contour interval 0.5 nT).



Şekil 7. Türkiye ve çevresinin Düşey bileşen alçak geçişli süzgeç haritası (kesme frekansı 0. -0.2 devir/ örneklemme aralığı, kontur aralığı: 0.5 nT).

Fig. 7. Low-pass filtered anomaly map of the vertical component Magsat anomaly map (Cut-off frequency 0. -0.2 cycle/ grid spacing, Contour interval 0.5 nT).



Şekil 8. Türkiye ve çevresinin Düşey bileşen alçak geçişli süzgeç haritası (kesme frekansı 0. -0.1 devir/ örneklemme aralığı, kontur aralığı: 0.2 nT).

Fig. 8. Low-pass filtered anomaly map of the vertical component Magsat anomaly map (Cut-off frequency 0. -0.1 cycle/ grid spacing, Contour interval 0.2 nT).

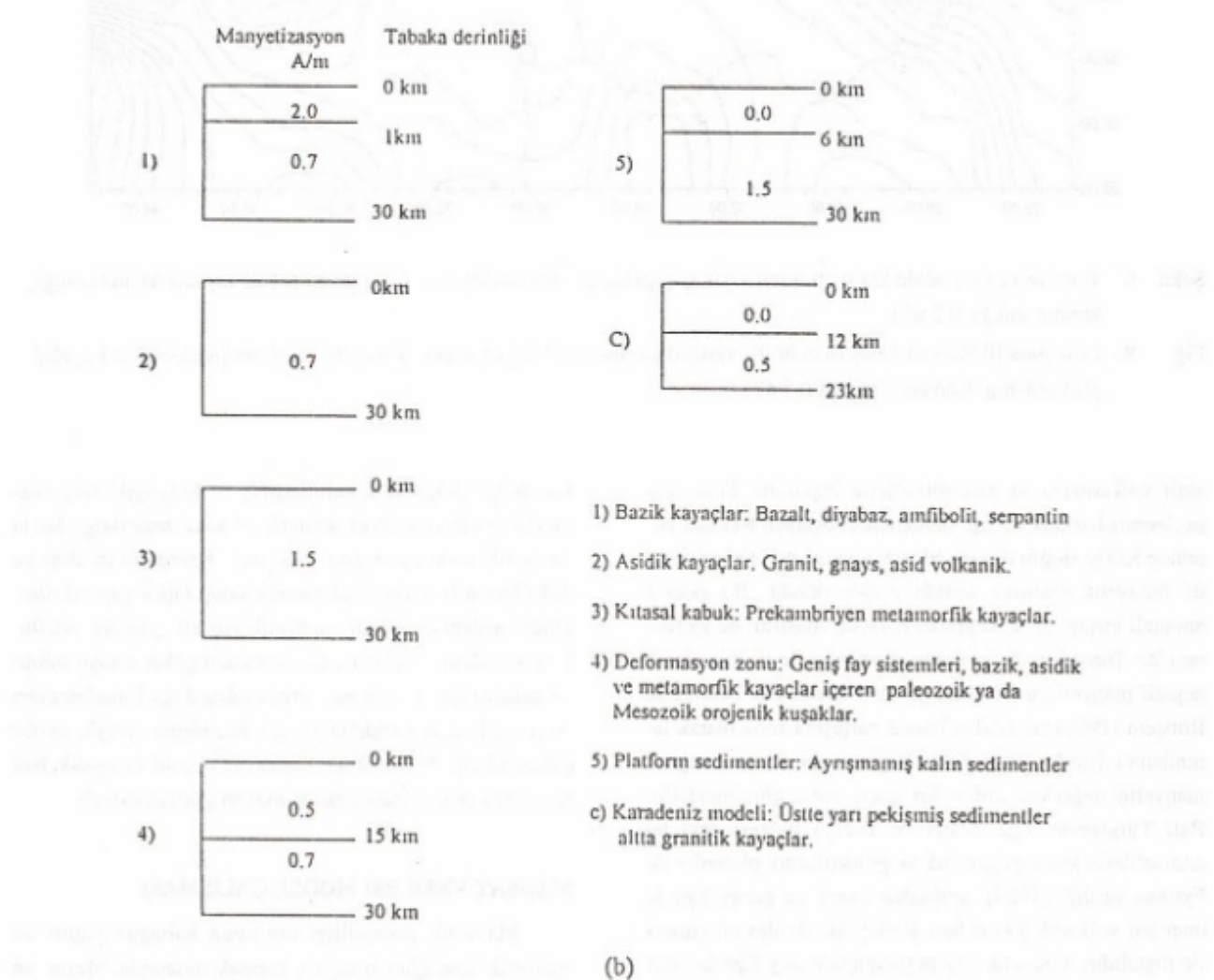
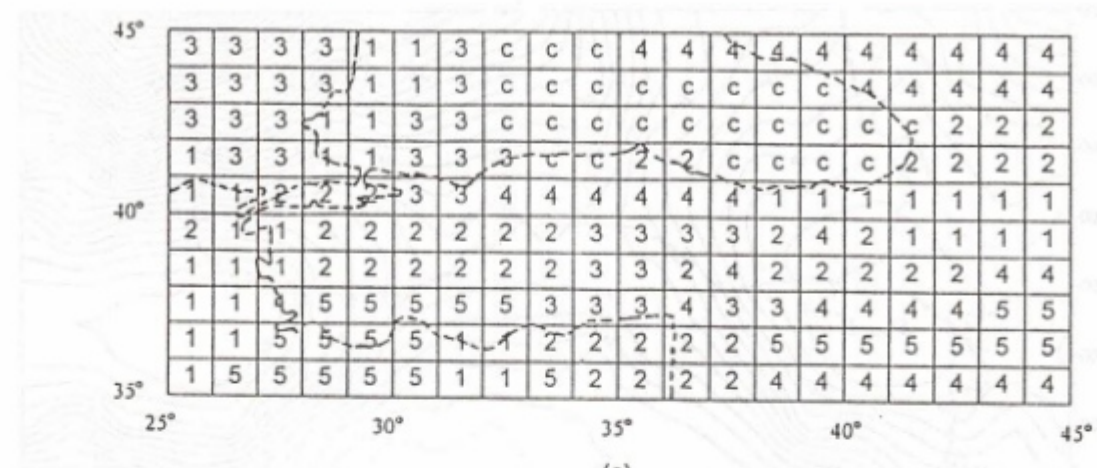
aktif volcanizma ve gronodioritlerle ilişkilidir. Tüm süzgeçlenmiş haritalarda Ege denizinden başlayan KD-GB yönünde KD'ya doğru devam eden KAF zonunu izleyen pozitif manyetik anomali kuşağı görülmektedir. Bu pozitif anomali kuşağının güneyinde, Kırşehir masifini de içerisinde alan Toros kuşağı karbonat platformu ile ilişkili olarak negatif manyetik anomaliler görülmektedir. GB Türkiye'de Rotstein (1985) tarafından kıtasal çarpışma zonu olarak tanımlanan Burdur Fay Zonu boyunca pozitifden negatif manyetik değerlere doğru bir geçiş zonu görülmektedir. Batı Türkiye'de, Ege denizi ve Trakya bölgesindeki bu anomalilerin kaynağı granitik ve granodioritik plütonlar ile Fytikas ve dig. (1984) tarafından kuzey ve güney Ege'de önerilen volkanik yayın batı Türkiye'de de devam etmesi ile ilişkilidir. Volkanik yay başlangıçta kuzey Ege'de aktif olup daha sonra güney'e doğru kaymaya başlamıştır. Bu yay dalma-batma zonunun hala aktif olduğunu ifadesi olarak kabul edilmektedir.

Kıbrıs üzerinde ve Antalya körfezinde ofiyolitlerle ilişkili olarak pozitif anomaliler görülmektedir. Doğu Tür-

kiye bölgesinde kabuk kalınlaşması ve bölgedeki volcanizmayla ilişkili olabilecek şiddetli ve daha uzun dalga boylu manyetik anomaliler görülmektedir. Karadeniz'in Batı ve doğu havzaları okyanusal kabuğa sahip farklı yapısal özellikleri nedeniyle farklı manyetik özellik göstermektedir. Batı Karadeniz deform olmamış kalın çökel örtüye sahiptir, daha az kalınlıkta çökel örtüye sahip doğu Karadeniz'den incelmiş kıtasal kabuktan oluşan Karadeniz sırtıyla ayrılmış (Okay ve dig. 1995). Doğu Karadeniz negatif manyetik, batı Karadeniz pozitif manyetik anomaliler göstermektedir.

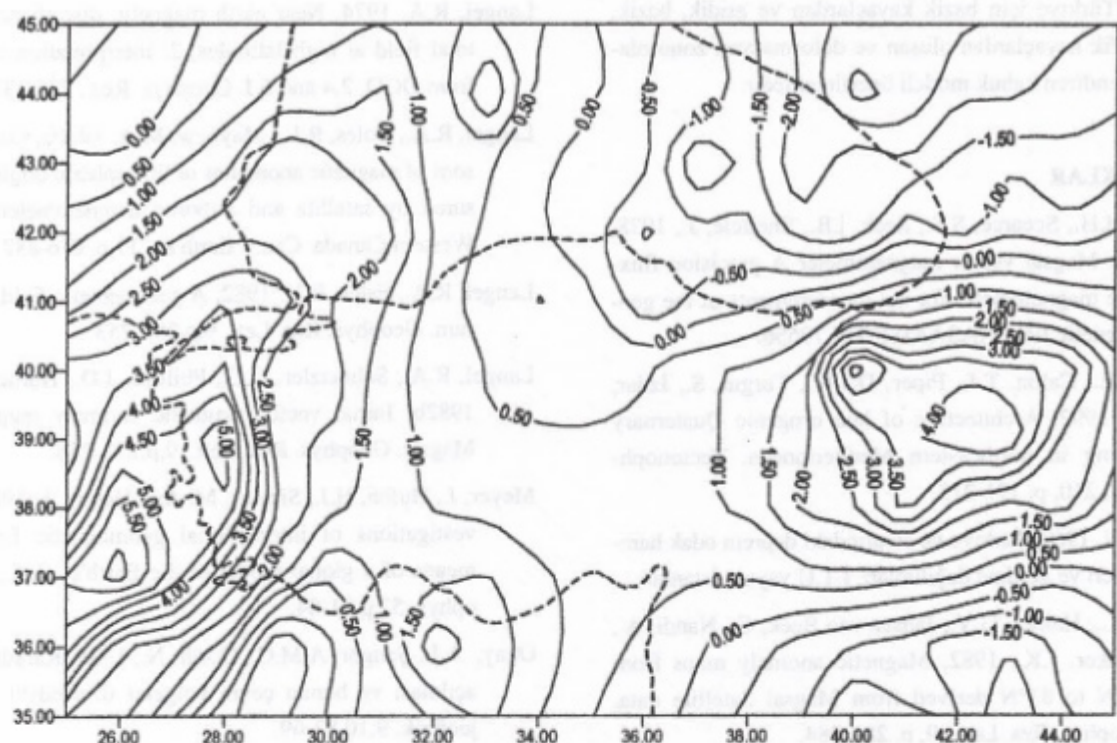
MAGSAT VERİLERİ MODEL ÇALIŞMASI

Manyetik anomalileri oluşturan kabuğun yapısı ve manyetik özelliğini ortaya çıkarmak amacıyla Meyer ve dig. (1983) tarafından 10 ve Hahn ve Basum (1986) tarafından geliştirilen 16 tip kabuk modelinden faydalananlarak Türkiye'nin jeolojik ve tektonik yapısına uygun olabilecek şekilde 6 tip kabuk modeli seçilmiştir (Şekil 9). Seçilen kabuk modelleri kullanılarak Magsat verilerinin elde edildi-



Şekil 9. Türkiye ve çevresi için seçilen (a) kuramsal kabuk modelleri ve (b) bu kabuk modellerinin manyetizasyon ve kalınlık değerleri.

Fig. 9. (a) Crustal models selected for Turkey and surrounding regions; (b) Magnetizations and thicknesses of these crustal models.



Şekil 10. Türkiye ve çevresi için kuramsal kabuk modelleri (Şekil 9) kullanılarak hesaplanan düşey bileşen manyetik haritası (kontur aralığı: 0.5 nT).

Fig. 10. Vertical component magnetic map for Turkey and surrounding regions calculated using the theoretical crustal models in Figure 9 (contour interval: 0.5 nT).

gi yükseklikte düşey bileşen kuramsal manyetik anomalileri (Şekil 10) tabaka kalınlığı ve manyetizasyon değerlerine bağlı olarak $1^\circ \times 1^\circ$ lik 2 tabaklı bloklar şeklinde düşünülecek ve herbir bloğun manyetik etkisi bloğun ortasındaki tek bir dipol tarafından oluşturulduğu varsayılarak hesaplanmıştır.

Genel olarak Batı Türkiye ve Ege denizi için asidik ve bazik kayaçlardan oluşan kabuk modeli, doğu Türkiye için bazik ile bazik, asidik ve metamorfik kayaçlardan oluşan deformasyon zonu olarak isimlendiren kabuk modeli, Akdeniz için platform sedimentlerden oluşan kabuk modeli, Karadeniz için Hahn ve Bosum (1986) tarafından tanımlanan Karadeniz kabuk modeli kullanılmıştır. Kuramsal kabuk modelleri kullanılarak hesaplanan düşey bileşen anomali haritası Magsat uyduından elde edilen düşey bileşen anomali haritası ile karşılaştırılmıştır. Kuramsal olarak elde edilen düşey bileşen haritasında da Ege denizi, batı Türkiye ve doğu Türkiye'de pozitif manyetik anomaliler, KD ve GD Türkiye'de negatif manyetik anomaliler görülmektedir.

SONUÇLAR

Magsat haritaları manyetik temel topografyasının çizilmesi, derin yerkabuğu çalışmalarına katkı getirmesi, özellikle jeotermal sahalarda Curie ısısı derinliğinin hesaplanması açısından büyük değer taşımaktadır. Magsat verileri yardımıyla yerkabığının global ölçekli modelleri hesaplanabilir.

Batı Türkiye ve Ege denizinde açılma tektonигine bağlı olarak kabuğun göreceli olarak daha ince, Curie ısısı derinliğinin daha yüzeye olması nedeniyle ve Fytikas ve diğ. (1984) tarafından öne sürülen iki fazlı volkanizmanın batı Türkiye'de devam etmesi sonucu düşük genlikli pozitif manyetik anomaliler görülmektedir. Karadeniz'in batı ve doğu havzaları okyanusal kabuğa sahip fakat farklı yapısal özellikleri nedeniyle farklı manyetik özellik göstermektedir. Doğu Karadeniz'de ve Toros karbonat platformu'nda negatif manyetik anomaliler görülmektedir.

Model çalışmasının sonucunda, batı Türkiye için asidik, Ege denizi için bazik kayaçlardan oluşan kabuk mode-

li, doğu Türkiye için bazik kayaçlardan ve asidik, bazik, metamorfik kayaçlardan oluşan ve deformasyon zonu olarak isimlendiren kabuk modeli önerilmektedir.

KAYNAKLAR

- Acuna, M.H., Scearce, S.S., Seek, J.B., Sheifele, J., 1978, The Magsat vector magnetometer A precision fluxgate magnetometer for the measurements of the geomagnetic field NASA/GSF TM 79656.
- Aksu, A.E., Calon, T.J., Piper, D.J.W., Turgut, S., Izdar, E., 1992, Architecture of late orogenic Quaternary basing in northeastern Mediterranean. *Tectonophysics*, 210, p. 191-213.
- Canitez, N. 1969, Türkiye ve civarındaki deprem odak haretleri ve gerilme dağılımları. İ.T.Ü yayını, İstanbul.
- Coles, R.L., Haines, G.V., Jansen van Beek, G., Nandi, A., Walker, J.K., 1982, Magnetic anomaly maps from 40°N to 83°N derived from Magsat Satellite data. *Geophys. Res. Lett.*, 9, p. 281-284.
- Fytikas, M., Innocenti, F., Manneti, P., Mazzuoli, R., Peccerillo, A. And Villari, L., 1984, Tertiary to Quaternary evoluation of volcanism in the Aegean region. *Soc. Geol. London, Spec. Publ.*, 17,p. 687-700.
- Hahn, A. And Bosum, W. 1986, Geomagnetics: selected examples and case histories. *Geoexploration monographs*, s. 1 no. 10.
- Hall, D.H. 1974, Long-wavelenght aeromagnetic anomalies and deep crustal magnetization in Manitoba and Nortwestern Ontario, Canada. *J.Geophys*, 40,p.403.
- Lancaster, E.R., Jennings, L., Morrissey, M., Langel, R.A. 1980, Magsat vector magnetometer alibration using Magsat geomagnetic field measurements. NASA/GSFC TM 82046.
- Langel, R.A. 1974, Near earth magnetic disturbance in a total field at high latitudes, 2, interpretation of data from OGO, 2,4 and 6. *J. Geophys. Res.*, 77,2373.
- Langel, R.A., Coles, R.L., Mayhew, M.A. 1980a, Comparisons of magnetic anomalies of lithospheric origin measured by satellite and airborne magnetometers over Western Canada. *Can. J.Earth si.*, 17,p. 876-887.
- Langel, R.A., Estes, R.H. 1982, A geomagnetic field spectrum. *Geophys. Res. Lett.* 9,p.250-253.
- Langel, R.A., Schnetzler, C.C., Phillips, J.D., Horner, R.J. 1982b, Initial vector magnetic anomaly map from Magsat. *Geophys. Res. Lett.*, 9,p.273-276.
- Meyer, J., Hufen, H.J., Siebert, M. And Hahn, A. 1983, Investigations of international geomagnetic field by means of a global model of the Earth's crust. *J. Geophys*, 52,p.71-84.
- Okay, A.I., Şengör, A.M.C., Görür, N., 1995, Karadeniz'in açılması ve bunun çevre bölgeler üzerindeki etkisi. *jeofizik*. 9,10.83-69.
- Papazachos, B.C. and Comninakis, P.E., 1977, model of Mediterranean Basins, Split, Yugoslavia, 319-3331.
- Rotstein Y., 1985, Tectonics of the Aegean Block: Rotation, side arc collision crustal extension. *tectonophysics*, 117,p. 117-137.
- Şalk, M. 1994, Investigation of Geodynamical strutures of the Aegean region. Doktora tezi (yayınlanmamış), D.E.Ü. Fen Bilimleri Enstitüsü, İzmir.
- Wasilewski, P.J., Thomas, H.H., Mayhew, M.A. 1979, The Moho as a magnetic boundary. *Geophys. Res. Letters*, 6,p. 541-544.
- Zietz, I. and Andreasen, G.E. 1970, Magnetic anomalies from satellite magnetometer. *J.Geophys. Res.*, 75,p.4007-4015.

REDUCTION OF POTENTIAL FIELD DATA MEASURED ON IRREGULAR SURFACES TO A HORIZONTAL PLANE

Düzensiz Yüzeylerde Ölçülmüş Potansiyel Saha Verilerinin Yatay Düzleme İndirgenmesi

İbrahim KARA*

ABSTRACT

The standard reductions applied on gravity and magnetic data measured on an irregular surface do not reduce the effect of masses under the ground to a known horizontal surface. However, the topography is considered as a flat surface in the interpretation techniques developed for the potential field data. If the effect of the mass under the ground is not reduced to a horizontal surface, the result of the interpretation becomes wrong. In this work, a method was developed for the reduction of potential field data measured on an irregular topography. The concept of this method is based on the equivalent source technique. The method was successfully applied to three synthetic case studies.

ÖZET

Düzensiz bir yüzeye ölçülen gravite ve manyetik verilere uygulanan standart indirmeler yeraltıda bozucu kütlenin etkisini bilinen bir yatay yüzeye indirmezler. Fakat, potansiyel veriler için geliştirilen yorum tekniklerinde topoğrafya düz bir yüzey olarak kabul edilir. Eğer yer altındaki kütlenin etkisi yatay bir yüzeye indirgenmezse yorumun neticesi hatalı olacaktır. Bu çalışmada düzensiz bir topoğrafyada ölçülmüş potansiyel saha verilerinin indirgenmesi için bir yöntem geliştirilmiştir. Yöntemin esası eşdeğer kaynak teknigi̇ne dayanır. Yöntem üç adet yapay çalışmaya başarıyla uygulanmıştır.

INTRODUCTION

The potential field data are generally obtained on irregular surfaces. The standard reduction techniques do not reduce the effect of anomalies due to subsurface mass. However, most of the interpretation techniques require the values measured on the horizontal surface. Therefore, it is necessary to reduce the observed values measured on rugged topography to an arbitrary horizontal surface.

Previous workers have proposed many methods on this topic. Strakhov and Devitsyn (1965) solved the integral equation relating surface and plane fields using the method of successive approximation in the space domain. Tsurulskiy (1968) made the comparison among various methods using second kind Fredholm equation. Bhattacharya and Chan (1977), obtained an equivalent source solving second kind Fredholm Integral. Dampney (1969) obtained the values on an horizontal surface from Bouguer anomaly on an irregular surface solving a linear equation system. Henderson and Cordell (1971) expressed the observation values by Finite Fourier Series for this reduction analysis and they obtained the coefficients of the series with matrix inversion. Syberg (1972) examined the topic of potential field continuation between general surfaces in terms of generalized operators. Emilia (1973) has obtained magnetic anomalies for different horizontal levels by using line dipoles as equivalent source distribution. However, he did not consider topographic irregularities considered in the present study. Pilkington and Urguhart (1990) made the

charyya and Chan (1977), obtained an equivalent source solving second kind Fredholm Integral. Dampney (1969) obtained the values on an horizontal surface from Bouguer anomaly on an irregular surface solving a linear equation system. Henderson and Cordell (1971) expressed the observation values by Finite Fourier Series for this reduction analysis and they obtained the coefficients of the series with matrix inversion. Syberg (1972) examined the topic of potential field continuation between general surfaces in terms of generalized operators. Emilia (1973) has obtained magnetic anomalies for different horizontal levels by using line dipoles as equivalent source distribution. However, he did not consider topographic irregularities considered in the present study. Pilkington and Urguhart (1990) made the

* I.U. Engineering Faculty, Department of Geophysical Engineering, 34850, Avcılar, İSTANBUL.

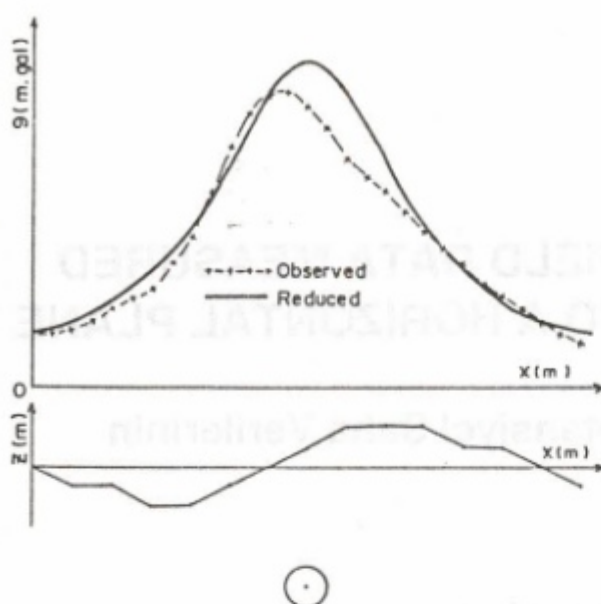


Fig. 1. The anomalies on the irregular surface and the horizontal plane of the disturb body.

Şekil 1. Yeraltındaki bozucu kütlenin düzensiz topografyadaki ve yatay düzlemedeki anomalileri.

reduction of the equivalent source distribution of the observation values that come from underground model by calculating the observation surface in mirror symmetry. Xia et al. (1993) used the concept of equivalent source in wave number domain in order to correct the irregularities caused by rugged topography in potential field data. There are many other authors who worked in this subject.

In this work, the horizontal infinite cylinders were used as equivalent sources in order to reduce the observation values measured on an irregular topographic field to a flat surface.

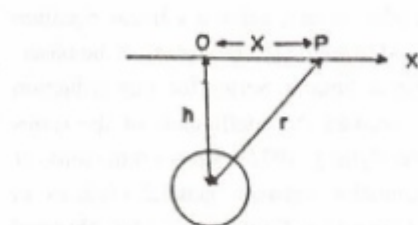


Fig. 2. The demonstration of 2-dimensional body under the ground with horizontal cylinders of n numbers.

Şekil 2. Yeraltındaki iki boyutlu kütlenin n adet yatay silindir ile gösterimi.

THEORY

The anomaly of an anomalous mass under the ground in a region of high topographic relief is shown as dotted line in Fig. 1. The probability of making error in its interpretation is rather high. It is necessary to reduce the observation points measured on rugged topography to a horizontal surface in order to eliminate this error.

In order to realize this, there must be n numbers of small horizontal infinite cylindrical bodies at the same depth which will verify the same anomaly realized by the anomalous body on the rugged topography (Fig. 2).

At first, let us define a horizontal infinite cylinder. The anomaly equation of an infinite cylinder in Fig. 3 is

$$g = 2\gamma m_i h / (x^2 + h^2) \quad (1)$$

where γ is the gravity constant, m_i is the cylinder mass per unit length, x is the distance of a measurement point to the origin and h is the depth of the cylinder.

If $M = 2\gamma m_i$ and $A = h / (x^2 + h^2)$ are assumed, equation 1 takes the form of

$$g = M \cdot A \quad (1a)$$

where A is called the geometric factor. However, from Fig. 2 we have $h = H + Z$.

Then A takes the form of

$$A = (H + Z) / [(x^2 + (H + Z)^2)] \quad (1b)$$

where Z is the elevation difference between the observation point and the reduction surface and H is the depth of the cylinders from the horizontal surface.

The anomaly values at each observation point were obtained summing effects of all M ,

$$g_B(I) = \sum_{j=1}^N M(j) \cdot A(I, j) \quad (2)$$

where, $I = 1, 2, 3, \dots, n$ and g_B are observation values. If A is expressed in the form of index notation, then we have

$$A(I, J) = [H + Z(I)] / [(Dx \cdot (I - J))^2 + (H + Z(I))^2]$$

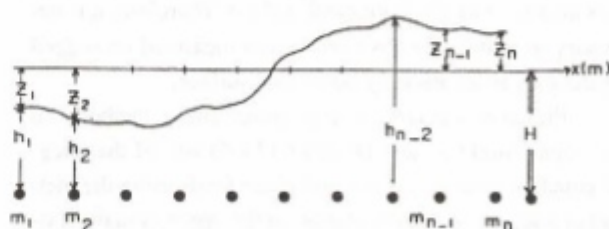


Fig. 3. The geometry of a horizontal infinite cylinder.

Şekil 3. Yatay sonsuz silindirin geometrisi.

Here, Dx is the distance between observation points. The expression of (2) can be written in matrix form as

$$\begin{aligned} M(1).A(1,1)+M(2).A(1,2)+\dots+M(n).A(1,n) &= g(1) \\ M(1).A(2,1)+M(2).A(2,2)+\dots+M(n).A(2,n) &= g(2) \end{aligned}$$

$$M(1).A(n,1)+M(2).A(n,2)+\dots+M(n).A(n,n) = g(n).$$

The values of M are obtained from the solution of this equation set.

The anomaly values which will exist on the accepted horizontal surface, will be known by the total effects of cylindrical masses at each the observation point. Hence we can write

$$g_R(I) = \sum M(J).A_R(I,J) \quad (3)$$

where, g_R is the anomaly values reduced to the horizontal surface and A_R is the geometric factor with respect to the horizontal surface.

In particular, A_R can be expressed as

$$A_R(I, J) = H / \{ [Dx . (I-J)]^2 + H^2 \} \quad (4)$$

This can be written in matrix form as

$$M(1).A_R(1,1)+M(2).A_R(1,2)+\dots+M(n).A_R(1,n) = g_R(1)$$

$$M(1).A_R(2,1)+M(2).A_R(2,2)+\dots+M(n).A_R(2,n) = g_R(2)$$

$$M(1).A_R(n,1)+M(2).A_R(n,2)+\dots+M(n).A_R(n,n) = g_R(n)$$

Hence the reduced values on the accepted surface are obtained.

NUMERICAL EXAMPLES

The method mentioned above was applied to the gravity anomaly of a buried cylinder in (Fig. 4). As seen from the figure, the gravity values calculated theoretically on the horizontal surface are almost similar to the values calculated by this method. All of the numerical values obtained by this method are shown in Table 1.

This method was applied to the gravity anomaly of an irregular cross-sectional surface (Fig. 5). The theoretical anomaly obtained by this method are in good agreement with Bouguer anomaly as seen in Figure 5.

In Fig. 6, when the method was applied to the vertical magnetic anomaly of the irregular cross-sectional mass in Fig. 5, a reasonable result was obtained.

Table 1. The Bouguer anomaly of the buried cylinder in rugged topography and the values of reduced gravity anomaly.

Çizelge 1. Düzensiz topografyadaki gömülü silindirin Bouguer anomali ve indirgenmiş anomali değerleri.

x(m)	Z(m)	Bouguer g(x,z) m-gal	Real g(x,0) m-gal	Calculated g(x,o) m-gal
0	10	0.0261	0.0231	0.0230
20	10	0.0315	0.0279	0.0280
40	6	0.0369	0.0344	0.0344
60	-6	0.0402	0.0434	0.0433
80	-15	0.0459	0.0559	0.0559
100	-20	0.0578	0.0740	0.0740
120	-24	0.0784	0.1006	0.1006
140	-23	0.1248	0.1397	0.1397
160	-20	0.2095	0.1934	0.1935
180	-10	0.2890	0.2515	0.2514
200	10	0.2395	0.2794	0.2794
220	18	0.2017	0.2515	0.2516
240	25	0.1615	0.1934	0.1932
260	30	0.1290	0.1397	0.1402
280	33	0.1036	0.1006	0.1003
300	28	0.0831	0.0740	0.0736
320	0	0.0559	0.0559	0.0559
340	-8	0.0391	0.0434	0.0434
360	-14	0.0278	0.0344	0.0345
380	-18	0.0206	0.0279	0.0280
400	-20	0.0161	0.0231	0.0232

RESULTS

As well-known, that the direct interpretation of potential field data measured on a rugged topography is wrong. For this purpose, these data must be reduced on a horizontal surface. In this work a method that will provide such a reduction has been proposed. Although the method is fast and accurate, the sampling interval of the data must be selected compatibly. The sampling interval must not be chosen less than half of the maximum elevation difference to the reduction surface. The value of H must not take the values near the depth of the anomalous mass.

In this work the reduction has been chosen for only one-dimensional cases. As an equivalent source, a solution for 2 dimensional case can easily be done by substituting spheres instead of cylinders.

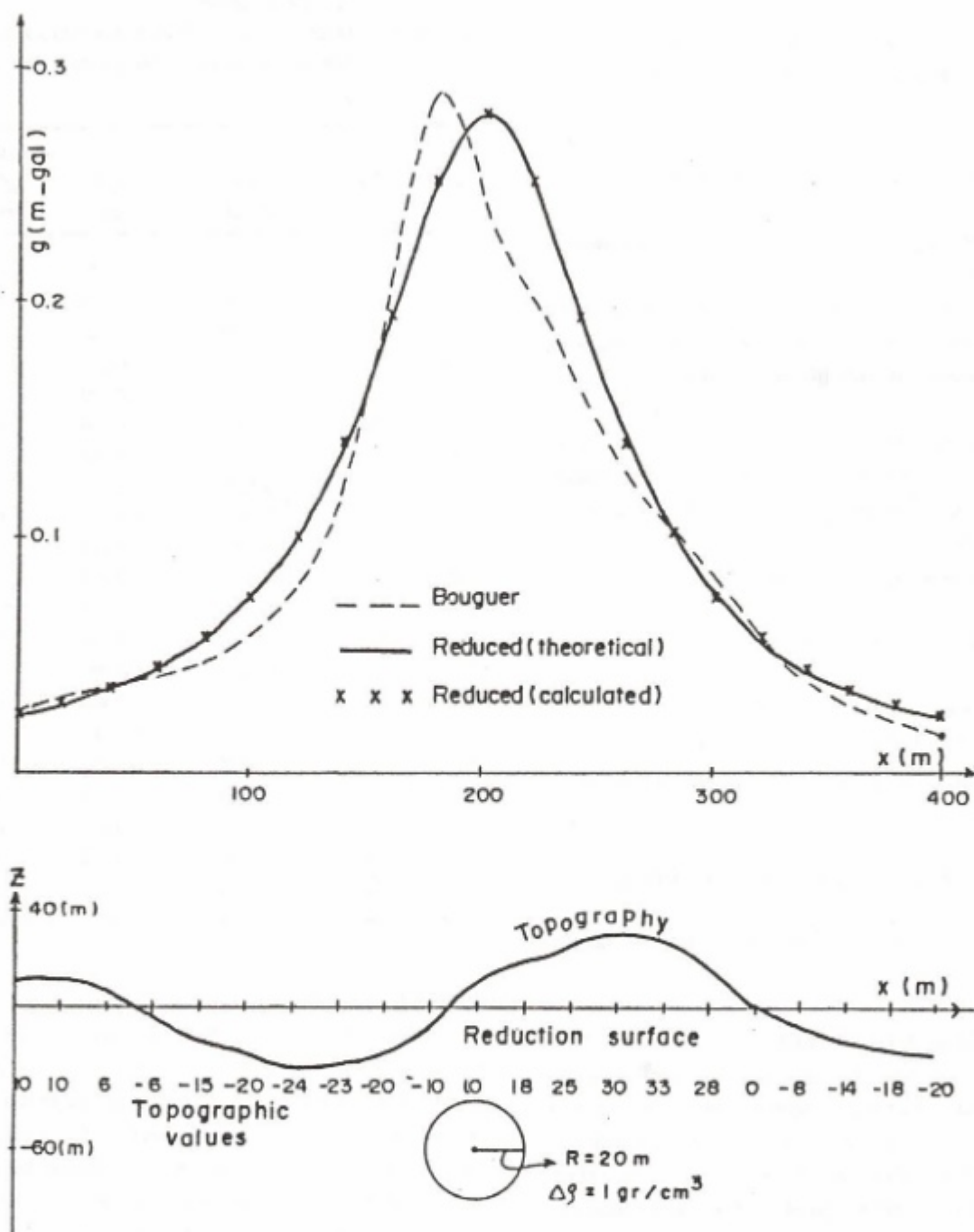


Fig. 4. The buried cylinder under the rugged topography and its Bouguer and reduced anomalies.

Şekil 4. Düzensiz topoğrafya altındaki gömülü silindir ve bunun Bouguer ve indirgenmiş anomalileri.

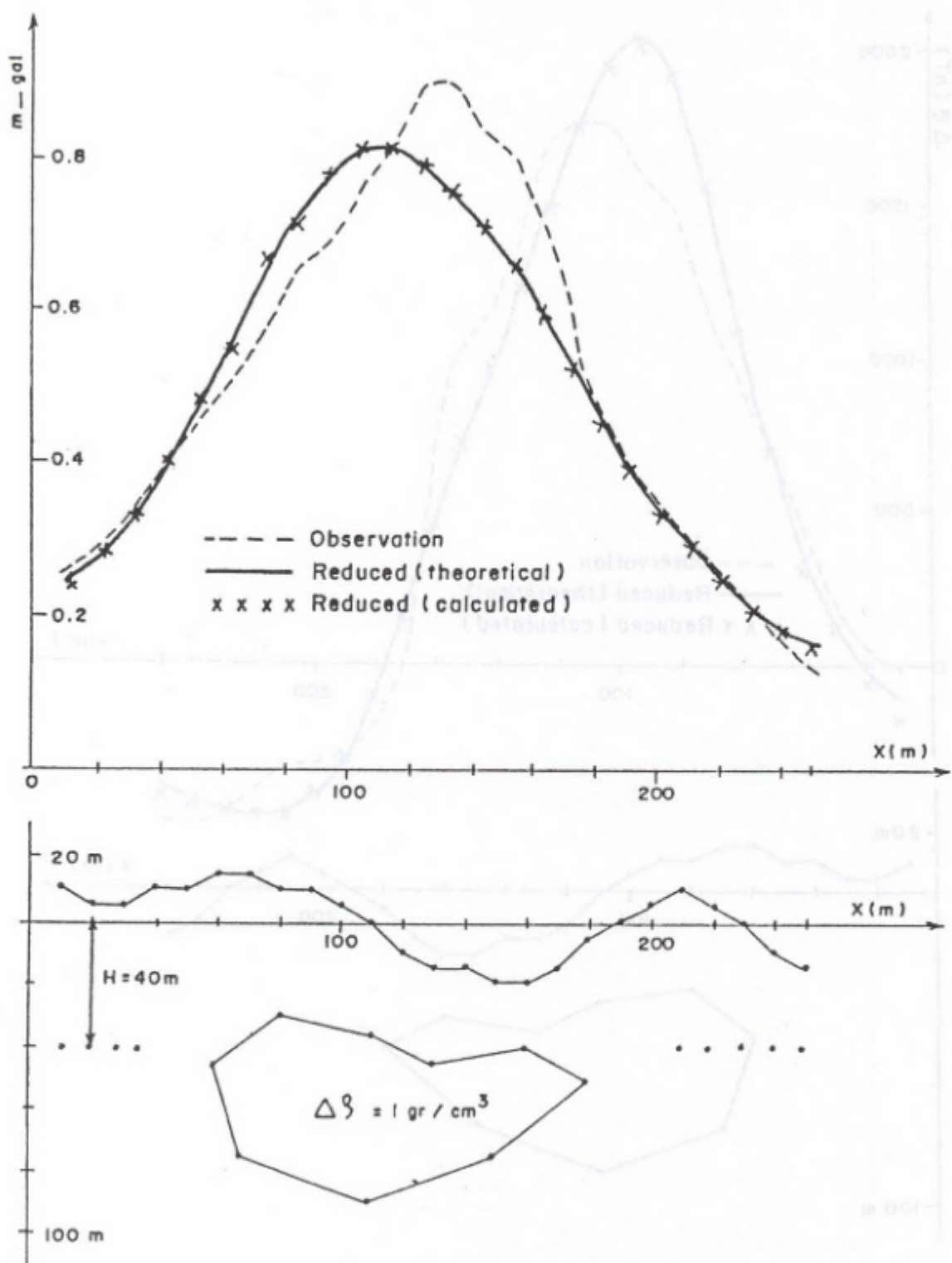


Fig. 5. The buried mass with random shape under the rugged topography and its Bouguer and reduced anomalies. *In Tuncay, 1978*

Şekil 5. Düzensiz topografya altındaki gelişigüzel şekilli gömülü kütle ve bunun Bouguer ve indirgemiş anomalileri.

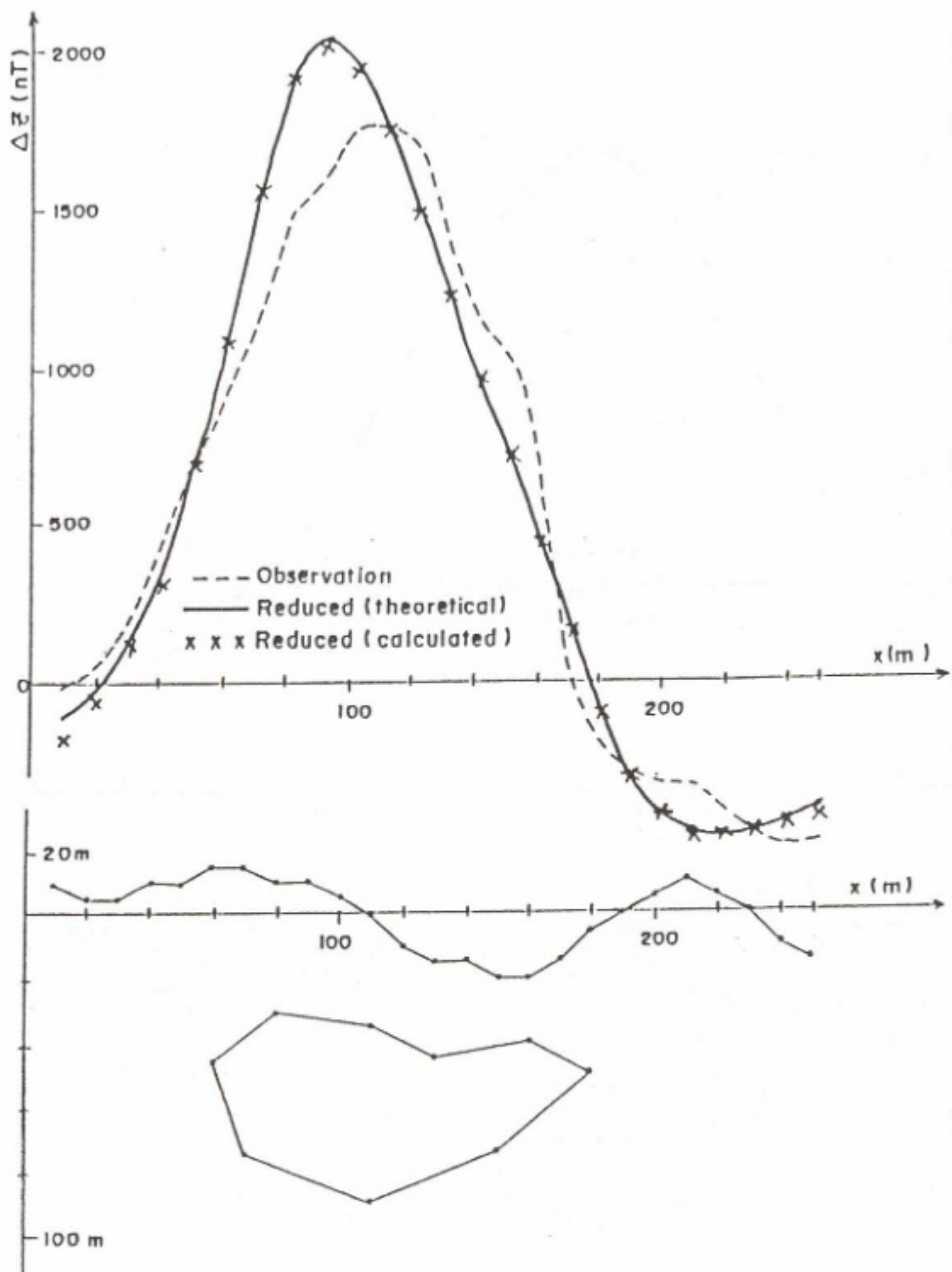


Fig. 6. The buried mass with random shape under the rugged topography and its vertical magnetic (ΔZ) and reduced anomalies.

Şekil 6. Düzensiz topoğrafya altındaki gelişigüzel şekilli gömülü kütle ve bunun düşey manyetik (ΔZ) ve indirgenmiş anomalileri.

REFERENCES

- Bhattacharyya, B. K., and Chan, K. C. 1977, Reduction of magnetic and gravity data on arbitrary surfaces acquired in a region of high topographic relief, *Geophysics*, 42, 1411-1430.
- Dampney, C. N. G. 1969, The equivalent source technique, *Geophysics*, 34, 39-53.
- Emilia, D. A. 1973, Equivalent sources used as an analytic base for processing total magnetic field profiles, *Geophysics*, 38, 339-348.
- Henderson, R. G., and Cordell, L. 1971, Reduction of unevenly spaced potential field data to a horizontal plane by means of finite harmonic series, *Geophysics*, 36, 856-866.
- Pilkington, M., and Urquhart, W. E. S. 1990, Reduction of potential field data to a horizontal plane, *Geophysics*, 55, 549-555.
- Strakhov, V. N., and Devitsyn, V. M. 1965, The reduction of observed values of a potential field to values at a constant level: Akad. Nauk USSR Izv. Fizika Zemli, 256-261.
- Syberg, F. J. R. 1972, Potential field continuation between general surfaces, *Geophys. Prosp.*, 20, 267-282.
- Tsirulskiy, A. V. 1968, The reduction of observed potential fields to a single level, *Akad. Nauk USSR Izv. Fizika Zemli*, 190-193.
- Xia, J., Sprowl, D. R., and Adkins-Helgeson, D. 1993, Correction of topographic distortions in potential-field data: A fast and accurate approach, *Geophysics*, 58, 515-523.

deformation rates in eastern Anatolian crustal blocks were calculated as 3-4° N between 35° E - 44° E longitude and 34° D - 46° D latitude. The deformation rates in the eastern part of North Anatolian Fault Zone (NAFZ) are 28 mm/yr in EW direction, 18 mm/yr in NS direction and 33 mm/yr in average right-lateral displacement rate. The deformation rates in the eastern part of East Anatolian Fault Zone (EAFZ) are 17.80 mm/yr in NS direction, 7.5 mm/yr in average left-lateral displacement rate and 15 mm/yr in right-lateral strike-slip fault mechanism. The deformation rates in the eastern part of Çaldıran Fault Zone (CFZ) are 7.5 mm/yr in NS contraction, 3.5 mm/yr in average left-lateral displacement rate and 15 mm/yr in right-lateral strike-slip fault mechanism.

RATES OF CRUSTAL DEFORMATION IN EASTERN ANATOLIA

Doğu Anadolu'da Kıtatal Deformasyon Miktarları

Günruh BAĞCI*

ABSTRACT

In this study, rates of crustal deformation of Eastern Anatolia was investigated by using the earthquakes located in the region between 35° N - 44° N latitude and 34° E - 46° E longitude. Eastern part of North Anatolian Fault Zone (NAFZ), Northeast Anatolian Fault Zone (NEAFZ), East Anatolian Fault Zone (EAFZ) and Çaldıran Fault Zone (CFZ) are selected as seismotectonic zones with high seismic activity. Fault plane solutions of 70 earthquakes occurred in investigated region with magnitude of 5.0 and higher are carried out.

Symmetric moment tensor method is applied to determine the crustal deformation type and to calculate deformation rates for defined seismotectonic zones in Eastern Anatolia by using the fault plane solution results. The results show that the deformation in the eastern part of NAFZ is taken up by extension on EW direction 28 mm/yr and as contraction an NS direction at a rate of 18 mm/yr. The average right-lateral displacement rate is about 33 mm/yr. In the EAFZ, the deformation is taken up as nearly NS contraction at a rate of 17.80 mm/yr and as nearly EW extension at a rate of about 7.5 mm/yr. The average left-lateral motion has a rate of about 3.5 mm/yr. The deformation rate in NEAFZ is 20 mm/yr with contraction in the NS direction and left-lateral displacement rate is 2.5 mm/yr justifying the left-lateral strike-slip fault mechanism. NS contraction rate CFZ is 40 mm/yr. Right-lateral deformation rate in CFZ having right-lateral strike-slip fault mechanism is calculated as 15 mm/yr. As a result of NS contraction in all zones, thickening rates are found as 0.16 mm/yr in eastern part of NAFZ, 0.12 mm/yr in NEAFZ, 0.40 mm/yr in EAFZ and 1.15 mm/yr in CFZ, respectively.

ÖZET

Bu çalışmada, 35° K - 44° K enlemleri ve 34° D - 46° D boyamları arasında kalan bölgede yer alan depremler kullanılarak Doğu Anadolu'nun kıtasal deformasyon miktarları incelenmiştir. Deprem etkinliğinin yoğun olduğu sismotektonik zonlar, Kuzey Anadolu Fay Zonu'nun doğusunda kalan bölge (KAFZ), Kuzeydoğu Anadolu Fay Zonu (KDAFZ), Doğu Anadolu Fay Zonu (DAFZ) ve Çaldıran Fay Zonu (CFZ) olarak belirlenmiştir. İnceleme alanında meydana gelmiş magnitüd 5.0 ve daha büyük 70 depremin odak mekanizması çözümleri yapılmıştır.

Belirlenen sismotektonik zonlarda kıtasal deformasyon biçimlerinin ve miktarlarının belirlenmesinde simetrik moment tensör yöntemi, Doğu Anadolu Bölgesi depremlerinin fay düzlemi çözümlerinden elde edilen parametreler kullanılarak uygulanmıştır. Sonuçlar göstermiştir ki, Kuzey Anadolu Fay Zonunun doğusunda DB uzamanının miktarı 28 mm/yıl ve KG sıkışmanın miktarı 18 mm/yıl olarak bulunmuştur. Ortalama sağa yan kayma miktarı 33 mm/yıl dır. Doğu Anadolu Fay Zonunda, KG sıkışmanın deformasyon miktarı 17.80 mm/yıl ve DB uzamanının miktarı 7.5 mm/yıl olmuştur. Ortalama sola yan kayma miktarı 3.5 mm/yıl dır. Kuzeydoğu Anadolu Fay Zonunda, KG yönünde sıkışmanın deformasyon miktarı 20 mm/yıl ve sol yönlü doğrultu atımlı faylanma mekanizmali bu zonun sola yan kayma miktarı 2.5 mm/yıl olmuştur. Çaldıran Fay Zonunda, KG sıkışmanın deformasyon miktarı 40 mm/yıl dır. Sağ yönlü doğrultu atımlı faylanma mekanizmali Çaldıran Fay Zonunda sağa yan kayma miktarı 15 mm/yıl olarak hesaplanmıştır. Bütün zonlarda meydana gelen KG sıkışmanın neticesinde, kalınlaşma miktarları, Kuzey Anadolu Fay Zonunun doğusunda, 0.16 mm/yıl, Kuzeydoğu Anadolu Fay Zonunda, 0.12 mm/yıl, Doğu Anadolu Fay Zonunda, 0.40 mm/yıl, ve Çaldıran Fay Zonunda, 1.15 mm/yıl olarak bulunmuştur. Fay Zonunda, 1.15 mm/yıl olarak bulunmuştur.

* General Directorate of Disaster Affairs Earthquake Research Department, 06530 Ankara-TURKEY

INTRODUCTION

Northward motion of the Arabian plate relative to Eurasia causes lateral escape of the Anatolian block to the west (Ketin, 1948; McKenzie, 1972; Şengör, 1979) and the Northeast Anatolian block to the east. The North Anatolian fault and the East Anatolian fault constitute the northern and southern boundaries, respectively, of the westward moving Anatolian block. The motion of the Northeast Anatolian block is complicated by extensive internal deformation of the block along conjugate faults.

The North Anatolian Fault Zone is a 1500 km long seismically active right-lateral strike-slip fault that takes up the relative motion between the Anatolian block and Black Sea plate. This fault zone extends from the Karlıova triple junction as far as mainland Greece. Focal mechanisms for moderate and large earthquakes along this portion of the fault zone are mostly pure right-lateral strike-slip solutions (Canitez and Üçer, 1967; McKenzie, 1972; Bağcı, 1994). Rates of slip along the North Anatolian Fault zone are estimated at 50-80 mm/yr from geological observations (Tokay, 1973; Seymen, 1975; Barka and Hancock, 1984).

Relative motion between the Anatolian Block and the Arabian plate is taken up by the left-lateral East Anatolian Fault Zone. This fault zone extends from the Karlıova triple junction (39.3° N, 41.1° E) to the Mediterranean. The East Anatolian Fault Zone is similar in many ways to the North Anatolian Fault Zone. It is characterized by a series of major discontinuities.

The Northeast Anatolian block, a wedge-shaped region located to the east of 39° E, is bounded by the Northeast Anatolian Fault to the north and by the North Anatolian Fault Zone to the south. East of 41.5° E this southern boundary disappears; it is no longer defined by surface morphology or seismological observations (Tchalenko, 1977). The Northeast Anatolian block differs from the Anatolian block to the west in that most of the strain is released along major boundary faults. Internal deformation in the Northeast Anatolian block occurs along the following structures; (1) north-northeast-south-southwest and/or northeast-southwest trending left-lateral strike-slip faults, (2) northwest-southwest trending right-lateral strike-slip faults, (3) east-west trending thrust and folds, and (4) north-south trending extension cracks (Arpat et al., 1977; Şengör, 1980; Saroğlu and Güner, 1981, Saroğlu, 1985).

SEISMICITY OF EASTERN ANATOLIA

Eastern Anatolia is located between the Eurasian, African and Arabian plates. It is squeezed and driven by the stresses exerted on it through the northward movements of the Arabian and African plates. Major tectonic elements of Turkey and adjacent areas are illustrated in Figure 1. The earthquake epicenters, covering the period 1900-1995, delineate the major fault zones and show the great activity and seismicity in Eastern Anatolia.

The North Anatolian Fault zone, which extends along the boundary between the Eurasian plate in the north and the

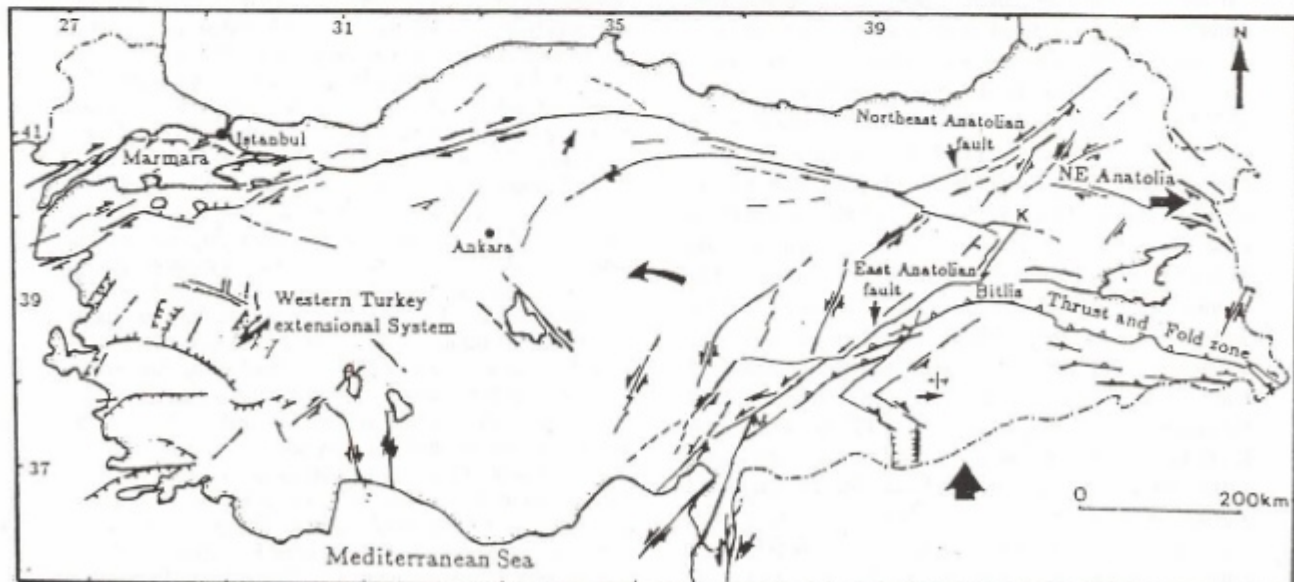


Fig 1. Major tectonic elements of Turkey and adjacent area (Barka and Kadinsky-Cade, 1988).
Şekil 1. Türkiye ve civarının esas tektonik elemanları (Barka ve Kadinsky-Cade, 1988).

Turkish plate in the south, is a major tectonic feature with a well defined fault trace, and an established history of seismicity (Ketin, 1968, 1976; Allen, 1969; Ambraseys, 1970; Dewey, 1976; Şengör, 1979; Toksöz et al., 1979). West of 31° E longitude the fault appears to break in two, or possibly three segments. In this region, the earthquake mechanisms show a north-south tension component in addition to the dominant right-lateral strike-slip component.

Another feature in the area is the Southeast Anatolian Thrust zone, also known as Bitlis Thrust zone. It is the collision zone of the Arabian platform with Eurasia (Baysal, 1977; Şengör and Canitez, 1982). The thrust type source mechanisms of Lice earthquake (September 6, 1975) on this thrust belt support the convergence of the Arabian and Anatolian plates (Toksöz, 1979).

There are two important fault zones in Eastern Anatolia in addition to East Anatolian Fault zone: Northeast Anatolian Fault and Çaldıran Fault. They are characterized by moderate seismicity, but earthquake mechanisms are not well established. An earthquake on the Çaldıran Fault had a fault plane solution with right-lateral strike-slip fault mechanism. The Northeast Anatolian Fault zone, which extends in NE-SW direction, has same fault plane solutions. The source mechanism solutions and surface ruptures show that the main faulting took place on a left-lateral strike-slip fault.

METHOD OF ANALYSIS

The analysis is based on Kostrov's (1974) formulation according to which, the average strain rate of seismic deformation in a region can be defined as:

$$\dot{\epsilon}_{ij}^* = 1 / (2 / \mu VT) \{ \sum M_{ij} \} \quad (1)$$

where $\sum M_{ij}$ is the sum of symmetric moment tensors of N earthquakes in the seismogenic volume V of the deforming zone of rigidity μ in time T. This formula is applicable to the case in which the margins of the deforming zone are in the far-field and thus the method estimates the rate of irrotational strain due to slip on faults with a variety of orientations. The area studied is considered as a rectangular deforming region of thickness Z in the vertical (z) direction bounded by sides of lengths X and Y in the two horizontal directions x and y. A coordinate frame is used with the x=north, y=east and z=down directions positive.

The six elements of the seismic moment tensor for each fault plane solution, were obtained, using the relation

$$M_{ij} = M_0 (u_i n_j + u_j n_i) \quad (2)$$

where M_{ij} is the moment tensor, M_0 is the scalar moment, and u and n are unit vectors in the direction of the slip vector and the normal to the fault plane, respectively (Aki and Richards, 1980). Then, following the formulations developed in Jackson and McKenzie (1988), and using the above-mentioned coordinate system the components of the rate of deformation were calculated directly from the moment tensors. The extent to which deformation is taken up by movement of material in the x direction is given by the following equation:

$$U_x^x = (1 / 2 \mu h T) \sum_{j=1}^N M_{11} \quad (3)$$

where $\mu = 3 \times 10^{11}$ dyne/cm², l is the length of the deforming zone, T is the time of observations, and t is the thickness of the seismogenic layer.

The extent to which deformation is taken up by movement of material in the y direction is calculated by M22, since

$$U_y^y = (1 / 2 \mu T \alpha l) \sum_{j=1}^N M_{22} \quad (4)$$

where α is now the width of the deforming zone.

So, the rate of thickening in the seismogenic layer is given by the component of the moment tensor M33,

$$U_z^z = (1 / 2 \mu T \alpha l) \sum_{j=1}^N M_{33} \quad (5)$$

As is stated in Jackson and McKenzie (1988) the off-diagonal terms of the moment tensor do not have simple physical meaning. But if the length, l, of the deforming zone is much greater than its width, α , then some components of the tensor do have physical sense. In this respect, the horizontal shear velocity is determined by the equation

$$U_y^x = (1 / \mu \tau l) \sum_{j=1}^N M_{12} \quad (6)$$

Similarly, the gradients of the horizontal velocity in the vertical direction are given by the equations

$$U_z^x = (1 / \mu \alpha l T) \sum_{j=1}^N M_{13} \quad (7)$$

$$U_y^z = (1 / \mu \alpha l T) \sum_{j=1}^N M_{23} \quad (8)$$

REQUIRED DATA

The data used in this study consist of all the earthquakes with $M \geq 5.0$ that occurred in the eastern Anatolia during the period 1900-1995. The catalogues of ISC (International Seismological Center) and ISS (International Seismological Summary) were used to identify the magnitude of earthquake data. For some earthquakes, M_s were not reported. In that case, the body wave M_b magnitudes were converted to M_s magnitude using the formula:

$$M_s = 1.46 M_b - 2.29 \quad (9)$$

that was developed for earthquakes in Turkey (Can, 1982). The scalar moment data listed in Table 1 are used to determine the log-linear regression line between seismic moment and surface magnitude. The 17 known moment values are plotted in Figure 2 and the least-squares fit for the $\log M_0$, M_s data is:

$$\log M_0 = 1.36 M_s + 15.20 \quad (10)$$

The fault plane solutions used are shown in Figure 3, using a lower hemisphere equal area projection. It can be seen that all the focal mechanisms along the entire length of

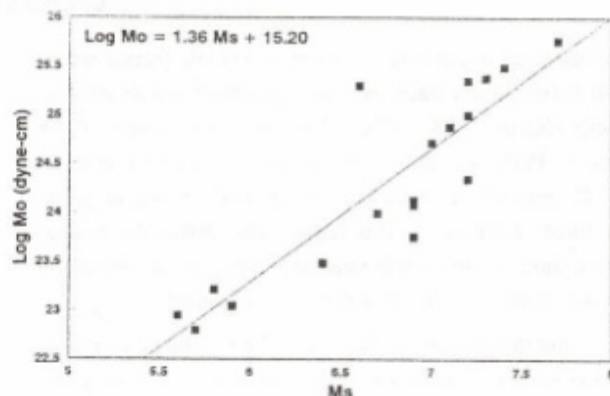


Fig. 2. Relationship between M_s and M_0 values for earthquakes in Eastern Anatolia.

Şekil 2. Doğu Anadolu da depremlerin M_s ve M_0 değerlerinin ilişkisi.

the NAFZ indicate dextral strike-slip faulting. The pattern changes east of the junction of the fault with EAFZ, near Karlıova, and the fault plane solution of the Varto earthquake of 1966 shows mainly thrusting associated with dextral-lateral strike-slip.

The thickness of the seismogenic layer was assumed to be 15 km in all cases, based on previous work (Kiratzi, 1993).

Table 1. M_0 values which are used to obtain $\log M_0 = 1.36 M_s + 15.60$.

Çizelge 1. $\log M_0 = 1.36 M_s + 15.20$ denkleminin bulunmasında kullanılan M_0 değerleri.

Date	M_s	M_0 (dyne-cm)	References
26.12.1939	7.7	5.80×10^{25}	Jackson and McKenzie (1988)
26.11.1943	7.3	2.40×10^{25}	Jackson and McKenzie (1988)
01.02.1944	7.4	3.10×10^{25}	Jackson and McKenzie (1988)
18.03.1953	7.2	1.00×10^{25}	Taymaz et al. (1991a)
14.06.1964	5.7	6.30×10^{24}	Taymaz et al. (1991b)
19.02.1968	7.2	2.24×10^{25}	Kriatzi et al (1991)
22.05.1971	6.9	5.80×10^{25}	Taymaz et al. (1991b)
27.03.1975	6.6	2.00×10^{25}	Taymaz et al. (1991a)
06.09.1975	6.7	1.00×10^{24}	Nabelek (1984)
19.12.1981	7.2	2.24×10^{24}	Kriatzi et al (1991)
27.12.1981	6.4	3.09×10^{23}	Kriatzi et al (1991)
18.01.1982	6.9	1.35×10^{24}	Kriatzi et al (1991)
05.07.1983	5.8	1.65×10^{23}	Ekstrom and England (1989)
06.08.1983	6.9	1.20×10^{24}	Ekstrom and England (1989)
05.05.1986	5.9	1.12×10^{23}	Taymaz et al. (1991b)
06.06.1986	5.6	9.00×10^{22}	Taymaz et al. (1991b)
13.03.1992	7.0	5.20×10^{24}	PDE USGS listings

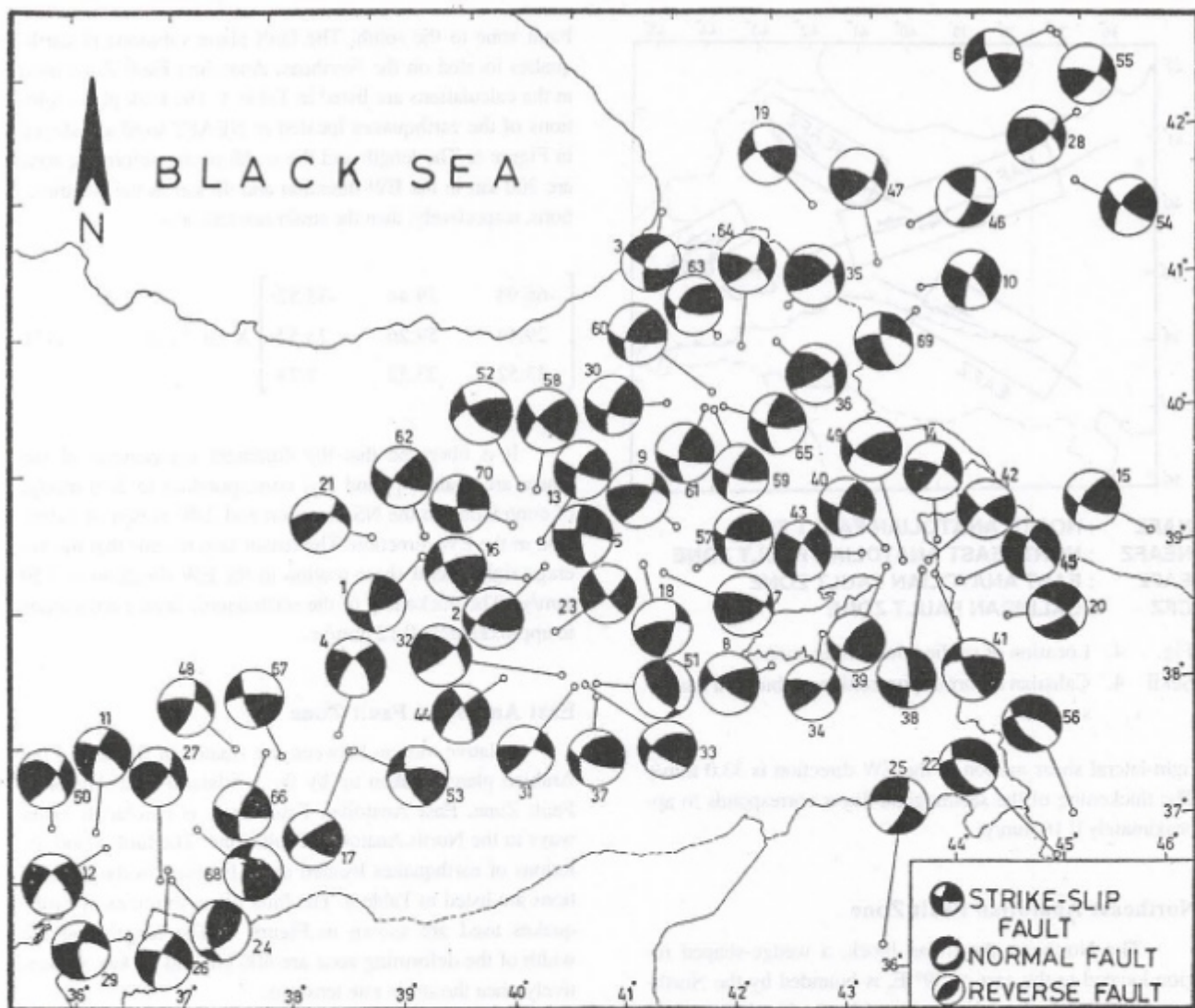


Fig. 3. Diagrams of the fault plane solutions for Eastern Anatolia (Bağcı, 1994).

Şekil 3. Doğu Anadolu'da incelenen depremlerin fay düzlemi çözümleri haritası (Bağcı, 1994).

DEFORMATION RATES

North Anatolian Fault zone, Northeast Anatolian Fault zone, East Anatolian Fault zone and Çaldırın Fault zone are determined as deforming zones in Eastern Anatolia as shown in Figure 4.

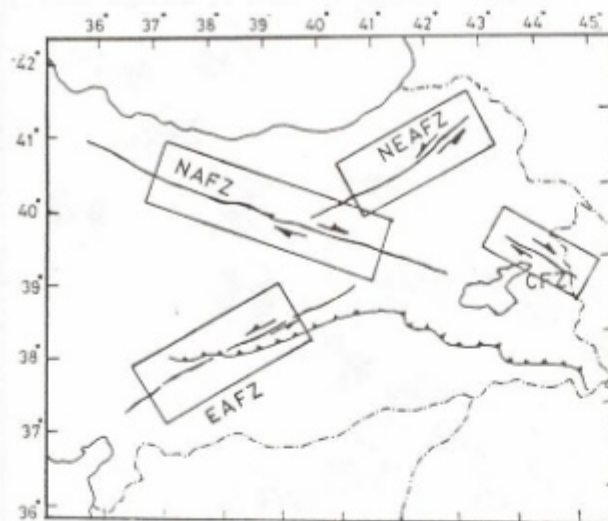
North Anatolian Fault Zone

The North Anatolian Fault zone is seismically active right-lateral strike-slip fault that takes up the relative motion between the Anatolian block and Black Sea plate. The fault plane solutions of earthquakes used in the calculations are listed in Table 2. The fault plane solutions used are shown in Figure 5, using a lower hemisphere equal area projection. The total dimension of the deformed volume of North Ana-

tolian Fault zone in the NS and EW directions is about 40 km and 300 km respectively. Using a seismogenic layer of 15 km the following strain rate tensor is calculated for the time span observations, 1939-1982.

$$\begin{bmatrix} -60.27 & 54.86 & 16.35 \\ 54.86 & 46.30 & 8.19 \\ 16.35 & 8.19 & 14.01 \end{bmatrix} \times 10^{-9} / \text{yr} \quad (11)$$

It is observed that the dominant components of the tensor are c_{11}^e and c_{22}^e corresponding to 18.08 mm/yr of contraction in the NS direction and 28.0 mm/yr of extension in the EW direction. The tensor also reveals that the average



NAFZ : NORTH ANATOLIAN FAULT ZONE
NEAFZ : NORTHEAST ANATOLIAN FAULT ZONE
EAFZ : EAST ANATOLIAN FAULT ZONE
CFZ : CALDIRAN FAULT ZONE

Fig. 4. Location of studied deforming zones.
 Şekil 4. Çalışılan deformasyon zonlarının bulundu haritası.

right-lateral shear motion in the EW direction is 33.0 mm/yr. The thickening of the seismogenic layer corresponds to approximately 0.16 mm/yr.

Northeast Anatolian Fault Zone

The Northeast Anatolian block, a wedge-shaped region located to the east of 39° E, is bounded by the Northeast Anatolian fault to the north and by the North Anatolian

Fault zone to the south. The fault plane solutions of earthquakes located on the Northeast Anatolian Fault Zone used in the calculations are listed in Table 3. The fault plane solutions of the earthquakes located in NEAFZ used are shown in Figure 6. The length and the width of the deforming zone are 300 km in the EW direction and 40 km in the NS directions, respectively, then the strain rate tensor is

$$\begin{bmatrix} -66.94 & 29.44 & -33.52 \\ 29.44 & 59.26 & 23.52 \\ -33.52 & 23.52 & 7.73 \end{bmatrix} \times 10^{-9} / \text{yr} \quad (12)$$

It is observed that the dominant components of the tensor are again ϵ_{11} and ϵ_{22} corresponding to 20.0 mm/yr of contraction in the NS direction and 2.40 mm/yr of extension in the EW direction. The tensor also reveals that the average right-lateral shear motion in the EW direction is 2.50 mm/yr. The thickening of the seismogenic layer corresponds to approximately 0.12 mm/yr.

East Anatolian Fault Zone

Relative motion between the Anatolian Block and the Arabian plate is taken up by the left-lateral East Anatolian Fault Zone. East Anatolian Fault Zone is similar in many ways to the North Anatolian Fault Zone. The fault plane solutions of earthquakes located in EAFZ used in the calculations are listed in Table 4. The fault plane solutions of earthquakes used are shown in Figure 7. The length and the width of the deforming zone are 400 km and 40 km, respectively, then the strain rate tensor is:

Table 2. Earthquakes of the period 1939-1992, occurred in North Anatolian Fault Zone.
 Çizelge 2. 1939-1992 yılları arasında Kuzey Anadolu Fay Zonunda olan depremler.

Date	Strike	Dip	Rake	M (dyne-cm)	References
26.12.1939	117.4	77.3	157.6	5.80×10^{25}	Bağcı (1994)
20.12.1942	118.0	90.0	180.0	0.45×10^{27}	Jackson and McKenzie (1988)
31.08.1965	286.9	75.6	-165.0	0.15×10^{23}	present study
07.03.1966	296.4	79.9	-157.7	0.19×10^{23}	present study
27.04.1966	295.8	78.4	-157.5	0.79×10^{22}	present study
19.08.1966	45.0	58.0	150.0	0.16×10^{27}	Stewart and Kanamori (1982)
26.07.1967	103.7	88.8	156.5	0.10×10^{24}	present study
10.09.1969	104.7	89.3	121.4	0.19×10^{23}	present study
03.09.1970	297.2	76.6	-146.6	0.79×10^{22}	present study
12.01.1976	127.8	85.5	113.5	0.79×10^{22}	present study
18.11.1983	291.7	61.9	-108.8	0.79×10^{22}	present study
20.05.1989	296.5	77.3	-143.2	0.79×10^{22}	present study
13.03.1992	304.0	84.0	-163.0	0.52×10^{25}	PDE USGS listings
15.03.1992	326.0	77.0	159.0	0.80×10^{23}	PDE USGS listings

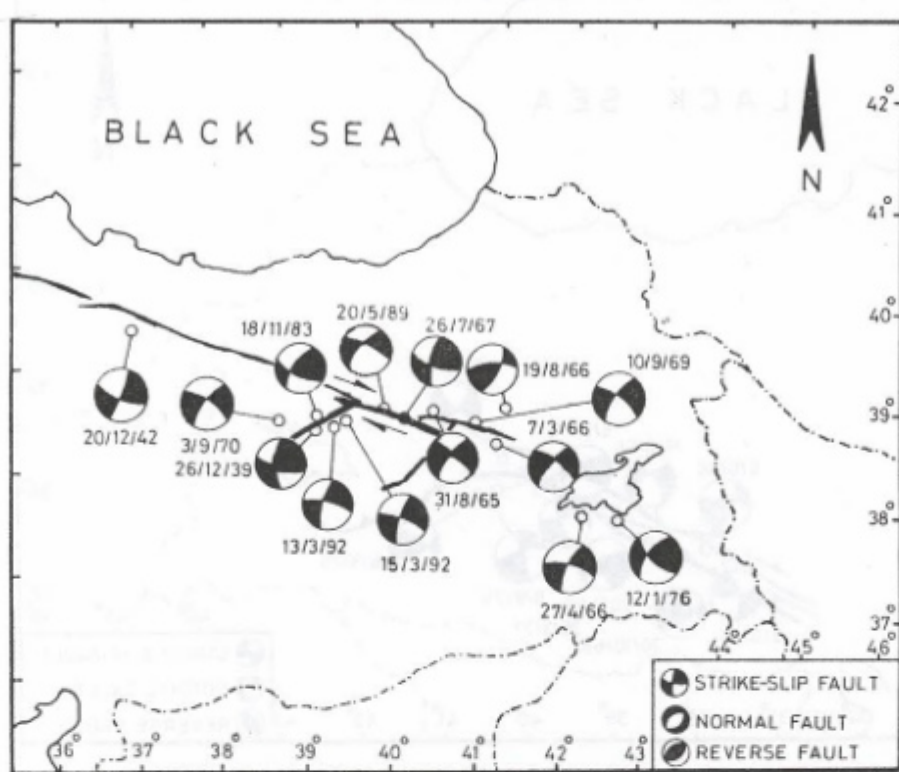


Fig. 5. Fault plane solutions of the earthquakes located in North Anatolian Fault Zone.

Şekil 5. Kuzey Anadolu Fay Zonunda olan depremlerin fay düzlemi çözümleri haritası.

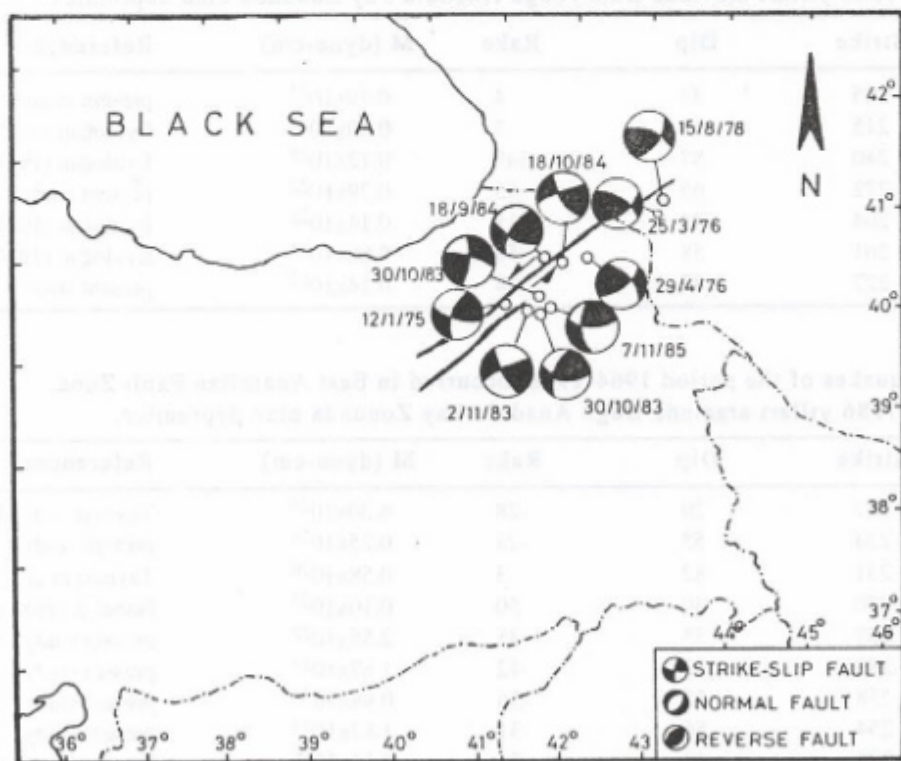


Fig. 6. Fault plane solutions of the earthquakes located in Northeast Anatolian Fault Zone.

Şekil 6. Kuzeydoğu Anadolu Fay Zonunda olan depremlerin fay düzlemi çözümleri haritası.

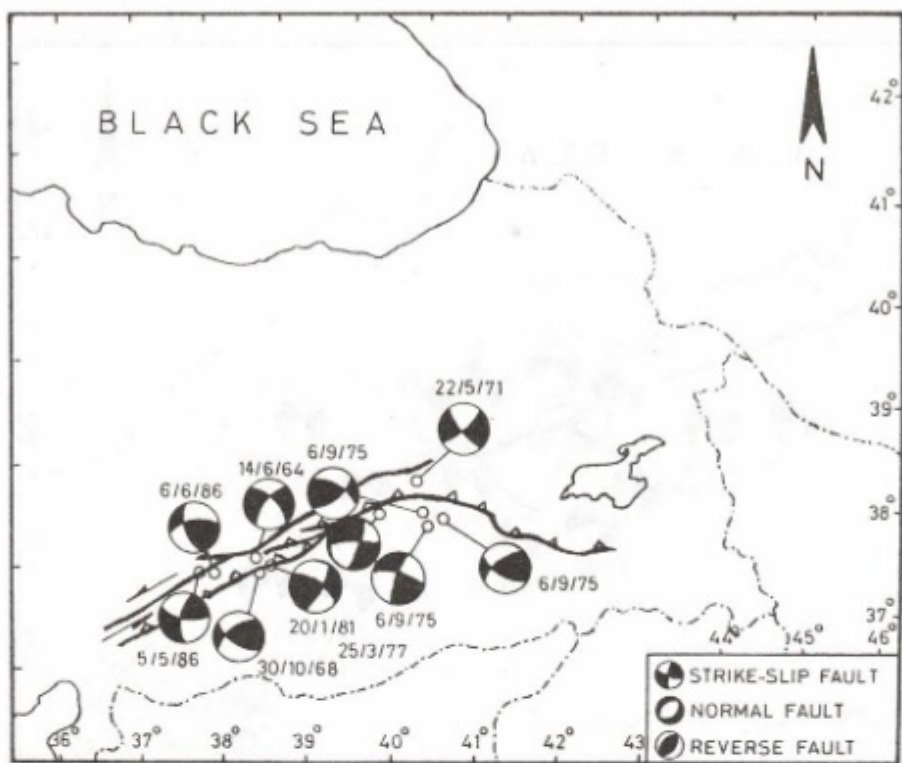


Fig. 7. Fault plane solutions of the earthquakes located in East Anatolian Fault Zone.

Şekil 7. Doğu Anadolu Fay Zonunda olan depremlerin fay düzleme çözümleri haritası.

Table 3. Earthquakes of the period 1975-1985, occurred in Northeast Anatolian Fault Zone.

Çizelge 3. 1975-1985 yılları arasında Kuzeydoğu Anadolu Fay Zonunda olan depremler.

Date	Strike	Dip	Rake	M (dyne-cm)	References
12.01.1975	205	82	4	0.79×10^{22}	present study
30.10.1983	215	64	7	0.80×10^{26}	Eyidoğan (1987)
30.10.1983	240	87	349	0.12×10^{25}	Eyidoğan (1987)
02.11.1983	272	65	55	0.79×10^{22}	present study
18.09.1984	204	81	11	0.14×10^{25}	Eyidoğan (1987)
18.10.1984	261	58	54	0.80×10^{24}	Eyidoğan (1987)
07.11.1985	227	47	28	0.14×10^{23}	present study

Table 4. Earthquakes of the period 1964-1986, occurred in East Anatolian Fault Zone.

Çizelge 4. 1964-1986 yılları arasında Doğu Anadolu Fay Zonunda olan depremler.

Date	Strike	Dip	Rake	M (dyne-cm)	References
14.06.1964	227	29	-28	6.30×10^{24}	Taymaz et al. (1991b)
30.10.1968	234	55	-28	0.25×10^{24}	present study
22.05.1971	231	82	3	0.58×10^{26}	Taymaz et al. (1991b)
06.09.1975	270	50	50	0.10×10^{27}	Nabelek (1984)
06.09.1975	257	55	35	2.55×10^{22}	present study
06.09.1975	280	52	42	1.87×10^{22}	present study
25.03.1977	258	52	-56	0.98×10^{24}	present study
20.01.1981	254	56	31	1.87×10^{22}	present study
05.05.1986	273	49	31	0.11×10^{26}	Taymaz et al. (1991b)
06.06.1986	275	27	30	0.90×10^{26}	Taymaz et al. (1991b)

$$\begin{bmatrix} -44.51 & -23.39 & 6.53 \\ -23.39 & 18.50 & 21.40 \\ 6.53 & 21.40 & 25.95 \end{bmatrix} \times 10^{-9} / \text{yr} \quad (13)$$

It is observed that the dominant components of the tensor are e^{11} and e^{22} corresponding to 17.80 mm/yr of contraction in the NS direction and 7.50 mm/yr of extraction in the EW direction. The tensor also reveals that the average left-lateral shear motion in the EW direction is 3.50 mm/yr.

The thickening of the seismogenic layer corresponds to approximately 0.40 mm/yr.

Çaldıran Fault Zone

Çaldıran fault is approximately 50 km long. It contains an 18° bend near Çaldıran which separates the fault two sections. The fault plane solutions of earthquakes used in the calculations are listed in Table 5. Fault plane solutions of the earthquakes located in CFZ used are shown in Figure 8. The length of the deforming area is 120 km and its width is 4 km. The strain rate tensor was calculated to be as follows:

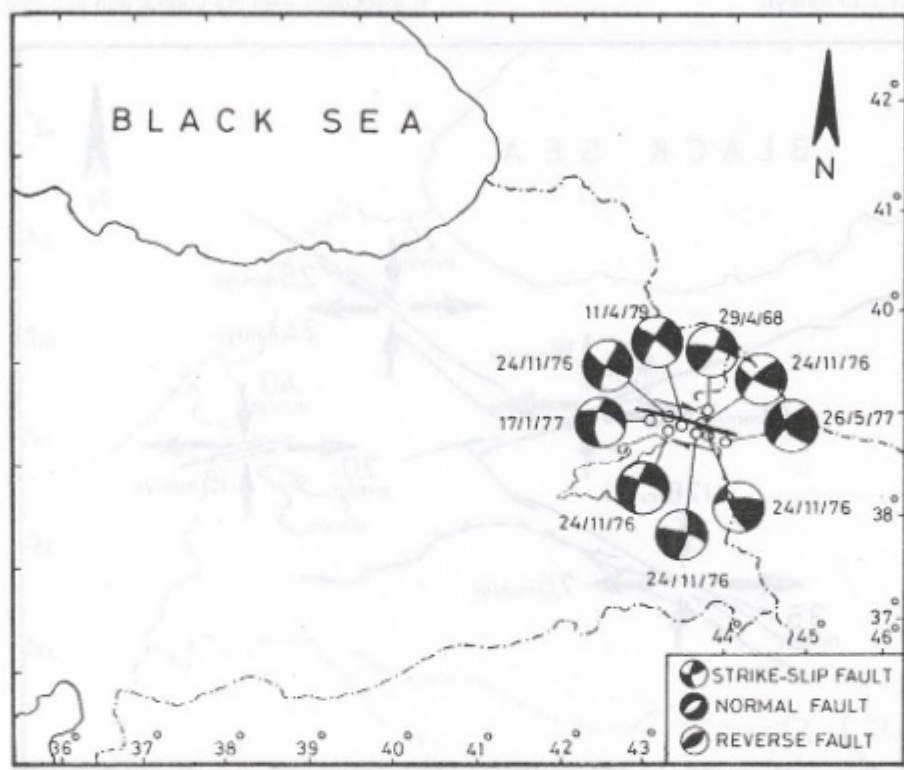


Fig. 8. Fault plane solutions of the earthquakes located in Çaldıran Fault Zone.

Şekil 8. Çaldırın Fay Zonunda olan depremlerin fay düzlemleri çözümü haritası.

Table 5. Earthquakes of the period 1968-1979, occurred in Çaldıran Fault Zone.

Cizelge 5. 1968-1979 yılları arasında Caldıran Fay Zonunda olan depremler.

Date	Strike	Dip	Rake	M (dyne-cm)	References
29.04.1968	298	80	-146	2.5×10^{22}	present study
24.11.1976	163	90	152	8.24×10^{23}	present study
24.11.1976	137	70	143	1.02×10^{24}	present study
24.11.1976	282	62	-141	7.94×10^{21}	present study
24.11.1976	154	58	143	7.94×10^{21}	present study
24.11.1976	245	57	121	7.94×10^{21}	present study
17.01.1977	293	62	-146	1.92×10^{22}	present study
26.05.1977	170	64	149	1.90×10^{22}	present study
11.04.1979	284	62	-151	7.94×10^{21}	present study

$$\begin{bmatrix} -2.49 & -1.91 & 3.49 \\ -1.91 & 1.73 & 1.59 \\ 3.49 & 1.59 & 0.76 \end{bmatrix} \times 10^{-9} / \text{yr} \quad (14)$$

It is seen that the dominant components are ϵ_{11}^* and ϵ_{22}^* which corresponds to about 40.0 mm/yr for NS contraction and 7.00 mm/yr for the EW extension. The results also show left-lateral shear in the EW direction corresponding to about 15.0 mm/yr and thickening of the seismogenic layer, at a rate of only 1.15 mm/yr.

DISCUSSION AND CONCLUSIONS

The analysis in this study is based on information on the seismicity parameters of the area and on the moment tensors of well-studied earthquakes. Deformation rates for four different seismotectonic zones are given in Table 6. The results of this study, which are broadly illustrated in Figure 9, are consistent with the tectonics of studied area and can be summarized as follows:

The calculated strain rate tensors indicate that the dominant mode of deformation in the North Anatolian Fault zone is associated with NS contraction at a rate of about 18 mm/

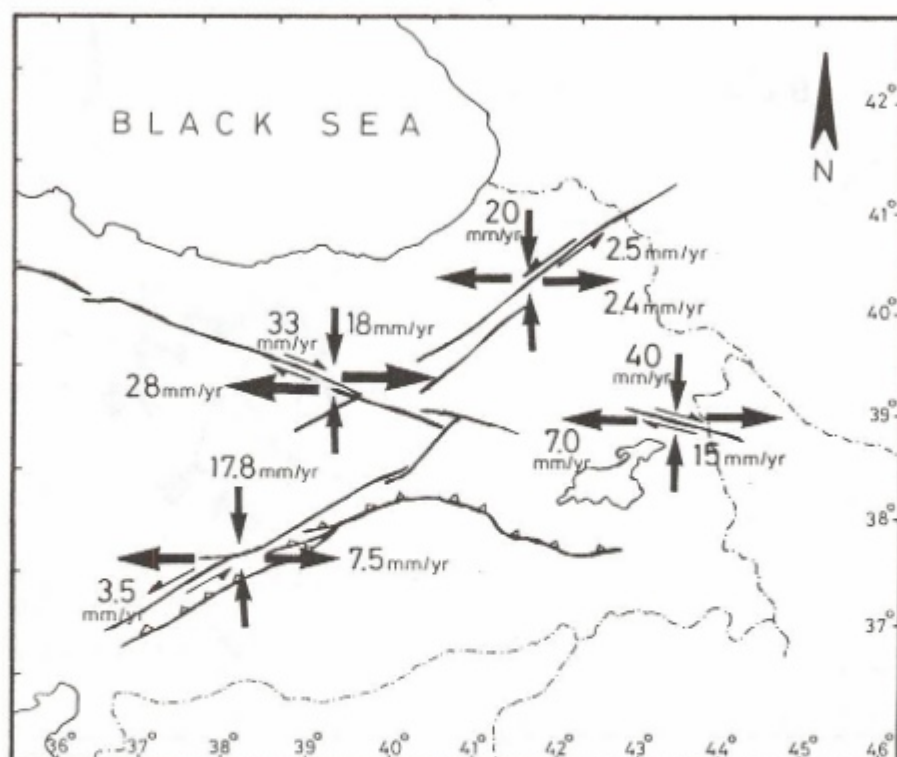


Fig. 9. Schematic illustration of the deformation rates of the studied zones.

Şekil 9. Çalışılan zonlardaki deformasyon miktarlarının şematik gösterimi.

Table 6. Calculated deformation rates.

Çizelge 6. Hesaplanan deformasyon miktarları.

Deformation Zone	North Anatolian Fault Zone	Northeast Anatolian Fault Zone	East Anatolian Fault Zone	Calderian Fault Zone
NS contraction rate, mm/yr	18.00	20.00	17.80	40.00
EW extension rate, mm/yr	28.00	2.40	7.50	7.0
Left-lateral displacement rate, mm/yr	-	2.50	3.50	-
Right-lateral displacement rate, mm/yr	33.00	-	-	15.00
Thickening rate, mm/yr	0.16	0.12	0.40	1.15

yr and EW extension at a rate of 28 mm/yr. The average right-lateral displacement is about 33 mm/yr. This is consistent with right-lateral strike-slip fault mechanism of North Anatolian Fault. The Northeast Anatolian Fault zone exhibits the same pattern of deformation. That is NS contraction at a rate of 20 mm/yr. EW extension is at a rate of about 2.4 mm/yr. The left-lateral shear motion is estimated to have a rate of 2.5 mm/yr. This is also consistent with the left-lateral strike-slip fault mechanism. In EAFZ, the deformation is taken up as nearly NS contraction at a rate of 17.80 mm/yr and as nearly EW extension at a rate of about 7.5 mm/yr. The average left-lateral motion has a rate of about 3.5 mm/yr. In Çaldıran Fault Zone, NS contraction at a rate of 40 mm/yr and EW extension at a rate of 7.0 mm/yr are obtained. Right-lateral deformation rate in Çaldıran Fault Zone having right-lateral strike-slip fault mechanism is calculated as 15.0 mm/yr. As a result of NS compression in all zones, thickening rates are found as 0.16 mm/yr in eastern part of NAFZ, 0.12 mm/yr in NEAFZ, 0.40 mm/yr in EAFZ and 1.15 mm/yr in CFZ, respectively.

REFERENCES

- Aki, K. and Richards, P.G., 1980, Quantitative Seismology: Theory and Methods, Vol. 1, Freeman, San Francisco, California, 557pp.
- Allen, C.R., 1969, Active faulting in northern Turkey. Div. Geol. Sci., Calif. Inst. Technol., Contr. No. 1577, 32 pp.
- Ambraseys, N. N., 1979, Some characteristic features of the North Anatolian fault zone. Tectonophysics, 9, 143-165.
- Arpat, E., Şaroğlu, F. and Iz, H.B., 1977, The 1976 Çaldıran earthquake, Yeryuvarı ve İnsan, 2, 29-41.
- Bağcı, G., 1994, Doğu Anadolu'nun depremselliği ve deformasyon biçiminin incelenmesi, Doktora Tezi, 1994, 233 sayfa.
- Barka A.A. and Kadinsky-Cade, K., 1988, Strike-slip fault geometry in Turkey and its influence on earthquake activity. Tectonics, Vol. 7, No. 3, 663-684.
- Barka, A.A. and Hancock, P.L., 1982, Neotectonic deformation patterns in the convex-northwards arc of the North Anatolian Fault. The Geological Evolution of the Eastern Mediterranean, Spec. Publ., edited by J.G. Dixon and A.H.F. Robertson, pp.763-773.
- Baysal, A.M., 1977, Aftershocks of Lice Earthquake. Report of Istanbul Technical University, Earth Physics Inst., 84 pp. (in Turkish).
- Can, Z.Y., 1982, Investigation of the magnitude equation of the earthquakes recorded at Istanbul (IST) WWSSN station. Senior Thesis, Istanbul Technical University, Turkey, (in Turkish).
- Canitez, N. and Üçer, B., 1967, Computer determinations for the fault plane solutions in and near Anatolia. Tectonophysics, 4, 235-244.
- Dewey, J.W., 1976, Seismicity of Northern Anatolia. Bull. Seismol. Soc. Am., 66, 843-868.
- Eyidoğan, H., 1987, Levha içi depremlerin gücü Jeofizik 1, 103-110.
- Jackson, J. and McKenzie, D., 1988, The relationship between plate motions and seismic moment tensors, and the rates of active deformation in the Mediterranean and Middle East, Geophys. J., 93, 45-73.
- Ketin, I., 1948, Über die tektonisch-mechanischen Folgerungen aus den grossen Anatolischen Erdbeben des letzten Dezenniums. Geol. Rundsch., 36, 77-83.
- Ketin, I., 1968, Relation between general tectonic features and the main earthquake region of Turkey. Bull. Mineral Res. Expl. Inst., 71, 63-67.
- Ketin, I., 1969, On the North Anatolian fault. Bull. Mineral Res. Expl. Inst., 72, 1-26.
- Kiratzi, A., Wagner, G. and Langston, C., 1991, Source parameters of some large earthquakes in Northern Aegean determined by body waveform inversion. Pure appl. Geophys., 135, 515-527.
- Kiratzi, A., 1993, A study on the active crustal deformation of the North and East Anatolian Fault zones. Tectonophysics, 225, 191-203.
- Kostrov, V.V., 1974, Seismic moment and energy of earthquakes and seismic flow of rock. Izv. Acad. Sci. USSR, Phys. Solid Earth, 1, 23-44.
- McKenzie, D.P., 1972, Active tectonics of the Mediterranean Region. Geophys. J. R. Astron. Soc., 30, 109-185.
- Nabelek, J., 1984, Determination of earthquake source parameters from inversion of body waves, Ph.D. Thesis, Mass. Inst. Technol., Cambridge, Ma.
- Şaroğlu F. and Güner, Y., 1979, The Tutak active fault, its characteristics and relation to the Çaldıran fault (in Turkish), Yeryuvarı ve İnsan, 4, 11-14.
- Şaroğlu, F., 1985, Geological and tectonic evolution of Eastern Turkey during Neotectonic period (in Turkish), Ph.D. Thesis, 242 pp., Univ. of Istanbul, Turkey.
- Şengör, A.M.C., 1979, The North Anatolian transform fault: its age, offset and tectonic significance. J. Geol. Soc. London, 136, 269-282.

- Şengör, A.M.C., 1980, Fundamentals of neotectonics of Turkey, *Türk. Jeol. Kurumu Konf. Seri.*, 2, 40 pp.
- Şengör, A.M.C. and Canitez, N., 1982, The North Anatolian Fault, In Alpine and Mediterranean Geodynamics, H. Berckhemer and K. Hsul (Editors), *Geodyn. Ser.*, Am. Geophys. Union, 7, 205-216.
- Seymen, L., 1975, Tectonic characteristics of the North Anatolian fault zone in the Kelkit valley, Ph.D. Thesis, 192 pp., ITU, Istanbul, Turkey.
- Stewart, G. and Kanamori, H., 1982, Complexity of rupture in large strike-slip earthquakes in Turkey. *Phys. Earth Planet. Inter.*, 28, 70-84.
- Taymaz, T., Jakson, J. and McKenzie, D., 1991a, Active tectonics of the north and central Aegean Sea. *Geophys. J. Int.*, 106, 433-490.
- Taymaz, T., Eyidoğan, H. and Jackson, J., 1991b, Source parameters of large earthquakes in the East Anatolian Fault Zone (Turkey). *Geophys. J. Int.*, 106, 537-550.
- Tokay, M., 1973, Geological observation on the North Anatolian fault zone between Gerede and Ilgaz. Symposium on the North Anatolian Fault Zone, Spec. Publ., MTA, Ankara, Turkey.
- Toksöz, N., Nabelek, J. and Arpat, E., 1978, Source properties of the 1976 earthquake in east Turkey a comparison of field data and teleseismic gaps, *Pure App. Geophys.*, 117, 1258-1270.
- Toksöz, M.N., 1979, Field investigations and precursors of the 6 September 1975 and 24 November 1976 earthquakes in Turkey. *Int. Symp. on Earthquake Prediction*, UNESCO Headquarters, Paris.
- Toksöz, M.N., Shakal, A.F. and Micheal, A.J., 1979, Space-time migration of earthquakes along the North Anatolian fault zone and seismic gaps. *Pure App. Geophys.*, 117, 1258-1270.

BURSA İVME-ÖLÇER AĞINDA (BUSNET) KAYDEDİLEN DEPREMLERİN KAYNAK PARAMETRELERİNİN KESTİRİLMESİ

Estimation of the Source Parameters from the Earthquake Records of Bursa Acceleration Network (Busnet)

Orhan D. POLAT*

ÖZET

Bursa SM2 Ağında (BUSNET) algılanmış küçük depremlerin kaynak parametrelerinin bulunması için ivme ve yerdeğiştirme spektrumları incelenmiştir. BUSNET ağında Bursa ve çevresinde kurulmuş 5 adet ivme-ölçer sismografi bulunmaktadır. Ivme sismografları genellikle Permiyen yaşlı kireçtaşları ve Neojen yaşlı birimler üzerinde kurulmuştur. Episantır uzaklılığı 100 km den küçük olan 40 depremin üç bileşenli sayısal ivme sismogramları elde edilmiştir. Kaynak boyutu, sismik moment ve gerilme düşümü gibi kaynak parametrelerinin belirlenmesi amacıyla ve spektrum eğiminin hızla azaldığı F_{max} frekansının varlığını saptamak için SH ivme ve yerdeğiştirme spektrumları incelenmiştir. f_0 ile F_{max} parametrelerinin geçerliliği ivme ve yerdeğiştirme spektrumları üzerinde araştırılmıştır. Ayrıca çeşitli Q_s soğrulma modelleri için spektral parametrelerdeki değişim incelenmiştir.

Bu çalışmada kullanılan depremlerin yerleri saptanırken Ezen (1973)'in tabakalı yer kabuğu modeli kullanılmıştır. Ivme kayıtları iki kez integre edilerek yerdeğiştirme kayıtları elde edilmiştir. İncelenen sismogramlar %10 luk bir kosinüs penceresinden geçirildikten sonra spektrum hesabı için FFT uygulanmıştır. Saptanan spektrumların birçoğu, yalnız bir kaynak spektrumunun kestirilmesi için önerilen Brune spektrumundan farklılık göstermektedir. Kökeni ve fiziksel mekanizması tartışmalı olan F_{max} parametresi spektrumlarda gözlenmiştir. Ivme kaydından yerdeğiştirme kaydına geçmeksızın köşe frekansı f_0 değerinin bulunabileceği gösterilmiştir. F_{max} parametresine yer ve kaynak etkisi açık olarak gösterilememiştir. Kinematik ve dinamik kaynak parametreleri arasındaki bağıntılar saptanmıştır.

ABSTRACT

The acceleration and displacement spectra of small earthquakes detected by BURSA SM2 NETWORK (BUSNET) are studied to infer source parameters. The network consists of 5 acceleration seismographs deployed in around Bursa city. The acceleration recorders were installed mainly on the sites where thick Permian limestone and thick Neogene formations exposed. Threecomponent digital accelerograms obtained for 40 earthquakes at epicentral distances less than 100 km were analyzed. SH acceleration and displacement spectra were examined to infer source parameters such as source size, seismic moment and stress drop, and to determine the existence of the cutoff frequency F_{max} beyond which the spectral amplitudes decay sharply. The validity of f_0 and F_{max} were tested on the acceleration and displacement spectra. The effect of various Q_s models on the source spectra is also discussed.

The earthquakes used in this study are located for a layered crustal structure. SH acceleration seismograms were integrated twice to get the displacement records. The resulting time series were multiplied by 10 percent cosine window and FFT was applied to calculate the spectra. I found that the appearance of the most of the source spectra depart from Brune's source model which predicts simple source spectrum. Signature of F_{max} phenomena of which the origin and the physical mechanism is controversy, is observed from the acceleration spectra. It is shown that the corner frequency f_0 can be determined from the acceleration record without converting the signal to displacement record. I could not observe clear evidences of site and source effects on the F_{max} parameter. The equations between kinematic and dynamic source parameters are determined.

* ITÜ Maden Fak., Jeofizik Müh. Böl., Maslak 80626 İstanbul

GİRİŞ

Depremlerin ölçeklendirilmesi ve deprem kaynak özelliklerinin daha iyi tanınması amacıyla yapılan çalışmalar sonunda, depremlerin çok sayıda kaynak parametresi ile tanımlanabileceği öngörülmüştür. Deprem kaynağı ile ilgili bilgileri elde etmek için deprem kayıtlarının spektrumları incelenmektedir. İlk defa Haskell (1964), spektrumlara ait spektral parametrelerin değiştığını gözlemlemiş ve deprem kaynağını spektral ortamda ölçeklendirmeye çalışmıştır. Aki (1967), Haskell (1964)'in önerdiği kaynak modeline dayanarak deprem kaynak spektrumunu, fay düzlemi üzerindeki dislokasyonun öziliğini cinsinden açıklamış ve büyülük (magnitüd, M) - sismik moment (M_0 , dyne.cm) arasındaki ölçeklendirmeyi tartışırmıştır. Brune (1970,1971) bütün bu varsayımların dışında deprem kaynağını Dairesel Kaynak Modeli ile açıklamaya çalışmıştır. Savage (1972), bu kaynak modelini kullanarak köşe frekansı (f_0 , Hz) ile fay boyutu (r , km) değişimini incelemiştir ve genliğin frekans ile ters orantılı azalmasının gerilme düşümü ($\Delta\sigma$, bar) üzerindeki etkilerini ortaya koymuştur. Archuleta ve diğ. (1982), bir depremin birden fazla istasyonda kaydedilmesi durumunda, elde edilen spektral parametreleri kullanarak ortalama deprem kaynak parametrelerini hesaplamıştır. Bütün bu spektral parametreler yer değiştirme spektrumundan elde edilmiştir. Bu çalışmaların dışında, ivme ve yerdeğiştirme spektrumlarında köşe frekansını takiben belli bir frekans değerinden sonra genliklerin çok daha hızlı olarak azaldığı ortaya çıkarılmıştır. Bu frekans değeri Hanks (1982) tarafından F_{max} olarak adlandırılmıştır. Bu parametrenin kökeninin kaynak mı yoksa ortam mı olduğuna ilişkin kesin kanıtlar bulunamamıştır.

Marmara bölgesi ve çevresinden elde edilen depremler için kaynak parametre çalışması Biçmen ve diğ. (1993) tarafından yapılmıştır. Brune (1970,71) kaynak modelinin esas alındığı bu çalışmada, büyülüklüğü 2.5 - 4.1 arasındaki 84 depremin kaynak parametreleri hesaplanmıştır. Bu çalışmada P ve S fazlarına ait köşe frekansi değerlerinin 1.8 - 5.5 Hz, sismik momentin 1017 - 1019 dyne.cm, sismik enerjinin 107 - 1011 erg, gerilme düşümünün ise 10⁻⁵ - 10⁻¹ bar arasında değiştiği belirtilmiştir. Polat (1995), "Kuzeybatı Anadolu Projesi" kapsamında elde edilen deprem verilerini kullanarak, Bursa ve çevresindeki mikrodeprem aktivitesinin şehrin güneydoğusunda kümelenliğini tespit etmiştir. Ayrıca mikrodepremlerin kaynak özelliklerini incelemiş ve F_{max} parametresini irdelemiştir. Aktar ve diğ. (1996), Bursa bölgesi ve çevresine ait mikrodepremlerin dağılımını incelemiştir ve aktivitenin 3 ayrı bölgede kümelenliğini tespit etmiştir. Eyidoğan ve diğ. (1997), bölgeden elde edilen verilere soğrulma (attenuation)ının etkisini incelemiştir ve frekans ile koda Q arasındaki değişimi Q_c

(f)=41· $f^{-0.84}$ bağıntısı ile vermişlerdir. Sellami ve diğ. (1997), magnitüdü 4'den küçük Bursa bölgesi ve çevresi depremlerinin odak mekanizması çözümlerini inceleyerek bölge sismotektonik yapısı hakkında çalışmalar yapmışlardır. Bölgenin soğrulma özelliklerinin daha iyi anlaşılabilmesi amacıyla bilimsel çalışmalar halen sürdürilmektedir.

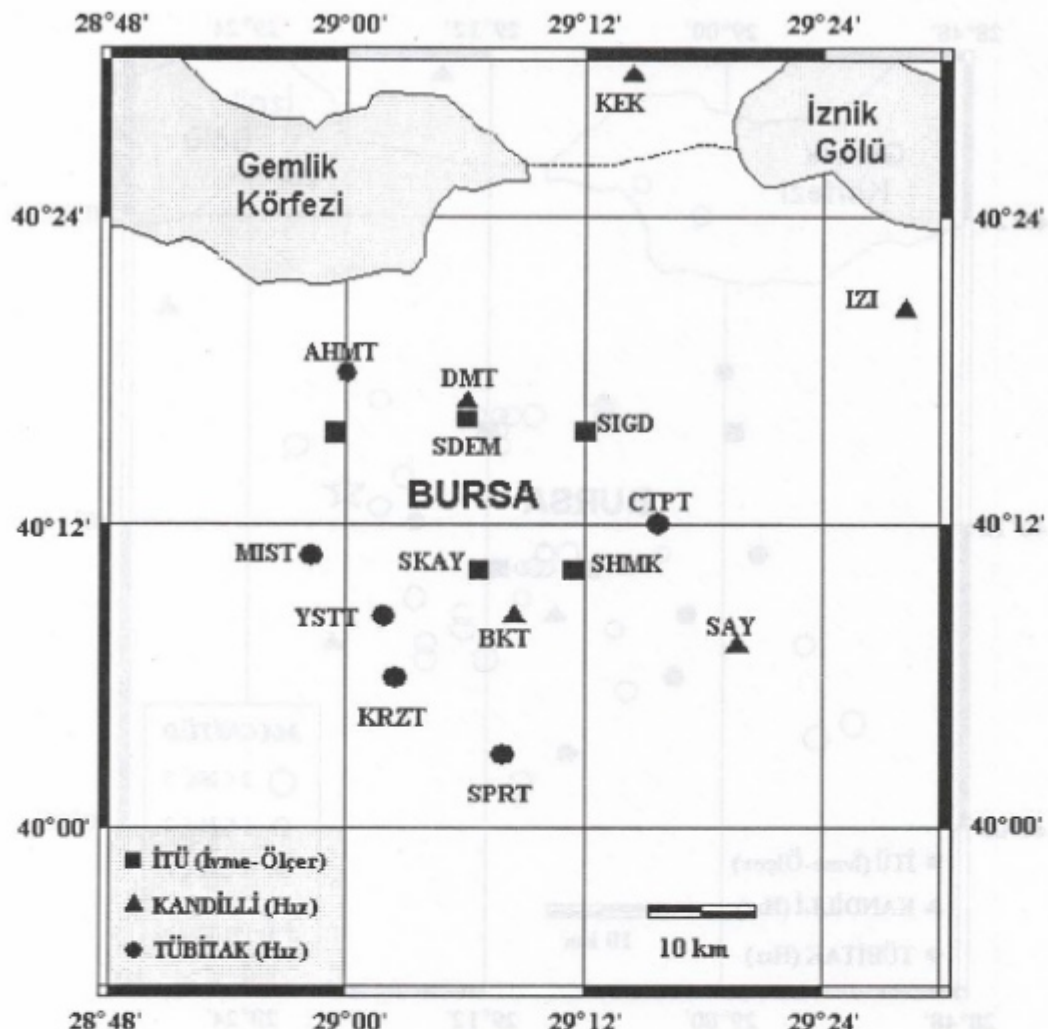
JEOLOJİ

Bursa yöresi, Türkiye'nin tektonik birliklerinden olan Sakarya kıtasının, Batı Anadolu'ya ait bölümünün kuzeyinde yer alır. Uludağ masifinin kuzeybatı eteğinde kalan bölge Permiyen, Mesozoyik ve Senezoik yaşılı kırıntılı sedimanlarla ve fosilli kır夲aşlarıyla kaplıdır (Ketin, 1983). Bursa ovası genel olarak bir graben yapısına sahiptir. Ovanın etrafında çeşitli jeolojik birimler bulunmaktadır.

Bu çalışmada kullanılan kayıt istasyonları çeşitli jeolojik birimler üzerindedir. Demirtaş (SDEM) deprem istasyonu ovanın kuzeyinde; genç alüvyonlar, Permiyen yaşılı alüviyal çökeller ve Neojen örtü birimleri arasında yer alan kumtaşları üzerinde bulunur. Ovanın batısında kalınlığı tam olarak tesbit edilemeyen Neojen yaşılı birimler yer alır. Hamitler (SHMT) deprem istasyonu, bölgede kil-kum-çakıltaşı ardalanması şeklinde derinlere doğru devam eden bu birimler üzerinde bulunmaktadır. Ovanın güneyinde, Uludağ eteklerinde mermer, gnays ve kireçtaşlarından oluşan birimler yerleşmiştir. Kapıkaya (SKAY) deprem istasyonu Uludağ'ın eteklerinde yer alan kristalize kireçtaşı blokları üzerindeştir. Ovanın güneydoğusunda genç alüvyonlar bulunur. Hamamlıkızık (SHMK) deprem istasyonu Uludağın kuzey yamacındaki sıçan iri taneli yamaç molozları (yığışım malzemesi) üzerine yerleştirilmiştir. İğdır (SIGD) deprem istasyonu ise, ovanın hemen kuzeydoğusunda yer alan Permiyen yaşılı kalın kireçtaşları üzerinde kurulmuştur. Ova etrafına yerleştirilmiş olan ivme-ölçerler ile birlikte, Bursa ve çevresinin sismotektonik araştırmalarına katılan TÜBİTAK-MAM Yer Bilimleri Bölümü ve Kandilli Rasathanesi Deprem Araştırma Enstitüsü hız kayıtçı istasyonları Şekil 1' de gösterilmiştir.

VERİLER

Bu çalışmada kullanılan ivme sismogramları Bursa bölgesinde kurulmuş 5 adet ivme-ölçer sismografi ile elde edilmiştir. Sismograflar İsviçre SIG-SA firmasının SM2 modeli sayızal ve üç bileşenli kayıtçileridir. Örneklemeye frekansı 128 Hz olan 12 bitlik kayıtçilerin frekans tepki fonksiyonu 0.2-30 Hz arasında düzdür. Kayıtçıların bu çalışmada tetikleme eşik değerleri 0.4 - 0.8 mg arasında kalmıştır.



Şekil 1. Bursa ve çevresinde kurulmuş deprem istasyonlarının dağılımı.

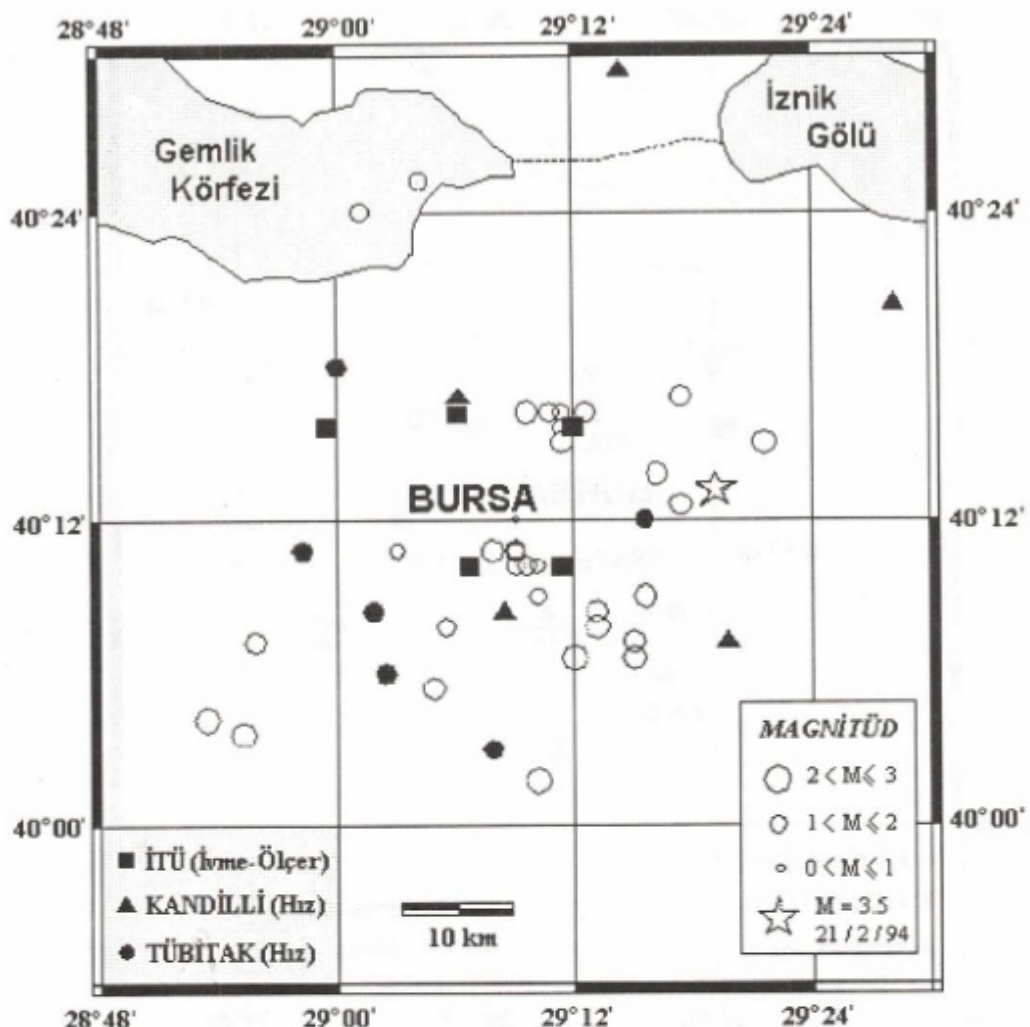
Fig. 1. Map of the seismic stations deployed in and around Bursa region.

Kasım 1992 ile Şubat 1994 arasında olmuş 40 deprem için elde edilen ivme verilerinin P ve S fazlarının varyansları okunmuştur. Bu veri ile birlikte TÜBİTAK ve Kandilli Rasathanesine ait bölgede bulunan diğer deprem istasyonlarından elde edilen varış zamanları bir araya getirilerek, depremlerin yerleri HYPO71PC (IASPEI, 1989) programı kullanılarak belirlenmiştir. Depremlerin büyüklükleri deprem kayıt süreleri kullanılarak elde edilmiştir. Çalışmada kullanılmak üzere RMS (ortalama karekök hata) değerleri küçük olan 40 deprem seçilmişdir ($RMS < 1$). Seçilen depremlerin lokasyon (yer bulma) işleminin yapılmasıyla elde edilen harita Şekil 2'de verilmiştir; ancak bu harita depremsellik haritası olarak algılanmamalıdır.

IVME KAYITLARININ ANALİZİ

Spektral Parametrelerin Bulunması

Spektrumların hesaplanması PITSA (IASPEI, 1991) isimli paket program kullanılarak gerçekleştirilmiştir. Spektrum hesabı öncesi veriler üzerinde bazı işlemler yapılmıştır. 3 bileşen olarak kaydedilen ivme kayıtlarının (Şekil 3) offset düzeltmeleri yapıldıktan sonra, bu sismogramların trapezoidal (yamuk) kuralına göre integralinin hesaplanmasıyla hız sismogramı ve yerdeğiştirme sismogramı bulunmuştur (Şekil 4). Bu sismogramlar üzerinde S dalgasına ait 3 yada 4 sn'lık veri kullanılarak, SH ivme ve yerdeğiştirme bileşenleri elde edilmiştir. SH verileri daha sonra %10 işlemeli kosinus penceresi ile çarpılmış ve Hızlı Fourier Dönüşümü (FFT) kullanılarak spektrumları hesap-



Şekil 2. Bu çalışmada ivme kayıtları kullanılan depremlerin dağılımı.

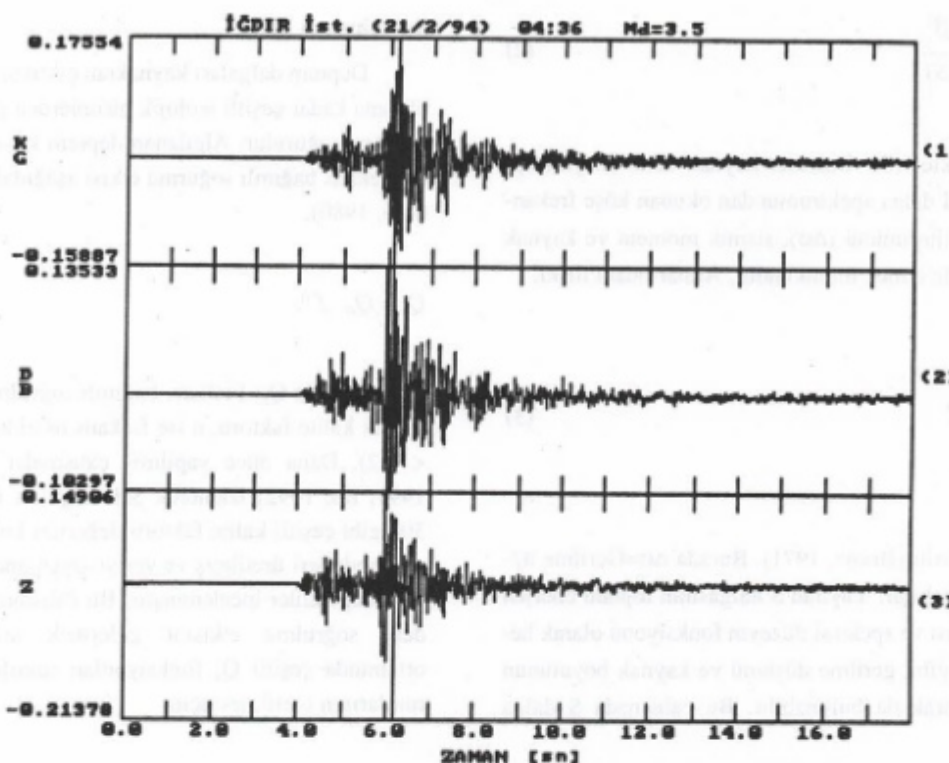
Fig. 2. Epicenters of the earthquakes of which the seismograms are studied.

lanmıştır. Köşe frekansı f_o ve F_{max} parametreleri ivme ve yerdeğiştirme, spektral düzey (Ω_o) ise sadece yerdeğiştirme spektrumlarından gözle okunmuştur. Her iki spektrumdan elde edilen köşe frekansı f_o ve F_{max} parametreleri karşılaştırılarak benzer ve farklı yanları ortaya konulmuştur. Brune (1970, 1971)*’ın Dairesel Kaynak Modeli esas alınarak ivme ve yerdeğiştirme verilerinin spektrumlarından, kaynak parametreleri belirlenmeye çalışılmış ve her iki spektrumdan elde edilen kaynak parametrelerinin uyumu incelenmiştir.

Sismik moment M_o , yerdeğiştirme spektrumundan okunan spektral düzey (Ω_o) değeri kullanılarak hesaplanmıştır. Aralarındaki ilişki,

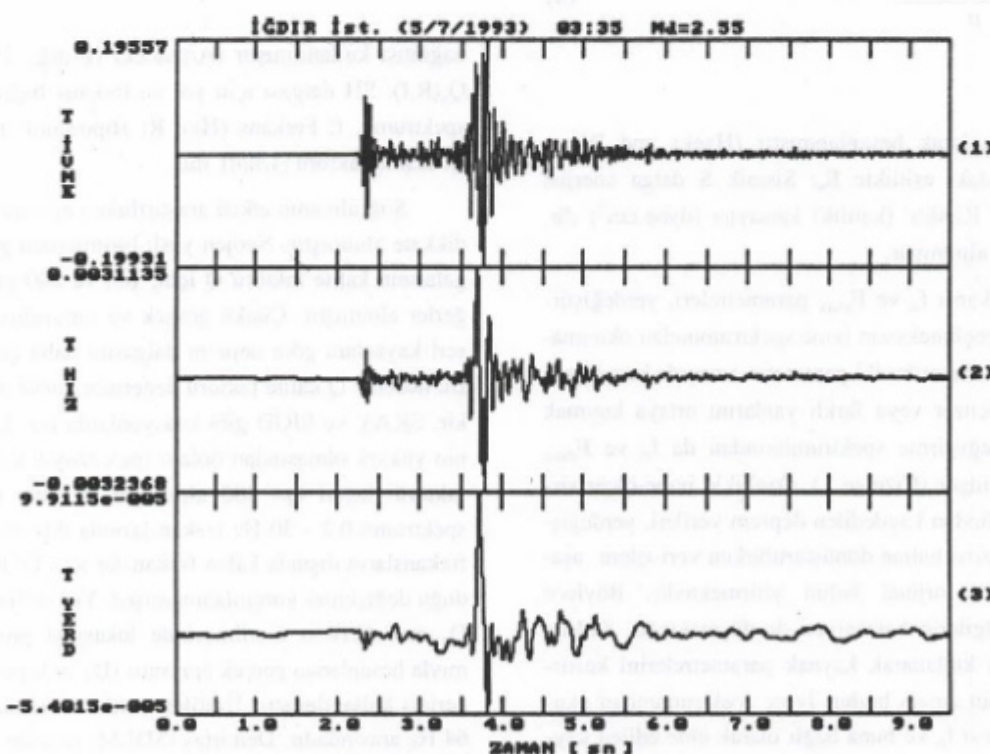
$$Mo(S) = \frac{\Omega_o \cdot 4\pi \cdot \rho \cdot R \cdot \beta^3}{k_s \cdot R\beta(\theta, \phi)} \quad (1)$$

bağıntısı ile verilir (Keilis-Borok, 1960). Yukarıdaki bağıntıda verilen $M_o(S)$: SH dalgasından elde edilen sismik moment (dyne.cm), $\Omega_o(S)$: SH dalga spektrumundan okunan spektral düzey (cm.sn), ρ : Yoğunluk (gr/cm^3), R : Hiposantır (kaynak-alıcı) uzaklığı (km), β : S dalga hızı (km/sn), k_s : S dalgası için serbest yüzey düzeltmesi ve $R\beta(\theta, \phi)$: Yayılım örüntüsü (radiation pattern) katsayıdır. Burada $\rho = 2.7$ gr/cm^3 , $\beta = 3.3$ km/sn , $k_s = 2$ ve $R\beta(\theta, \phi) = 0.6$ alınmıştır. Dairesel kaynak alanının yarıçapı (r), köşe frekansı f_o ’dan hesaplanır ve aşağıdaki bağıntı ile verilir (Brune, 1971) :



Şekil 3. İncelenen depremlerin üç bileşenli ivme kayıtlarından bir örnek.

Fig. 3. An example of three component acceleration seismogram for one of the studied earthquakes.



Şekil 4. Bir depremin döndürüllererek elde edilmiş SH sismogramının ivme, hız ve yerdeğiştirme kaydı.

Fig. 4. Acceleration, velocity and displacement seismogram of a rotated earthquake record (SH).

$$r(S) = \frac{2.34 \cdot \beta}{2\pi \cdot f_o(S)} \quad (2)$$

Bu eşitlikte $r(S)$: Dairesel kaynak alanının yarıçapı (km), $f_o(S)$: SH dalgası spektrumundan okunan köşe frekansıdır. Gerilme düşümünü ($\Delta\sigma$), sismik moment ve kaynak yarıçapı ile ifade etmek mümkündür. Aralarındaki ilişki,

$$\Delta\sigma = \frac{7}{16} \cdot \frac{M_o}{r^3} \quad (3)$$

bağıntısı ile verilir (Brune, 1971). Burada $\Delta\sigma$ =Gerilme düşümü (dyne=bar) dür. Yayılan S dalgasının toplam enerjisi E_s , köşe frekansı ve spektral düzeyin fonksiyonu olarak hesaplanıldığı gibi, gerilme düşümü ve kaynak boyutunun fonksiyonu olarak da bulunabilir. Bu çalışmada S dalgası enerjisi,

$$E_s = \frac{0.454 \cdot (\Delta\sigma)^2 \cdot r^3}{\mu} \quad (4)$$

bağıntısı kullanılarak hesaplanmıştır (Hanks and Wyss, 1972). Yukarıdaki eşitlikte E_s : Sismik S dalgası enerjisi (dyne.cm), m : Rigidite (katılık) katsayısı (dyne.cm²) dir. Burada $\mu=3.11$ alınmıştır.

Köşe frekansı f_o ve F_{max} parametreleri, yerdeğiştirme verilerine geçilmeksızın ivme spektrumundan okunmaya çalışılmıştır. Fakat bu iki parametre arasında karşılaştırma yapmak, benzer veya farklı yanlarını ortaya koymak amacıyla yerdeğiştirme spektrumlarından da f_o ve F_{max} okuması yapılmıştır (Çizelge 1). Özellikle ivme-ölçer sisograflar tarafından kaydedilen deprem verileri, yerdeğiştirme zaman verisi haline dönüştürülürken veri-islem aşamaları sırasında orjinal halini yitirmektedir. Böylece kaynağına ait bilgilerin hassasiyeti de düşmektedir. Sadece ivme verilerini kullanarak kaynak parametrelerini kestirmeye çalışmanın amacı budur. Ivme spektrumundan okunan köşe frekansı f_o ve buna bağlı olarak elde edilen kaynak parametrelerinin, yerdeğiştirme spektrumlarından bulunanlarla büyük bir uyum içerisinde olduğu görülmüşdür (Çizelge 2).

Soğrulanın Etkisi

Deprem dalgaları kaynaktan çıktıktan sonra istasyona ulaşana kadar çeşitli jeolojik birimlerden geçer ve bazı frekansları soğurulur. Algılanan deprem kaydı üzerindeki yol ve frekans bağımlı soğurma etkisi aşağıdaki eşitlikle verilir (Aki, 1980).

$$Q_s = Q_0 \cdot f^n \quad (5)$$

Burada Q_s : Frekans bağımlı soğrulma, Q_0 : 1 Hz için sismik kalite faktörü, n ise frekans üstel katsayısıdır ($0 < n < 1.2$). Daha önce yapılmış çalışmalar (Chin and Aki, 1991; Iio, 1992) izlenerek SH dalgaları için $Q=100, 200, 300$ gibi çeşitli kalite faktörü değerleri kullanılarak soğrulma modelleri üretilmiş ve veriye uygulanarak spektrumlardaki değişimler incelenmiştir. Bu çalışmada veriler üzerindeki soğrulma etkisini gidermek amacıyla, frekans ortamında çeşitli Q_s fonksyonları üretilmiştir. Q_s spektrumlarının üretilmesi için,

$$Q_s(R, f) = c^{\frac{R \cdot f \cdot R}{Q \cdot \beta}} \quad (6)$$

bağıntısı kullanılmıştır (Archuleta ve diğ., 1982). Burada $Q_s(R, f)$: SH dalgası için yol ve frekans bağımlı soğrulma spektrumu, f : Frekans (Hz), R : Hiposantır uzaklığı (km), Q : Kalite faktörü (1/km) dür.

Soğrulmanın etkisi araştırılırken episantır uzaklığı da dikkate alınmıştır. Neojen yaşılı birimlerden geçen SH dalgalarının kalite faktörü Q için, 100 ve 200 gibi küçük değerler alınmıştır. Çünkü gevşek ve tutturulmamış birimler sert kayaçlara göre deprem dalgasını daha çok soğururlar. Bu nedenle Q kalite faktörü değerinin düşük alınması gereklidir. SKAY ve SIGD gibi istasyonlarda ise, kayaç kalitesinin yüksek olmasından dolayı (paleozoyik kireçtaş) kalite faktörü değeri $Q=300$ alınmıştır. Kayıtçı cihazın tepki spektrumu 0.2 - 30 Hz frekanslarında düz olduğundan, bu frekansların dışında kalan frekanslar için Q ' nun neden olduğu değişimler yorumlanmamıştır. Yol ve frekans bağımlı Q_s modellerinin üretilmesinde lokasyon programı yardımıyla hesaplanan gerçek episantır (D) ve hiposantır (R) değerleri kullanılmıştır. Üretilen verilerin frekans aralığı 1 - 64 Hz arasındadır. Demirtaş (SDEM) deprem istasyonunda kaydedilen ve hiposantır uzaklığı $R=6$ km olan bir deprem verisinin ivme spektrumu, Şekil 5' de verilmiştir. Spektrumdan okunan köşe frekansı f_o ve F_{max} parametreleri Şekil

Ef_{av} , EF_{max} olarak gösterilmiştir. IST, depremi kaydeden istasyon sayısıdır.

Table 1. The list of the avarage spectral parameters for the small earthquakes occurred in around Bursa region (Error factors have been calculated by Archuleta et all. (1982) and shown as EQ_n , Ef_n , EF_{max} . IST is the station number which recording the earthquake).

No	YERDEĞİŞİRMELİ SPEKTRUMU						İVME SPEKTRUMU					
	Spektral Düzey (cm/sn)		Köşe frekansı (Hz)		F _{max} (Hz)		F _{max} (Hz)		Köşe frekansı (Hz)		F _{max} (Hz)	
	Ω _c	EQ _n	f _c	E _{f0}	f _c	E _{f0}	I _c	E _{f0}	I _c	E _{f0}	F _{max}	E _{f0}
1	5.41E-04	2.29	4.27	1.18	26.0	1.1	3.29	1.09	22.8	1.2	22.8	1.2
2	2.71E-04	3.17	6.04	1.28	15.0	1.0	5.01	1.93	14.4	1.4	14.4	1.4
3	6.17E-04	5.10	4.82	1.19	15.1	1.1	4.86	1.30	16.9	1.2	16.9	1.2
4	2.73E-05	7.60			30.0		5.00		20.0		20.0	
5	6.69E-05	7.00			30.0		4.00		13.0		13.0	
6	4.55E-05	2.30	6.71	1.52	27.4	1.1	5.66	1.63	22.4	1.2	22.4	1.2
7	1.43E-04		3.40		24.0		5.00		20.0		20.0	
8	1.37E-04	3.04	6.53	1.38	26.2	1.3	4.45	1.20	22.2	1.1	22.2	1.1
9	9.92E-05	1.70			22.0		4.40		26.0		26.0	
10	1.00E-04	3.28	6.14	1.13	28.3	1.1	3.74	1.30	20.2	1.7	20.2	1.7
11	6.46E-04	1.83	4.48	1.43	23.2	1.1	4.63	1.46	22.5	1.1	22.5	1.1
12	1.27E-04	3.25	4.93	1.23	24.7	1.2	4.07	1.31	23.5	1.2	23.5	1.2
13	9.97E-05	4.50	4.93	1.23	24.7	1.0	4.66	1.06	19.5	1.2	19.5	1.2
14	1.93E-04		5.00		25.0		5.00		25.0		25.0	
15	4.53E-05	2.67	4.90	1.33	21.9	1.6	4.00	1.00	20.4	1.4	20.4	1.4
16	4.47E-05	1.88	3.74	1.10	27.0	1.1	5.48	1.14	26.9	1.1	26.9	1.1
17	9.20E-05	8.00			26.0		10.0		32.0		32.0	
18	6.67E-04	2.13	5.28	1.38	21.6	1.4	4.02	1.40	20.4	1.3	20.4	1.3
19	5.74E-04		6.00		19.0		3.00		15.0		15.0	
20	2.47E-05		5.00		27.0		7.00		17.0		17.0	
21	1.61E-04	2.97	4.93	1.23	21.8	1.2	4.16	1.42	20.0	1.0	20.0	1.0
22	3.99E-05		4.00		28.0		10.0		28.0		28.0	
23	1.36E-04	3.58	5.85	1.61	25.4	1.2	3.91	1.29	15.9	1.4	15.9	1.4
24	3.21E-04	4.94	5.48	1.14	24.8	1.2	4.24	1.09	21.5	1.0	21.5	1.0
25	6.95E-05		3.00		28.0		7.00		30.0		30.0	
26	4.25E-05		4.00		23.0		8.00		23.0		23.0	
27	1.65E-04	2.25	2.74	1.14	24.5	1.3	4.90	1.33	23.2	1.4	23.2	1.4
28	6.86E-05	1.52	3.46	1.23	24.1	1.3	5.29	1.49	25.7	1.2	25.7	1.2
29	2.14E-04	3.93	5.29	1.49	21.9	1.1	5.74	1.06	20.0	1.1	20.0	1.1
30	6.84E-05		2.00		30.0		13.0		30.0		30.0	
31	1.87E-07		10.0		21.0		9.00		20.0		20.0	
32	1.98E-04		4.00		21.5		4.00		20.0		20.0	
33	1.99E-04	2.10	3.46	1.23	22.8	1.2	3.87	1.44	18.3	1.5	18.3	1.5
34	7.50E-05	3.76	7.35	1.33	23.7	1.3	7.42	1.75	21.9	1.1	21.9	1.1
35	1.22E-04	2.66	6.37	1.36	23.2	1.2	6.28	1.67	19.7	1.5	19.7	1.5
36	1.31E-05		7.00		30.0		8.50		28.0		28.0	
37	9.41E-05	3.44	4.90	1.33	24.2	1.2	4.24	1.09	23.7	1.3	23.7	1.3
38	4.39E-05	2.63	4.00	1.00	15.5	1.5	5.92	1.27	14.7	2.0	14.7	2.0
39	6.34E-05	2.76	5.48	1.56	18.2	2.0	6.78	2.11	17.3	2.2	17.3	2.2
40	5.90E-03	2.50	2.39	1.23	16.2	1.7	2.24	1.22	16.0	1.7	16.0	1.7

Çizelge 2. Bursa ve çevresinde olmuş küçük depremlerin ortalaması kaynak parametrelerinin dökümü (EMo: Sismik moment için hata faktörü)

Table 2. The list of the average source parameters for the small earthquakes occurred in around Bursa region (EMo: Error factor for the seismic moment).

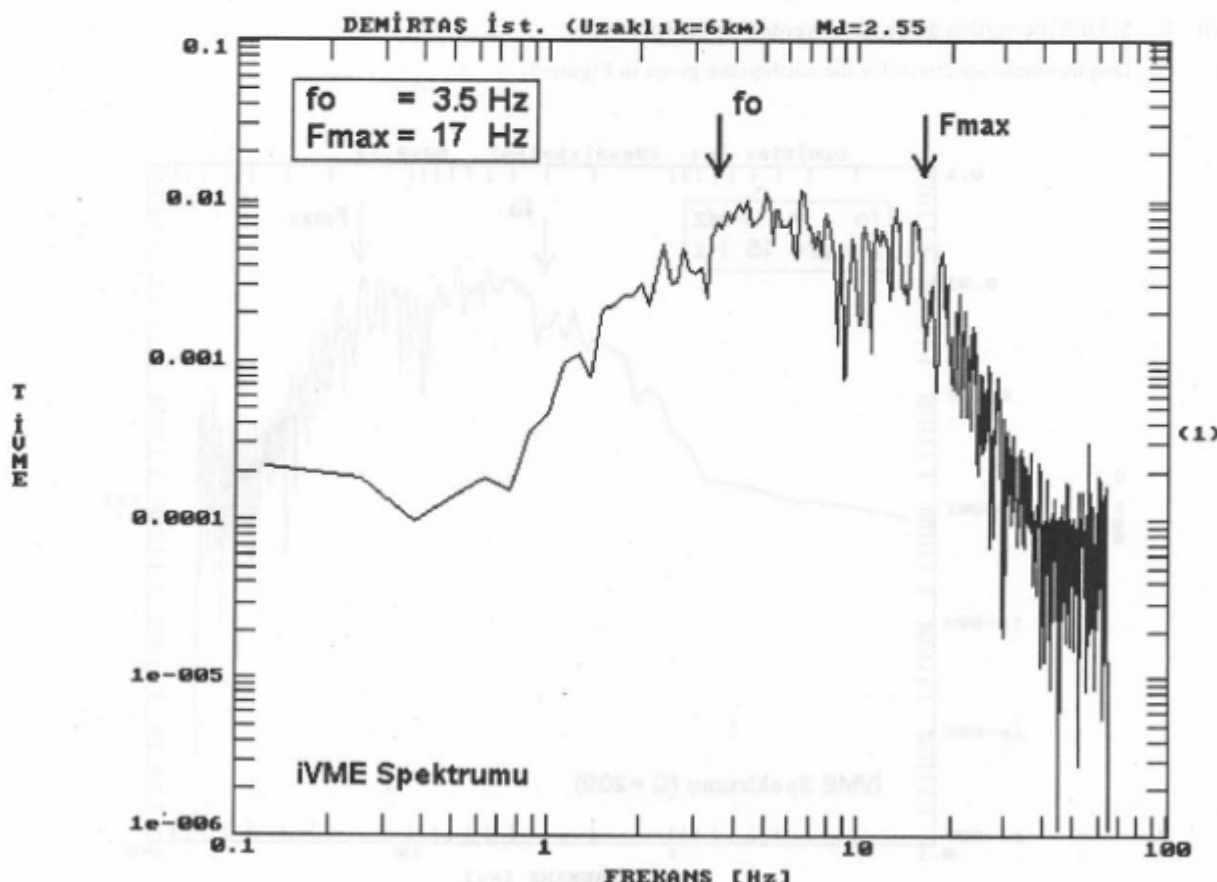
No	YERDEĞİŞİRMELİ SPEKTRUMU				VME SPEKTRUMU				IST
	M _o (dyne/cm ³)	EM _o	T (km)	Δσ (Pa)	Enerji (E _a) (erg)	T (km)	Δσ (Pa)	Enerji (E _a) (erg)	
1	5.50 E+20	1.21	0.29	9.89	3.36 E+15	0.37	4.61	1.68 E+15	2
2	2.75 E+20	1.37	0.21	13.44	2.45 E+15	0.28	5.60	1.02 E+15	3
3	6.27 E+20	1.57	0.26	16.02	6.65 E+15	0.26	15.79	6.56 E+15	4
4	2.77 E+19		0.16	2.87	5.26 E+13	0.25	0.82	1.50 E+13	1
5	6.80 E+19		0.18	5.50	2.47 E+14	0.31	1.03	4.61 E+13	1
6	4.63 E+19	1.39	0.19	2.90	8.88 E+13	0.23	1.65	5.07 E+13	2
7	1.45 E+20		0.36	1.35	1.30 E+14	0.25	4.28	4.12 E+14	1
8	1.40 E+20	2.01	0.19	8.33	7.71 E+14	0.28	2.80	2.59 E+14	3
9	1.01 E+20		0.72	0.12	7.79 E+12	0.28	2.02	1.35 E+14	1
10	1.01 E+20	2.36	0.20	5.47	3.69 E+14	0.34	1.18	7.97 E+13	3
11	6.57 E+19	1.40	0.29	1.22	5.30 E+13	0.28	1.32	5.73 E+13	3
12	1.29 E+20	2.42	0.25	3.49	2.98 E+14	0.31	1.90	1.62 E+14	3
13	1.01 E+20	3.07	0.25	2.75	1.84 E+14	0.26	2.41	1.61 E+14	3
14	1.96 E+20		0.25	5.76	7.46 E+14	0.25	5.76	7.46 E+14	1
15	4.60 E+19	1.79	0.26	1.20	3.66 E+13	0.31	0.69	2.12 E+13	2
16	4.54 E+19	1.78	0.33	0.56	1.68 E+13	0.23	1.74	5.23 E+13	2
17	9.35 E+19		0.15	11.28	6.98 E+14	0.12	22.03	1.36 E+15	1
18	6.78 E+20	1.85	0.24	20.69	9.28 E+15	0.32	9.04	4.05 E+15	5
19	5.83 E+20		0.20	29.69	1.15 E+16	0.41	3.71	1.43 E+15	1
20	2.51 E+19		0.25	0.74	1.23 E+13	0.18	2.03	3.38 E+13	1
21	1.64 E+20	1.85	0.25	4.45	4.83 E+14	0.31	2.47	2.68 E+14	3
22	4.05 E+19		0.31	0.61	1.64 E+13	0.12	9.56	2.56 E+14	1
23	1.38 E+20	2.28	0.23	5.29	4.84 E+14	0.32	1.83	1.68 E+14	3
24	3.27 E+20	2.35	0.23	12.49	2.70 E+15	0.29	5.85	1.26 E+15	2
25	7.06 E+19		0.41	0.45	2.10 E+13	0.18	5.71	2.67 E+14	1
26	4.32 E+19		0.31	0.65	1.86 E+13	0.15	5.21	1.49 E+14	1
27	1.68 E+20	1.98	0.45	0.80	8.93 E+13	0.26	4.38	4.87 E+14	2
28	6.97 E+19	1.51	0.36	0.66	3.05 E+13	0.24	2.17	1.00 E+14	2
29	2.17 E+20	2.28	0.24	6.76	9.73 E+14	0.21	9.68	1.39 E+15	2
30	6.95 E+19		0.61	0.13	6.03 E+12	0.09	35.99	1.66 E+15	1
31	1.90 E+17		0.12	0.04	5.63 E+09	0.14	0.03	4.11 E+09	1
32	2.02 E+20		0.31	3.04	4.06 E+14	0.31	3.04	4.06 E+14	1
33	2.02 E+20	1.91	0.36	1.92	2.56 E+14	0.33	2.51	3.36 E+14	2
34	7.63 E+19	3.34	0.17	6.71	3.39 E+14	0.18	5.84	2.95 E+14	2
35	1.24 E+20	2.49	0.20	6.84	5.61 E+14	0.21	5.59	4.58 E+14	4
36	1.33 E+19		0.18	1.08	9.48 E+12	0.14	1.93	1.70 E+13	1
37	9.56 E+19	2.89	0.26	2.49	1.58 E+14	0.29	1.71	1.08 E+14	2
38	4.46 E+19	1.51	0.31	0.67	1.99 E+13	0.21	2.09	6.16 E+13	2
39	6.44 E+19	3.28	0.24	2.16	9.20 E+13	0.21	3.18	1.35 E+14	2
40	6.00 E+21	2.63	0.52	18.34	7.28 E+16	0.56	15.26	6.06 E+16	4

üzerinde gösterilmiştir. Aynı verinin yerdeğiştirme spektrumu ve bu spektrumdan okunan spektral parametreleri ise Şekil 6' da verilmiştir. İki veri karşılaştırıldığında, her iki spektrumdan okunan köşe frekansı f_0 ve F_{max} in birbirine çok yakın olduğu görülmektedir. Ayrıca, aynı depremi kaydeden tüm istasyonlardan okunan ortalama spektral parametrelerin de uyumlu oldukları gözlenmiştir (Çizelge 1, No:18). Bu veri üzerinden soğurulmanın etkisini gidermek için, kalite faktörü $Q=200$, episantır uzaklığı 5 km almış ve ivme ile yerdeğiştirme spektrumları hesaplanmıştır (Şekil 7 ve Şekil 8). Şekillerde görüldüğü gibi, her iki spektrumda gözlenen f_0 ve F_{max} uyum içerisindeidir.

Kaplıkaya (SKAY) deprem istasyonunda kaydedilen ve hiposantır uzaklığı $R=29$ km olan bir başka deprem verisinin ivme spektrumu Şekil 9' da, yerdeğiştirme spektrumu ise Şekil 10' da verilmiştir. Her iki spektrumdan elde edilen ortalama spektral parametreler uyumludur (Çizelge 1, No:3). Bu veri üzerinden yerin soğurma etkisini gidermek için, kalite faktörü $Q=300$, episantır uzaklığı ise 30 km olarak almıştır. Q düzeltmesi yapılmış ivme ve yerdeğiştir-

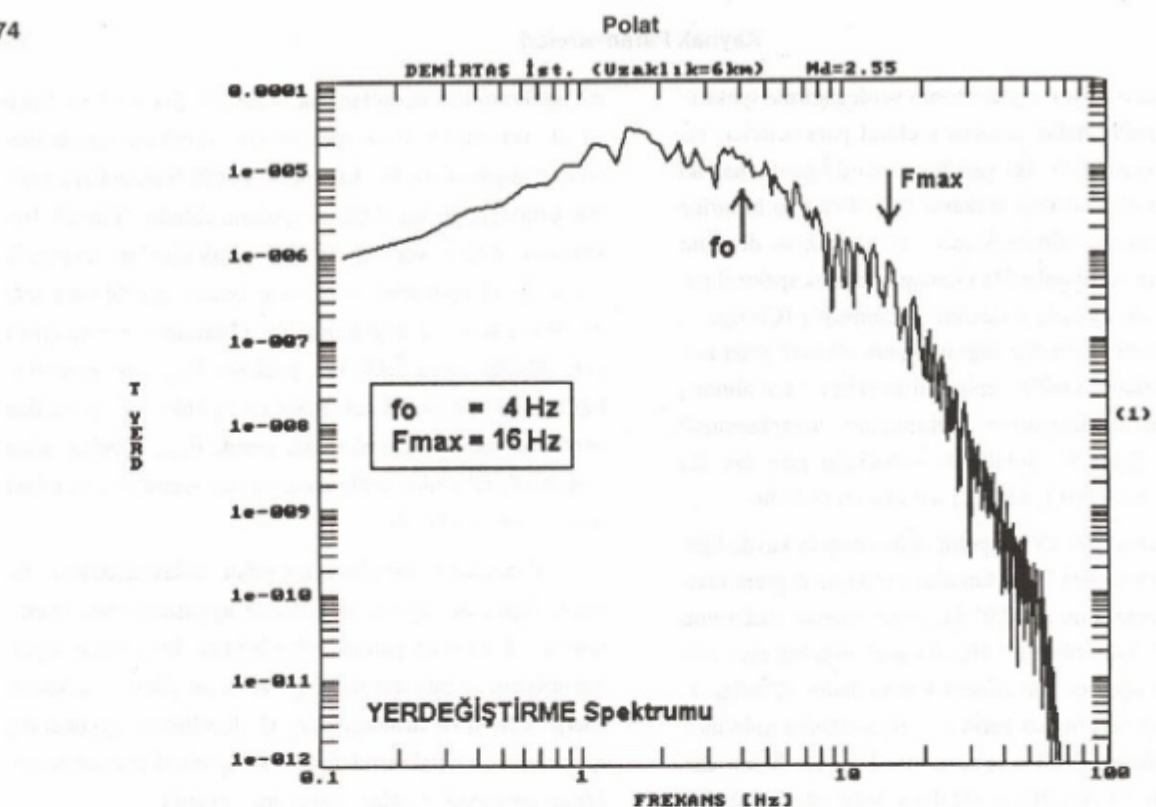
me spektrumları hesaplanarak, sırasıyla Şekil 11 ve Şekil 12' de verilmiştir. Ivme spektrumları kendi aralarında karşılaştırıldığında 30 Hz' den önceki küçük freksnlarda verinin karakterinde bir değişim gözlenmektedir. Yüksek freksnlara doğru verinin enerjisi azaldığından soğrulma artmaktadır, Q operatörü ise bunun önüne geçebilmek için genlikleri anomal büyütmektedir. Ortamın soğurma etkisi giderildikten sonra Şekil 9'da gözlenen F_{max} ' in seçilebilirliği Şekil 11 de azalmıştır. Şekil 10 ve Şekil 12' de verilen yerdeğiştirme spektrumlarında, gerek F_{max} gerekse köşe frekansı f_0 rahatlıkla seçilmekte ve parametreler arasındaki uyum gözlenmektedir.

Yukarıdaki karşılaştırmalardan anlaşılmaktadır ki, yakın depremler için Q düzeltmesi uygulandığında spektrumdan elde edilen parametreler belirgin bir oranda değişmemektedir. Episantır uzaklığı arttıkça yüksek freksnlı enerji daha hızlı azaldığından, Q düzeltmesi uygulanmış spektrumların karakteri değişmekte, spektral parametre değerleri ise büyük oranlarda değişmemektedir.



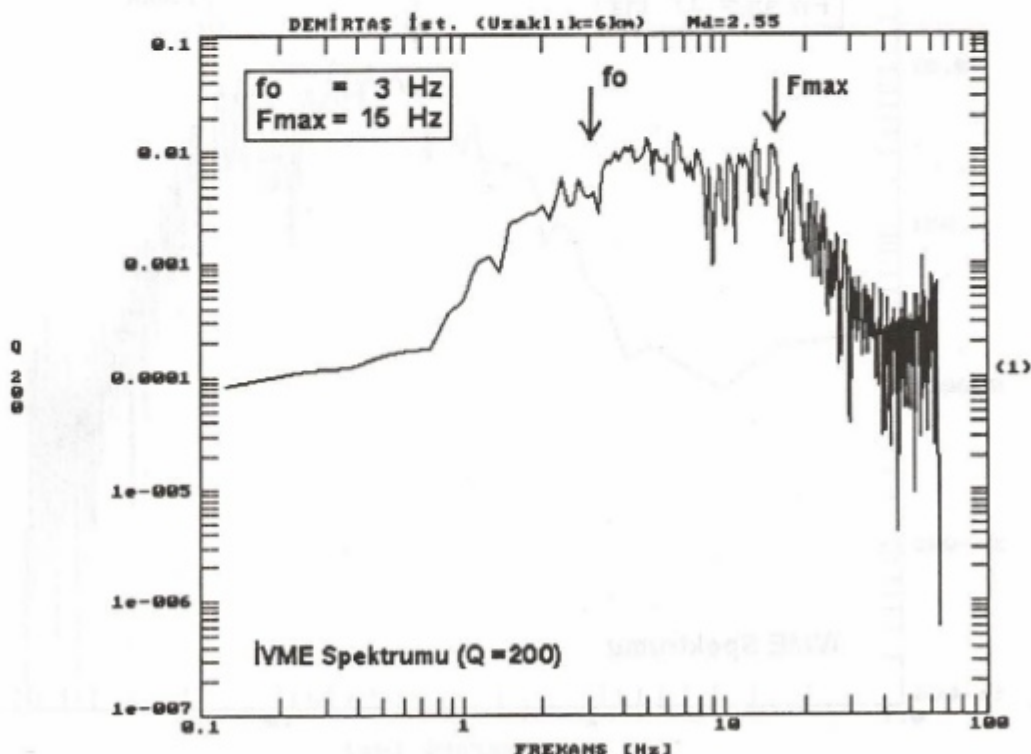
Şekil 5. SDEM istasyonunda kaydedilmiş bir depremin SH ivme spektrumu.

Fig. 5. SH acceleration spectrum of an earthquake recorded at the SDEM station.



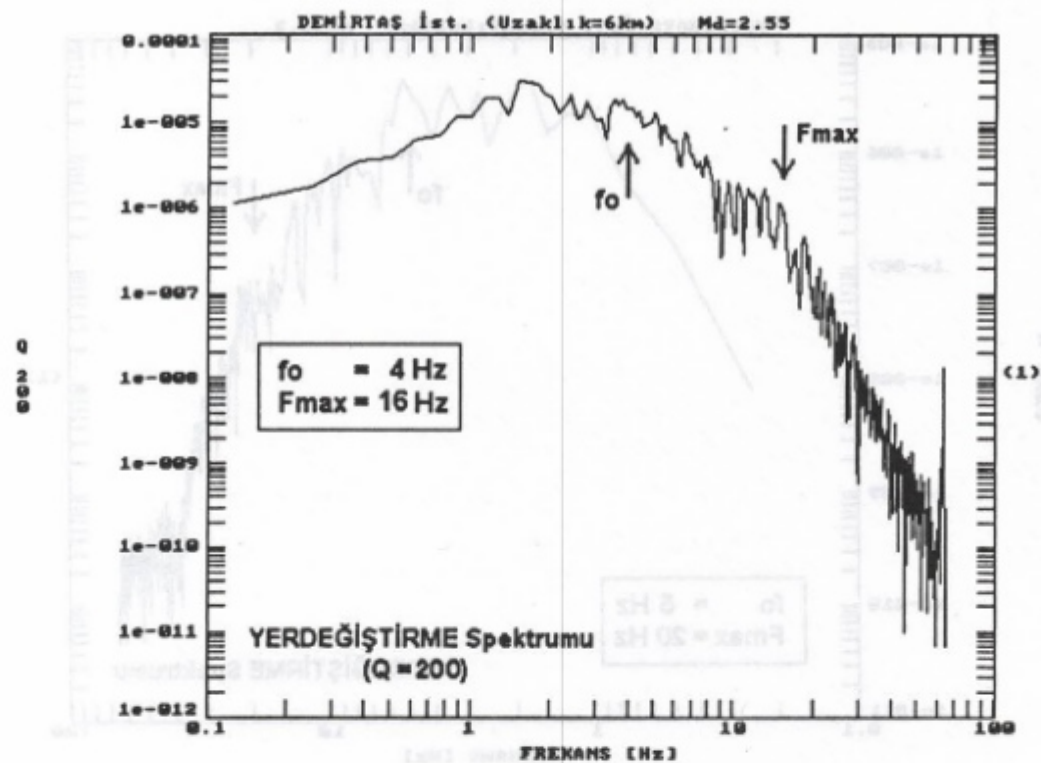
Şekil 6. Şekil 5' de verilen depreme ait yerdeğıştırme spektrumu.

Fig. 6. Displacement spectrum for the earthquake given in Figure 5.



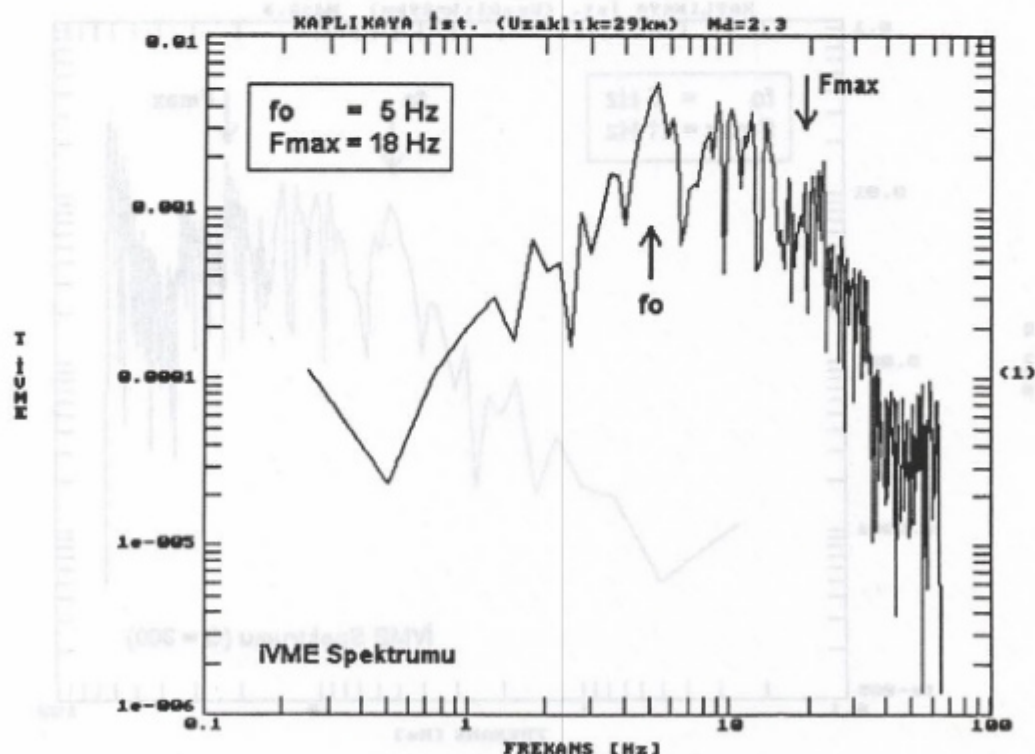
Şekil 7. Şekil 5' de verilen ivme spektrumunun $Q=200$ için düzeltilmiş spektrumu.

Fig. 7. Corrected acceleration spectrum for $Q=200$ for the spectrum given in Figure 5.



Şekil 8. Şekil 6' da verilen yerdeğiştirme spektrumunun $Q=200$ için düzeltilmiş spektrumu.

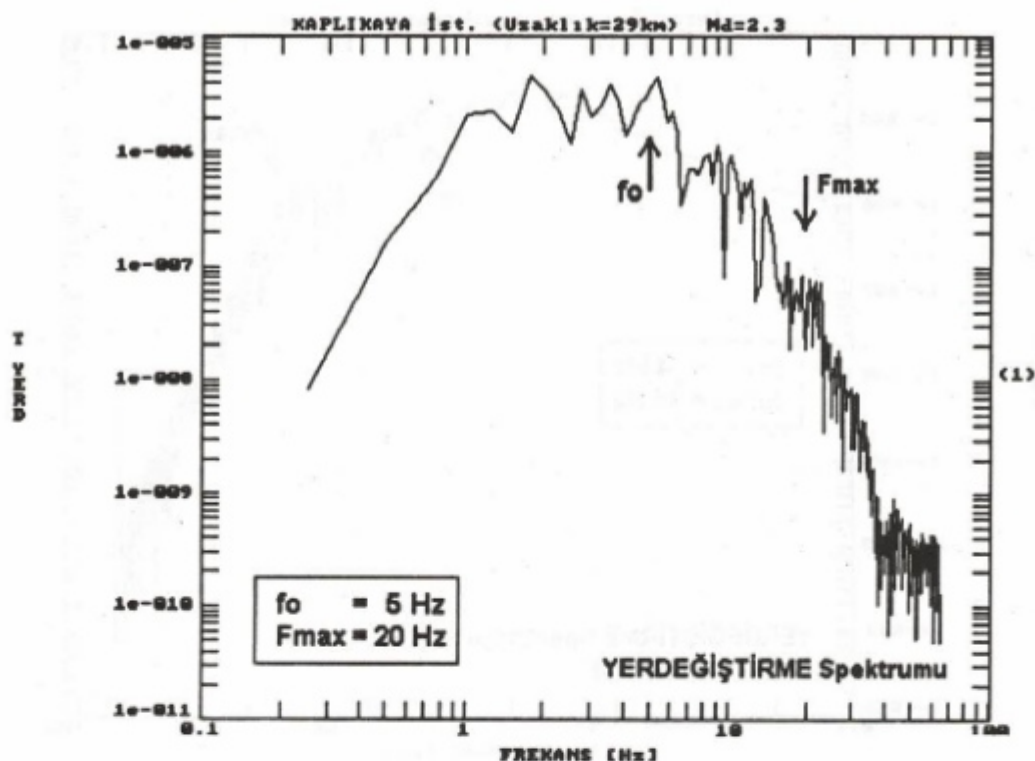
Fig. 8. Corrected displacement spectrum for $Q=200$ for the spectrum given in Figure 6.



Şekil 9. SKAY istasyonunda kaydedilmiş bir depremin SH ivme spektrumu.

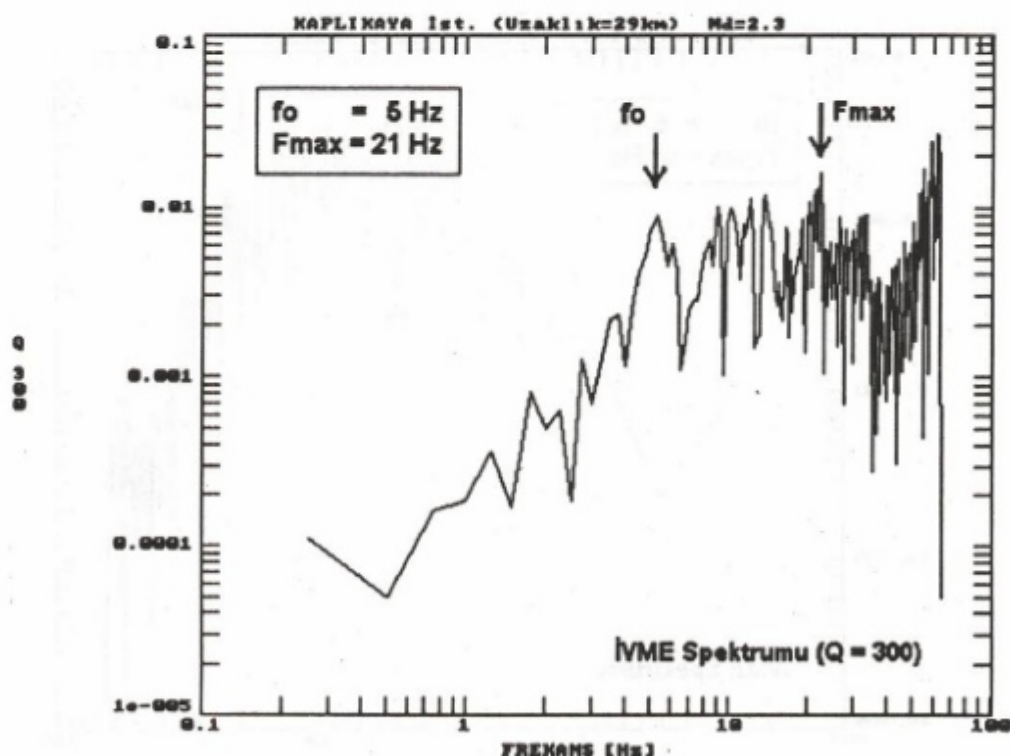
Fig. 9. SH acceleration spectrum of an earthquake recorded at the SKAY station.

Polat



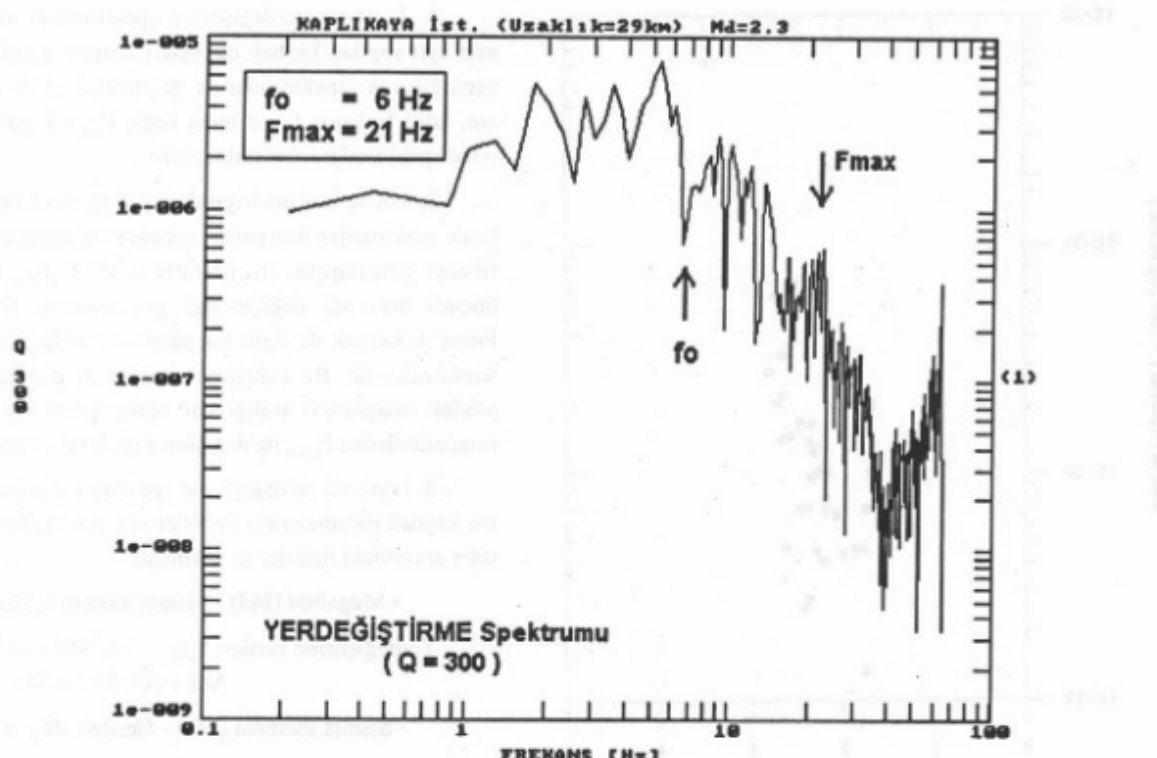
Şekil 10. Şekil 9' da verilen depreme ait yerdeğiştirme spektrumu.

Fig. 10. Displacement spectrum for the earthquake given in Figure 9



Şekil 11. Şekil 9' da verilen ivme spektrumunun $Q=300$ için düzeltilmiş spektrumu.

Fig. 11. Corrected acceleration spectrum for $Q=300$ for the spectrum given in Figure 9.



Şekil 12. Şekil 10' da verilen yerdeğiştirme spektrumunun $Q=300$ için düzeltilmiş spektrumu.

Fig. 12. Corrected displacement spectrum for $Q=300$ for the spectrum given in Figure 10.

F_{\max}

Kaynak spektrumlarının incelenmesi sırasında ortaya çıkan ve kökeni tam olarak anlaşılamayan bir parametre, ilk defa Hanks (1982) tarafından incelenmiş ve F_{\max} olarak adlandırılmıştır. Bu çalışmadan sonra günümüzde kadar çeşitli bilimsel çalışmalar yapılmış (Papageorgiou and Aki, 1983; Phillips and Aki, 1986; Chin and Aki, 1991), fakat F_{\max} 'in kaynak veya ortam kökenli olup olmadığı kesin olarak kanıtlanamamıştır.

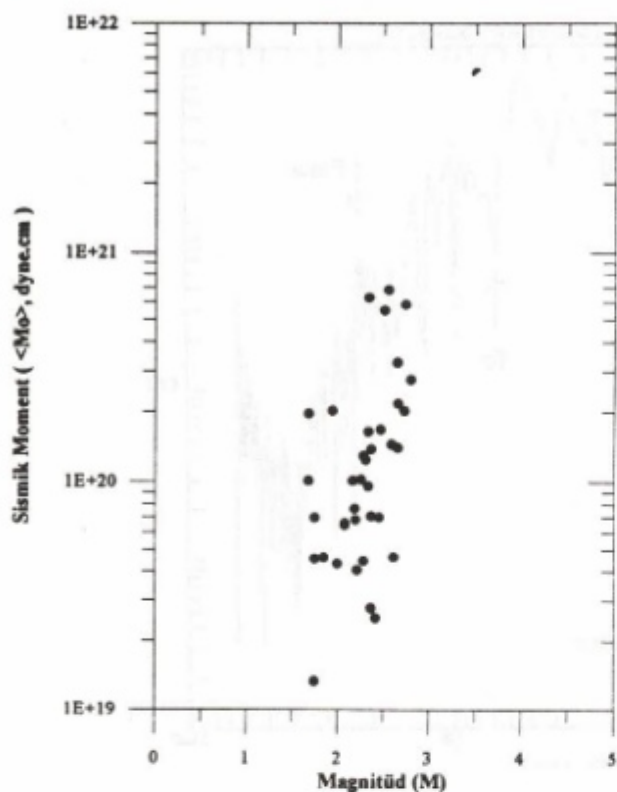
Bu çalışmada, ivme ve yerdeğiştirme spektrumlarında F_{\max} incelenmiştir. Özellikle köşe frekansı (f_0)'ndan sonra, ikinci bir köşeden sonra genlik değerlerinin ani olarak azalığı gözlenmiştir. Bu durum, Şekil 5 ve Şekil 6 ile Şekil 9 ve Şekil 10' da kaydedilen verilerin ivme ve yerdeğiştirme spektrumlarında rahatlıkla gözlenmektedir. Bu veriler üzerinden yol ve frekans bağımlı ortam etkisi giderilmiş ve sonuçta F_{\max} gözlenmiştir (Şekil 7, 8 ve Şekil 11, 12). Çoğu deprem spektrumlarında buna benzer sonuçlar elde edilmiştir. Eğer F_{\max} ortam etkisinden kaynaklanan bir parametre ise, bu etkinin ortadan kaldırılması durumunda gözlenmemesi gereklidir. 30 Hz'e kadar kayıtçının tepki yanıtı düz olduğundan, bu frekanslardan önceki azalmış kayıtlardan kaynaklanıyor olamaz. Dolayısıyla bu çalışmada

gözlemler, F_{\max} 'ın kaynak ile ilgili bir parametre olduğu tezini kuvvetlendirmektedir. İncelenen depremlerin büyüklük aralığı çok küçük olduğundan, bu parametrenin depremin büyüklüğü ile değişimi için bir sonuç elde edilememiştir.

Deprem Kaynak Parametreleri

Bu çalışmada, ivme ve yerdeğiştirme spektrumlarından elde edilen spektral parametreler kullanılarak ayrı ayrı kaynak parametreleri hesaplanmış, sonuçlar arasındaki uyuma baktırılmış ve kaynak parametrelerinin birbirleriyle olan ilişkileri araştırılmış ve sonuçlar bir çizelge halinde verilmiştir (Çizelge 2). 40 depremin verilerinden bulunan magnitüd (M_d) ve sismik moment (M_0) arasındaki ilişki, Şekil 13' de verilmiştir. Magnitüd değerleri genelde, 1.5 ile 3.0 arasında kümelenmiştir. Sismik moment değerleri, 10^{19} ile 10^{21} dyne.cm arasında değişirken, 21 Şubat 1994 tarihli Bursa depreminin ($M_d = 3.5$) sismik momenti 10^{22} dyne.cm' ye yakın elde edilmiştir (Çizelge 2, No:40).

Ivme ve yerdeğiştirme spektrumlarından ayrı ayrı elde edilen kaynak boyutu (r) değerleri uyumludur. Ivme verilerinden elde edilen magnitüd-kaynak boyutu ilişkisi, yerdeğiştirme verilerine göre daha uyumludur. Gerilme



Şekil 13. Bu çalışmada incelenen Bursa ve yöresi depremleri için saptanan Büyüklük (Magnitüd) - Sismik moment ilişkisi.

Fig. 13. Magnitude-Seismic moment relation determined for the earthquakes occurred in around Bursa region.

düşümü ($\Delta\sigma$) değerleri, 1 ile 10 bar arasında kümelenmiştir. Genelde yerdeğiştirme verilerinden elde edilen gerilme düşümü değerlerinin, ivme verilerine göre daha uyumlu oldukları gözlenmiştir.

SONUÇ

Bu çalışmada Bursa ve çevresine yerleştirilmiş olan ivme-ölcülerin kaydettiği ivme verilerinden yararlanarak deprem kaynak parametreleri hesaplanmış ve bunlar arasındaki ilişkiler araştırılmıştır. Episantır tayinlerindeki kayıtlardan, RMS (ortalama karekök) hata oranı, düşük 40 depremin spektrumları incelenmiştir. Bu veriler üzerinde spektral parametreler f_0 ve F_{max} ile çeşitli Q değerleri için bu parametrelerdeki değişimler araştırılmıştır. Ivme ve yerdeğiştirme verilerinden elde edilen diğer kaynak parametreleri arasındaki değişimlerin bağıntıları bulunmuştur. Varyan sonuçlar şunlardır :

1. Ivme ve yerdeğiştirme spektrumları kullanılarak ayrı ayrı yapılan kaynak çalışması sonucu görülmüştür ki; yerdeğiştirme spektrumlarına geçilmeye gerek kalmaksızın, köse frekansı f_0 ve buna bağlı kaynak parametreleri ivme spektrumlarından bulunabilir.

2. Yol ve frekans bağımlı çeşitli Q_s modelleri kullanılarak spektrumlar üzerindeki ortamın sogurma etkisi giderilmeye çalışılmıştır. Bu işlemler sonunda F_{max} değerinin önemli derecede değişmediği gözlenmiştir. Bu gözlem F_{max} 'nın kaynak ile ilgili bir parametre olduğu tezini güçlendirmektedir. Bu çalışmada incelenen depremlerin büyülüklük (magnitüd) aralığı dar olduğundan büyülüklüklerin (magnitüdlerin) F_{max} ile değişimi ilişkilendirilememiştir.

3. Ivme ve yerdeğiştirme spektrumlarından elde edilen kaynak parametreleri birbirleriyle uyumludur. Parameteler arasındaki ilişkiler şu şekildedir :

- **Magnitüd (Md) - Sismik moment (Mo)**

Yerdeğiştirme verileri için : $\log Mo = (0.71 \pm 0.04) Md + (18.42 \pm 0.24) \quad (r = 0.69)$

- **Sismik moment (Mo) - Gerilme düşümü (Ds)**

Ivme verileri için : $\log Ds = 0.38 \log Mo - (7.14 \pm 0.01) \quad (r = 0.55)$

Yerdeğiştirme verileri için : $\log Ds = 0.80 \log Mo - (15.57 \pm 0.21) \quad (r = 0.65)$

- **Magnitüd (Md) - Kaynak boyutu (r)**

Ivme verileri için : $\log r = (0.17 \pm 0.01) Md - (1.02 \pm 0.03) \quad (r = 0.55)$

Yerdeğiştirme verileri için : $\log r = 0.04 Md - (0.66 \pm 0.01) \quad (r = 0.11)$

- **Magnitüd (Md) - Sismik enerji (Es)**

Ivme verileri için : $\log Es = (0.93 \pm 0.02) Md + (12.25 \pm 0.37) \quad (r = 0.59)$

Yerdeğiştirme verileri için : $\log Es = (1.36 \pm 0.04) Md + (11.12 \pm 0.14) \quad (r = 0.66)$.

Burada r ilişki katsayıdır.

KATKI BELİRTME

Bu çalışma 1992 yılı Ağustos'ından bu yana sürdürmekteden İTÜ-ETH-TÜBİTAK-BÜ Kandilli Rasathanesi işbirliği ile yürütülen ve Kuzeybatı Anadolu Projesi'nin alt projelerinden Sismoloji çalışmaları kapsamında yapılmıştır. Projenin bir bölümü İTÜ Araştırma Fonu tarafından desteklenmiştir. Projenin çeşitli aşamalarında destek olan İTÜ Araştırma Fonu Müdürlüğüne, Bursa Bayındırlık Müdürlüğüne, DSİ Bölge Müdürlüğü'ne ve Karayolları Bölge

Müdürlüğü'ne, TEK Bursa Bölge Müdürlüğü'ne, Bursa Valiliği ve İlçe Kaymakamlıklarına, İstanbul Yeşilköy Atatürk Havalimanı Giriş Gümüşük Müdürlüğü'ne, Bursa Gümüşük Müdürlüğü'ne ve Demirkaz Belediyesi Başkanlığı'na teşekkür ederim.

KAYNAKLAR

- Aki, K. 1967, Scaling law of seismic spectrum, *J. Geophys. Res.*, Vol:72, 4 : 1217-1231.
- Aki, K. 1980, Attenuation of shear waves in the lithosphere for frequencies from 0.05 to 25 Hz, *Phys. Earth Planet. Inter.*, 21 : 50-60.
- Aktar, M., Ücer, B., Eyidoğan, H., Gürbüz, C., Sellami, S., Pavoni, N., Mayer-Rosa, D., St. Mueller, Barış, Ş., Ergin, M., Biçmen, F., Polat, O.D., Yörük, A. ve Kaypak, B. 1996, Investigation of the micro-earthquakes of Bursa and its vicinity, *Earthquake Research in Türkiye State of the Art*, Sep.30 - Oct.5, p:48, Ankara.
- Archuleta, R.J., Cranswick, E., Mueller, C. and Spudich, P. 1982, Source parameters of the 1980 Mammoth Lakes, California-Earthquake Sequence, *J. Geophys. Res.*, 87 : 4595-4607.
- Biçmen, F., Alptekin, Ö. ve Aktar, M. 1993, Marmara bölgesi depremlerinin kaynak parametrelerinin belirlenmesi, *Türkiye 13. Jeofizik Kurultayı Bildiri Özeleri*, TMMOB Jeofizik Müh. Odası, s:95, Ankara.
- Brune, J.N. 1970, Tectonic stress and the spectra of seismic shear waves from earthquakes, *J. Geophys. Res.*, 75 : 4997-5009.
- Brune, J.N. 1971, Corrections, *J. Geophys. Res.*, 76 : 5002.
- Chin, B-H. and Aki, K. 1991, Simultaneous study of the source, path and site effects on strong ground motion during the 1989 Loma-Prieta earthquake: A preliminary result on pervasive nonlinear site effects, *BSSA*, Vol:81, 1859-1884.
- Eyidoğan, Akıncı, A. ve Polat, O.D. 1997, The characteristics of site, source and regional attenuation in the vicinity of Bursa city- Northwestern Turkey, *VIII. International Conference on SDEE*, 20-24 July 1997, p:32, İstanbul.
- Ezen, İ. 1973, Yüzey dalgalarının dispersiyonuna göre Batı Anadolu da kabuk yapısı, *Deprem Araştırma Bülteni*, Vol:62,77-95.
- Hanks, T. and Wyss, M. 1972, The use of body waves spectra in the determination of seismic source parameters, *BSSA*, 62 : 561-589.
- Hanks, T. 1982, Fmax, *BSSA*, Vol:71, 6 : 1867-1879.
- Haskell, N.A. 1964, Total energy and energy spectral density of elastic wave radiation from propagating faults, *BSSA*, 54 : 1811-1841.
- HYP071PC. 1989, *IASPEI Software Library Toolbox for Seismic Data Acquisition, Processing and Analysis*, Vol:1, California, USA.
- Ilio, Y. 1992, Seismic source spectrum of microearthquakes, *BSSA*, Vol:82, 6 : 2391-2409.
- Keilis-Borok, V.I. 1960, *Investigation of the mechanism of earthquakes*, Sov. Res. Geophys., 4-Am.Geophys. Union, Consultants Bureau, NY, 201 p.
- Ketin, İ. 1983, *Türkiye Jeolojisine Genel Bir Bakış*, ITÜ Gümüşsuyu Matbaası, İstanbul, 591 s.
- Papageorgiou, A. ve Aki, K. 1983, A specific barrier model for the quantitative description of inhomogeneous faulting and the prediction of strong ground motion. Part I. Description of the model, *BSSA*, 73 : 693-722.
- Phillips, W.S. and Aki, K. 1986, Site amplification of coda waves from local earthquakes in central California, *BSSA*, 76 : 627-648.
- PITSA. 1991, *IASPEI Software Library Bibliographic References and BSSA Database*, Vol:4, California, USA.
- Polat, O.D. 1995, Bursa ve çevresindeki küçük depremlerin ivme kayıtlarının incelenmesi, ITÜ Fen Bilimleri Enstitüsü Yüksek Lisans Tezi, 125 s. (yayınlanmamış).
- Savage, J.C. 1972, Relation of corner frequency to fault dimensions, *J. Geophys. Res.*, Vol:77, 23 : 4393-4405.
- Sellami, S., Pavoni, N., Mayer-Rosa, D., Mueller, S., Eyidoğan, H., Aktar, M., Gürbüz, C., Barış, Ş., Polat, O.D. and Yalçın, N. 1997, *Seismicity and seismotectonics of the Bursa region*, Kluwer Publ. Com. (yayında).terminated for the earthquakes occurred in around Bursa region.

YAZI VERENLER

GÜNEY ÇİFÇİ

1960 yılında Tire'de doğdu. 1984 yılında Yıldız Üniversitesi Kocaeli Müh. Fak., Jeofizik Bölümü'nden mezun oldu. Yüksek Lisansını Dokuz Eylül Üniversitesi Deniz Bilimleri ve Teknoloji Enstitüsü'nde 1987 yılında tamamladı. 1989-1991 yılları arasında Trieste Üniversitesi'nde konuk araştırcı olarak bulundu. 1993 yılında DEÜ Fen Bilimleri Enstitüsü'den Jeofizik Doktorasını aldı. Halen DEÜ Müh. Fak., Jeofizik Bölümü'nde öğretim elemanı olarak çalışmaktadır.



MUSTAFA ERGÜN

1948 yılında Manisa'da doğdu. 1971 yılında Bristol Üniversitesi'nden Lisans, 1973 yılında Leeds Üniversitesi'nden Yüksek Lisans ve 1977 yılında Leicester Üniversitesi'nden de Jeofizik Doktorasını aldı. 1977-1980 yılları arasında MTA'da çalıştı. 1980 yılında da Ege Üniversitesi Yer Bilimleri Fakültesi'ne öğretim görevlisi olarak atandı. 1987 yılında Dokuz Eylül Üniversitesi'nde Doçent oldu. 1994 yılında DEÜ Müh. Fak. Jeofizik Bölümünde Profesör oldu. Halen DEÜ Müh. Fak. Jeofizik Bölümü'nde öğretim üyesi olarak çalışmaktadır. TMMOB Jeofizik Mühendisleri ve Jeoloji Mühendisleri Odaları, Uluslararası Akdeniz Bilimsel Araştırma Komitesi (ICSEM), Avrupa Yer Bilimleri Birliği (EUG), Avrupa Jeofizik Derneği (EGS), Türkiye Ulusal Jeodezi-Jeofizik Birliği (TUJJB), UNESCO Hükümetle-



MAHİR İŞİK

1970 yılında Adana'da doğdu. 1991 yılında Yıldız Üniversitesi Kocaeli Müh. Fak. Jeofizik Mühendisliği Bölümü'nden mezun oldu. 1993 yılında Kocaeli Üniversitesi Fen Bilimleri Enstitüsü Jeofizik Mühendisliği Anabilim Dalı'nda Yüksek Lisans'ını tamamlayarak Doktora çalışmasına başladı. Aynı yıl, Kocaeli Üniversitesi Mühendislik Fakültesi Jeofizik Mühendisliği Bölümü'ne Araştırma Görevlisi olarak girdi.

ORHAN DEDE POLAT

1969 yılında Karabük'te doğdu. 1991 yılında ITÜ Maden Fakültesi'nden jeofizik mühendisi olarak mezun oldu. 1995 yılında Master programını tamamlayan Polat 1996'da IPGS Bilimsel Araştırma Bursu'nu kazanarak 3 ay Strasbourg (Fransa)'da eğitim gördü. Halen Araştırma Görevlisi olarak çalışmakta olduğu ITÜ'de Doktora programını sürdürmektedir.



HAKKI ŞENEL

1956 yılında Bursa-Yenişehir'de doğdu. 1978 yılında İÜ Fen Fak. Jeofizik Bölümü'nden mezun oldu. 1979 yılında MTA Enstitüsü'nde görevi başladı. 1986 yılında İÜ Yerbilimleri Fakültesi'nde Doktora tezini tamamladı. 1988 yılından itibaren Kocaeli Müh. Fakültesi'nde Yrd. Doç. kadrosunda görev yapmaktadır. 1996-1997 yılları arasında, University of Nebraska at Omaha (UNO) ve University of Nebraska-Lincoln (UNL)'d Visiting Professor olarak görev yaptı. Halen Kocaeli Üniversitesi Jeofizik Mühendisliği Bölümü'nde çalışmalarını sürdürmektedir.



TEZ ÖZETLERİ

KIRIKKALE VE TUZ GÖLÜ ARASINDAKI BÖLGENİN MANYETİK VE GRAVİTE ANOMALİLERİNİN İNCELENMESİ

Fikri ÖZTÜRK

Tuz Gölü Havza kompleksi, Orta Anadolu'da Ankara düzümünde yerleşmiş epi-sürtural durgunluğun bir bölümünü oluşturur. Üst Kretase'den Üst Paleosen'e kadar, Tuz Gölü havzası bir yay öbü havzası şeklinde Kırşehir Bloğu ve Sakarya Kitasının aktif kenarları boyunca gelişmiştir.

Bu bölgedeki havadan manyetik ve gravite anomaliler 2.5 km aralıklarla gridlenerek MTA Genel Müdürlüğü Jeofizik Etütleri Dairesi'nden temin edilmiştir. Bölgede kayaçların mostra verdiği yerlerden gabroik ve andezitik kayaç numuneleri toplanmıştır. Bu kayaçların yoğunlukları Walker's Steelyard terazisi kullanılarak ölçülmüştür.

Bu tezde değişik potansiyel alan veri işletme yöntemleri kullanılmıştır. Güç spectrumu analizi ile anomalilere neden olan kütlelerin derinlikleri, yatay gradiyent yöntemi ile çizgisellikleri (tektonik hatlar ve formasyon sınırları) belirlenmiştir. Havadan manyetik anomalilerden elde edilen maxspotların işletilmekte olan ya da terkedilmiş demir yatakları ile uyumlu olukları saptanmıştır. Cevher bulunan Ankara ili, Bala ilçesi, Kesikköprü ve çevresi maxspot haritaları ile kolere edilmiştir. Maxspotlardan olası cevher yatakları ve onların uzantıları belirlenmiştir. Bölgenin kuzyeydoğusunda görülen pozitif gravite anomaliye derin kökenli gabroik kayaçların neden olduğu düşünülerek KB-GD doğrultusuna alınan bir profil boyunca güç spektrumu kontrolünde iki boyutlu model oluşturulmuştur. Gabroik kayaçların ortalama yoğunluğu model parametreleri olarak kullanılmıştır. Modelleme sonucu üst kısmı yüzeyden 1 km ve tabanı 4.5 km derine uzanan bir kütle belirlenmiştir. Bu yapının araştırma bölgesinin glineydoğusunda yer alan Ağacören granitoidine ait gabroik kayaçlarla ilişkili olabileceği ve bölgede yüzük veren gabroik kayaçların köklerinin derinlere uzandığı öne sürülmüştür.

Yüksek Lisans Tezi (1997)

Ankara Üniversitesi, Fen Bilimleri Enstitüsü, Jeofizik Mühendisliği Anabilim Dalı

Danışman: Yrd. Doç. Dr. Abdullah ATEŞ

YERALTı SUYU ARAMALARINDA DÜŞEY ELEKTRİK SONDAJı VE GEÇİCİ ELEKTROMANYETİK YÖNTEMİN KARŞILAŞTIRILMASI

Nedal SİYAM

Geçici elektromanyetik (TEM) ve doğru akım görünür özdirenç düşey elektrik sondaj (DES) verilerinin yorumu ile katmanların özdirenç ve kalınlıkları bulunarak yeraltının elektrik yapı kesiti çıkarılabilir.

Ters çözüm, düz çözümün sunduğu kuramsal ve gözlemlisel veri arasında doğrusal olmayan bir çakıştırma işlemi olduğunu göre; veri/parametre oranının büyülmesi ters çözümü daha etkin kılacaktır. Her iki yöntemin ters çözümünden ayrı ayrı faydalananak yeraltının elektrik yapı kesiti bulunabileceği gibi her iki yöntem verileri aynı anda birleşik ters çözümde kullanılabilir.

Yeraltı özdirenç değişimlerinin ölçülmesinde doğru akım elektrik sondajı (DES) ve geçici elektromanyetik yöntem (TEM) ayrı prensiplere dayanmaktadır. Doğru akım elektrik sondajı yöntemi yeraltında hem yalıtan hem de iletken katmanlara duyarlıken, ikinci yöntem iletken katmanlara daha duyarlıdır, dolayısıyla; birleşik ters çözümün her iki yöntemin tekil ters çözümlerine göre daha yararlı olacaktır. Ayrıca; katmanların kalınlıkları azaldıkça eşdeğerlilik önemli bir sorun olarak ortaya çıkarken; birleşik ters çözümde, bu problem daha küçük boyutlardadır.

Doğru akım elektrik sondajı (DES) ve geçici elektromanyetik yöntemde (TEM) parametre ve veri arasındaki ilişkinin doğrusal olmaması nedeniyle işlemin doğrusallaştırılması gereklidir. Her iki yöntemin görünür özdirenç bağlantıları parametre uzayında önkestirim değerleri civarında Taylor serisine açılır ve gözlem değerlerine eşitlenir. Taylor ters çözüm serisinde ikinci ve daha yüksek dereceden türevleri kapsayan terimler ihmal edilip, kuramsal ve ölçülen verinin farkları alınarak bir dizey denklemi elde edilir. Dizeyin çözümünden fark değerlerini küçültten yeni parametreler elde edilir. Yineleme işlemi, farkları kültümemesi durumunda durdurulur.

Her iki yöntemin tekil ters çözümünden elde edilen dizeylerin birleştirilmesi ile elde edilen dizey denklemi, tekil değer ayırmayı yöntemi ile çözülebilir. Yöntemde, dizey birbirine dik üç ayrı dizeyin çarpımı şekline dönüştürülebilir. Dik dizeylerin parametre özyöneyi parametreler arası ilişkileri, veri özyöneyi de bu parametreleri etkileyen veri noktalarını verir. Dizeylerin değerlendirmesi sırasında, özdeğerlerin büyülüklük sıralaması ile yapılır.

Schlumberger açılımı Doğru Akım Elektrik Sondajı (DES) ve Halka-İçi (In Loop) Geçici Elektromanyetik Yöntem (TEM) verileri ile yapılan ters çözüm uygulamalarında dört temel eğri tipi (H,K,Q,A) denenmiştir. Tekil ters çözümlerde, parametreler yerine eşdeğerliliklerin çözülebildiği görülmüştür. Veriye eklenen gürültüler parametreler arası ilişkileri ve parametrelerin çözümlerini etkilemektedir. Genel olarak; doğru akım elektrik sondajının geçici elektromanyetik yönteme göre daha duyarlı olduğu, her iki yöntemin aynı anda ters çözümde kullanılması ile yapılan birleşik ters çözümün her iki yöntemin tekil ters çözümlerine göre daha duyarlı olduğu, daha az eşdeğerlilik içeriği ve eşdeğerliliklerin yerine parametreleri bulduğu ve başlangıç parametrelerine daha az bağlılık gösteren çözümler ürettiği görülmüştür.

Yüksek Lisans Tezi (1997)

Ankara Üniversitesi, Fen Bilimleri Enstitüsü, Jeofizik Mühendisliği Anabilim Dalı

Danışman: Prof. Dr. Ahmet Tuğrul BAŞOKUR

TEZ ÖZETLERİ

DOĞRU AKIM ÖZDIRENC YÖNTEMİNDE MODELLEME VE İKİ-BOYUTLU SİG YAPILARIN ARANMASINDA ELEKTROD DİZİMLİMLERİNİN AYRIMLILIKLARININ KARŞILAŞTIRILMASI

Mehmet Emin CANDANSAYAR

Düz çözüm, varsayılan bir jeolojik modelin oluşturacağı jeofizik belirtiyi hesaplamak şeklinde tanımlanabilir. Doğru akım özdirenç yönteminde yorumlama yaparken 1-B, 2-B ve 3-B modeller kullanılmaktadır.

Doğru akım özdirenç yönteminde aynı jeolojik yapı için farklı elektrod dizilimleri ile ölçülen GÖ değerleri farklı olacaktır. Aynı jeolojik model için farklı elektrod dizilimlerinin ayrımlılıkları teorik veri ile incelenebilir.

Arkeolojik yapıların fiziksel özellikleri genelde bulunduğu ortamın çevre jeolojisinden farklıdır ve bu farklılık jeofizik belirtiye sebep olur. Arkeolojik yapı, genelde belirtinin yanal ve düşey yöndeğişime bakılarak belirlenir. Bu nedenle 1-B yorum teknikleri yetersiz kalmaktadır ve 2-B hatta hızlı bir bilgisayar varsa 3-B yorum teknikleri kullanılmalıdır.

Bu çalışmada, doğru akım özdirenç verilerinin sonlu farklar ve sonlu elemanlar sayısal çözüm yöntemleri ile 2-B modellemesi anlatılmıştır. Wenner, iki-yönlü yarım Wenner ve iki-yönlü üç elektrod dizilimlerinin arkeolojik yapıların aranmasında kullanılabilirliği yukarıda bahsedilen sayısal çözüm yöntemleri ile incelenmiştir. Yine bu dizilimler için "sinyal Katkı Kesitleri" (Signal Contribution Section) çizilmiş ve bu kesitler ile de elektrod dizilimlerinin ayrımlılıkları karşılaştırılmıştır.

Ayrıca yanal süreksızlıkların belirlenmesinde kullanılacak "İki Yönlü Gradyen" (Two-sided gradient) dönüşümü isimli yeni bir veri işlem tekniği tanıtılmıştır. İki yönlü Gradyen ve Karous and Pernu'nun (1984) tanımladığı Gradyen dönüşümlerinden hangisinin arkeolojik yapıların aranmasında daha kullanışlı olduğu araştırılmıştır.

Yüksek Lisans Tezi (1997)

Ankara Üniversitesi, Fen Bilimleri Enstitüsü, Jeofizik Mühendisliği Anabilim Dalı

Danışman: Prof. Dr. Ahmet Tuğrul BAŞOKUR

GEÇİCİ ELEKTROMANYETİK VERİLERDEN SÖNÜMLÜ EN KÜÇÜK-KARELER YÖNTEMİ İLE PARAMETRE ÇÖZÜMÜ

Ibrahim GÖRGÜNOĞLU

Geçici elektromanyetik verilerden (TEM) sönülü en küçük-kareler yöntemi ile parametre çözümü için bir algoritma geliştirilmiştir. Bilgisayar teknolojisinin gelişmesi ile birlikte yarısız katmanlı ortamın geçici elektromanyetik cevabı hesaplanabilmştir. TEM yönteminde dalga denklemi çözümleri frekans ortamında gerçekleştirilir. Zaman ortamına geçmek için çekirdek foksiyonunun önce ters Laplace dönüşümü ve sonra Hankel dönüşümü alınarak karşılıklı empedans bulunur. Zaman ortamında karşılıklı empedans, özdirençin ve zamanın bir fonksiyonudur. Aletsel olarak manyetik alanın zamana göre değişimi ölçülür. Bu ölçülerden yararlanarak karşılıklı empedans (Z), görünür özdirenç ve asimetrik özdirençler hesaplanır. Görünür özdirenç, karşılıklı empedans serisinden doğrudan çekilemediğinden yinelemeli bir algoritma ile bulunabilmektedir. Bu nedenle asimetrik görünür özdirenç tanımları kullanılarak düz ve ters çözümler gerçekleştirılmıştır. Bu çalışmada merkezi halka düzeneceği (central loop) için karşılıklı empedans ve geç zaman görünür özdirençleri (asimetrik özdirenç) için modelleme yapılmıştır. Kuramsal olarak hesaplanan geç zaman görünür özdirenç eğrisinin parametrelerle göre logaritmik türevleri alınarak ters çözüm işlemeye başlanılır.

Bu projenin amacı, TEM yönteminde Marguardt-Levenberg en küçük-kareler model optimizasyonu yöntemi kullanarak verilerin sunumu ve değerlendirilmesinin bilgisayar ortamında gerçekleştirilebilmesidir. Parametre ve veri arasındaki ilişkinin doğrusal olmaması nedeni ile işlemin doğrusallaştırılması gereklidir. Geç zaman görünür özdirenç parametre uzayında önkestirim değerlerinde Taylor serisine açılarak gözlem degerine eşitlenir ve ikinci terimler ihmal edilir. Kuramsal ve ölçülen verinin farkları alınarak bir dizey denklemi elde edilir. Dizeyin çözümünden fark değerlerini küçültlenen yeni parametreler elde edilir. Bu işlem yinelenerken fark değerleri azaltılır. N katmanlı yatay, homojen ve izotrop bir ortam için katman parametreleri bilinmesine rağmen, önkestirim parametreleri diğer jeofizik yöntemlerinden yararlanarak veya tahminen bilgisayara veri olarak girilir. Arazi verisinin hesaplanan verilerle arasındaki farklar önemsez olana kadar işlem tekrarlanarak, belirli bir tolerans sınırlarında kuramsal ve ölçülen verilerin çakışması sağlanır. Programın çalışması esnasında her yeni bulunan parametreler önkestirim olarak yeniden program tarafından kullanılır. Çakışma işlemi tolerans sınırlarında gerçekleştiği zaman program yineleme işlemini durdurur. En son bulunan parametreler arazi serisi ile hesaplanan veriyi çakıştırın parametreler olarak kabul edilir. Fakat bu yöntemde programa ilk girilen parametrelerin gerçekle yakın olması istenir. Bunun iki nedeni vardır. Birinci olarak parametreler çözümünden uzaklaşabilir. Ikinci olarak aynı veriyi sağlayan farklı parametre grupları olabileceğinden bulduğumuz çözüm jeolojiyi temsil etmeyecektir. Çözümün başarısı kullanılan görünür özdirenç tanımının duyarlılığına bağlıdır.

Dizey denklemi, tekil değer ayrımı yöntemi ile çözülmüştür. Bu yönteminde Jacobien dizeyi, birbirine dik üç ayrı dizeyin çarpımı dönüştürülmüştür. Bu dizaylarda parametre özyöneyi parametreler arası ilişkileri, veri özyöneyi bu parametreleri etkileyen veri noktalarını verir. Özdeğerlerin büyüğten küçüğe sıralanır ve en büyük özdeğere, karşılıklı gelen en büyük parametreler en iyi çözülen parametrelerdir. Model optimizasyonun sonucu bulunan parametrelerin doğruluğunun derecesi matematik olarak da yorumlanabilir. Bu amaçla parametreler arası ilişkilere de bakılabilir. Bu ilişki dizeyi yardım ile parametrelerin birbirine göre bağımlı veya bağımsız çözünürlükleri incelenir.

Uygulamalarda (H , K , A , Q) tipi eğriler denenmiştir. Parametre özyöneyleri, veri özyöneyleri ve ilişki fonksiyonları bütün eğri tipleri için tartışılmış ve parametre istatistiği gerçekleştirilmiştir.

Yüksek Lisans Tezi (1997)

Ankara Üniversitesi, Fen Bilimleri Enstitüsü, Jeofizik Mühendisliği Anabilim Dalı

Danışman: Prof. Dr. Ahmet Tuğrul BAŞOKUR

ODA ÜYELERİ

SİCİL NUMARASI	ADI SOYADI	SİCİL NUMARASI	ADI SOYADI
1529	Burhan SARI	1573	Murat TUĞRUL
1530	Yaşar KALBUR	1574	Ferhat KACARGİL
1531	Hatice BIYIK	1575	Tamer VURAL
1532	Kürşat ÇINAR	1576	Altan NECİOĞLU
1533	Hüseyin Koray EZGEC	1577	Murat AKBULUT
1534	Fatih ADİL	1578	A. Tuğ ÖZDEMİR
1535	Sedat Hakan BALCI	1579	Ünal DİKMEN
1536	Eşref YALÇINKAYA	1580	Levent AKÇAYLAR
1537	İbrahim REYHANLİOĞLU	1581	Dindar GÜLTEKİN
1538	Turgay ŞENEL	1582	M. Yaşar KÖKÇEK
1539	Erkan ALTAY	1583	Tanju URASLI
1540	Selçuk Murat KIZILATEŞ	1584	Emel TAŞÇI
1541	Turan MOLLAHÜSEYİNOĞLU	1585	Bülent Caner KANDEMİR
1542	Şakir BALLI	1586	Ersin ERGÜN
1543	Osman BAŞ	1587	Emrah ŞAHİN
1544	Melih SEVÜK	1588	Murat ÖZDEN
1545	Murat UTKUCU	1589	Soner İNCE
1546	B. Mehtap TÜMER	1590	Dilek KEPEKÇİ
1547	Şevki SARAL	1591	Mehmet BAŞ
1548	Zehra AKSOY	1592	Ali Ekber TEKİN
1549	Birol YILDIZ	1593	Elif TOLAK
1550	Hakan DİKİCİ	1594	Funda BİLİM
1551	Erdal TURAN	1595	Gürhan AKDENİZ
1552	Hüseyin GÜREL	1596	Fethiye PASİNLİ
1553	Osman ŞEN	1597	Mehmet Toyan YAZGAN
1554	Musa KIRCA	1598	Tuncay HASGÜL
1555	Şafak ÇEVİRME	1599	Akın ADIGÜZEL
1556	Murat AKYOL	1600	Filiz BİLGİLİ
1557	Murat KAPLAN	1601	Nurcan ÖZDEMİR
1558	Saliha DÜNDAR	1602	Haydar GAZELOĞLU
1559	Selahattin ANDAK	1603	Fethi ŞENGEZER
1560	Hayrettin KARZAOĞLU	1604	Fırat AYDINUS
1561	Mutlu KOPMAZ	1605	Nehar KILINÇARSLAN
1562	K. Burak KARADAĞ	1606	B. Sinan KENANOĞLU
1563	A. Levent COŞKUNER	1607	Aydın YİĞİT
1564	Mustafa TOZKOPARAN	1608	Ayşe BOZAY
1565	Tayland EFEOĞLU	1609	Cemil ADIGÜZEL
1566	Nurcan KOÇ	1610	Mustafa GÜRBÜZ
1567	D. Bülent ERKAN	1611	Belgin SÜLLÜ
1568	M. Murat HAŞHAŞOĞLU	1612	A. İhsan ÖZDEMİR
1569	Mehmet DEDEOĞLU	1613	Murat FİŞEK
1570	Nurcan DEDEOĞLU	1614	Taner AKSU
1571	Sanem AĞBULUT	1615	Serap EKŞİOĞLU
1572	Sabire YALÇIN	1616	Mehmet KAPLAN

ODA ÜYELERİ

SİCİL NUMARASI	ADI SOYADI	SİCİL NUMARASI	ADI SOYADI
1617	Ferhat BÜYÜKÇİNAR	1629	Arzu ŞEREF
1618	Dilek ERKAN	1630	Murat ERDURAN
1619	Nermin BAKI	1631	Atilla DUMLAR
1620	Murat AYATA	1632	İnci DOĞRU
1621	Hakan KORKMAZ	1633	Fatih İSKENDER
1622	Zülfikar ERHAN	1634	Mehrnaz BAYLAN
1623	Leyla SAYAR	1635	Hayriye Ruken TANIŞ
1624	Tekin AYDEMİR	1636	Saniye Meral ATMACA
1625	Murat BEYHAN	1637	Nihan SEZGİN
1626	Rüçhan HAKTANIR	1638	Mualla CENGİZ
1627	Zeren TÜREK	1639	Nilgün DÜNDAR
1628	Orhan EMRE	1640	Hakan TOKER

ARGEN

Mümessillik ve Müşavirlik Limited
 Providing comprehensive support and services to
 foreign companies operating in Turkey

S E R V I C E S

- ★ Representaion & Agency Services ★ Provision of skilled and unskilled labour
- ★ Customs Clearance and trucking ★ Local purchasing
- ★ Import/Export documentation ★ Resident and work permits

29 Sokak, Yalı Apt. 13/5, 06670 Büyükesat, Ankara - Turkey

Phone : (312) 436 02 87 - 436 49 65 - 436 44 63
 Fax : (312) 436 97 03
 e-mail: musur@superonline.com



yakın doğu deniz acenteliği a.s. near east shipping agency s.a.

“The Name of Shipping Experience and Tradition”

COASTER SERVICE, İstanbul

Container and breakbulk service in East Mediterranean and North Africa

HUAL AUTOLINERS, Oslo (Norway)

Car carriers

HYUNDAI MERCHANT MARINE, Seoul (Korea)

Container service Far East, Europe, USA, Mediterranean

NESA, Rotterdam (NL)

Offshore projects

NISSAN CAR CARRIERS, Tokyo (Japan)

Car carriers

NIVER LINE, Athens (Greece)

Container and breakbulk service

Brazil, Argentine, Uruguay, Mediterranean

NORDANA LINE, Rungsted (Denmark)

Ro-Ro, Container and breakbulk service

Caribbean, Central America, USA East Coast, Mediterranean

PETERGAZ, Leiden (NL)

Off-shore projects

POL-LEVANT, Gdynia (Poland)

Re-Ro, Container and breakbulk service

Northern Europe, Mediterranean

POLISH STEAMSHIP, Szczecin (Poland)

Worldwide tramping vessels

SCHLUMBERGER GECO-PRAKLA, Stavanger (Norway)

Off-shore geophysical seismic research

SNTM HYPROC, Arzew (Algeria)

LNG gas tankers

WALLENIUS, Stockholm (Sweden)

Car carriers

WESTERN GEOPHYSICAL (Western Atlas), London (UK)

Off-shore geophysical seismic research

YAKIN DOĞU DENİZ ACENTELİĞİ A.Ş. (NEAR EAST SHIPPING AGENCY S.A.)

Rıhtım Cad. Veli Alemdar Han. 716 Karaköy, 80030 İstanbul

Phone : +90.212.261 5507 - 251 0715 Fax : +90.212.251 4877 - 251 7031

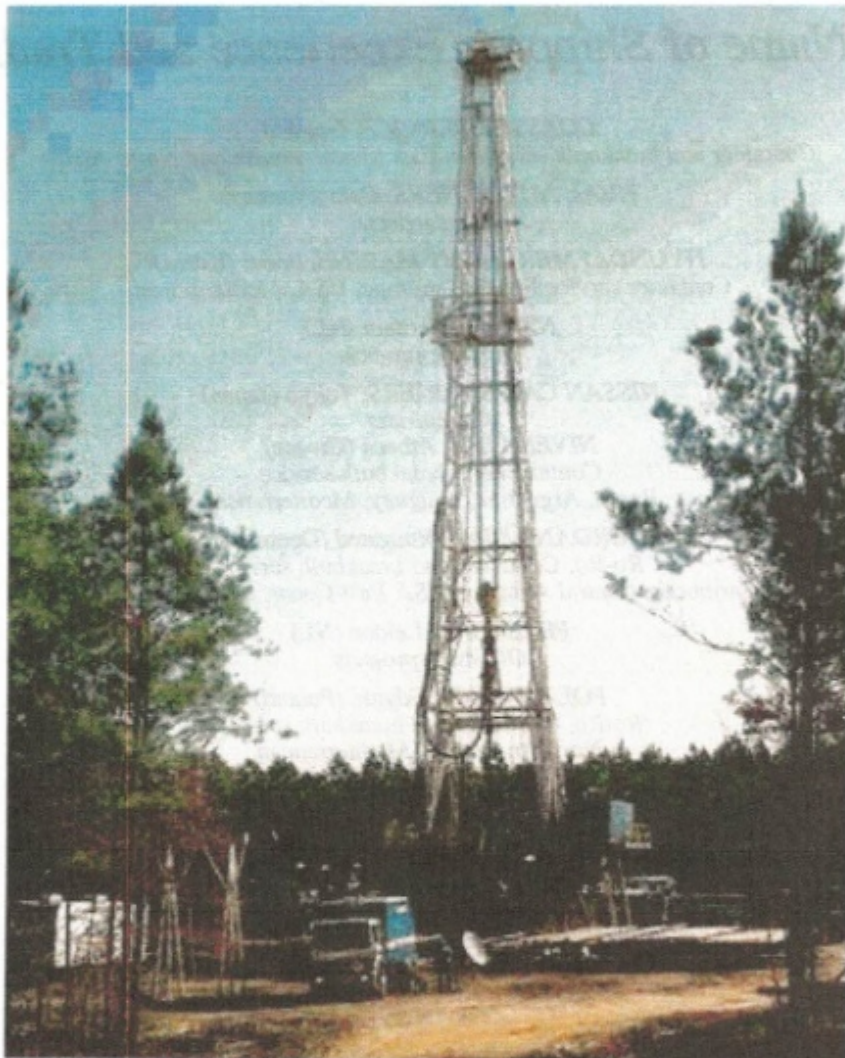
Email : neareast@superonline.com

(also offices at İZMİR, MERSİN, İSKENDERUN and subagents at all main Turkish Ports)

Schlumberger

Oilfield Services

ŞİRKETİMİZDE
DÜNYA GENİÜLLERİ İŞLEMEK
MASSİF İŞLETMEK İSTİYORUZ.



Since 1957, we are in Turkish Petroleum Industry.